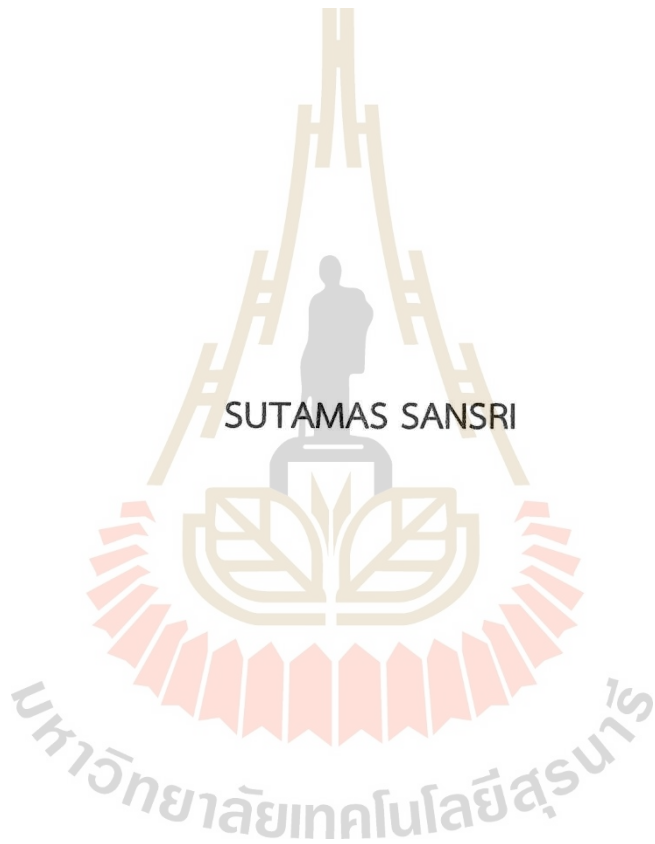


การเพิ่มคุณสมบัติทางกลและโครงสร้างจุลภาคของคอนกรีตด้วยถ้ากันเตากับ
น้ำยาห้องชุดสำหรับงานผิวนอกคอนกรีตอย่างยั่งยืน



วิทยานิพนธ์นี้เป็นส่วนหนึ่งของการศึกษาหลักสูตรปริญญาวิศวกรรมศาสตรมหาบัณฑิต
สาขาวิชาวิศวกรรมโยธาและการบริหารงานก่อสร้าง
มหาวิทยาลัยเทคโนโลยีสุรนารี
ปีการศึกษา 2567

ENHANCING THE MECHANICAL AND MICROSTRUCTURAL PROPERTIES
OF BOTTOM ASH CONCRETE WITH NATURAL RUBBER LATEX FOR
SUSTAINABLE RIGID PAVEMENTS



A Thesis Submitted in Partial Fulfillment of the Requirements for the
Degree of Master of Engineering in
Civil Engineering and Construction Management
Suranaree University of Technology
Academic Year 2024

การเพิ่มคุณสมบัติทางกลและโครงสร้างจุลภาคของคอนกรีตด้วยเล้ากันเตา^{กับน้ำยาางธรรมชาติสำหรับงานผิวนคอนกรีตอย่างยั่งยืน}

มหาวิทยาลัยเทคโนโลยีสุรนารี อนุมัติให้นับวิทยานิพนธ์ฉบับนี้เป็นส่วนหนึ่งของการศึกษา
ตามหลักสูตรปริญญามหาบัณฑิต

คณะกรรมการสอบวิทยานิพนธ์

(รองศาสตราจารย์ ดร. เชิดศักดิ์ สุขคริพัฒนพงศ์)
ประธานกรรมการ

(รองศาสตราจารย์ ดร. Menglim Hoy)
อาจารย์ที่ปรึกษา

(ดร. วิสิษฐ์ กุลอริยทรัพย์)
กรรมการ

(ดร. ชีรศักดิ์ เยาวราช)
กรรมการ

(รองศาสตราจารย์ ดร. ยุพาร พักสกุลพิวัฒน์)
รองอธิการบดีฝ่ายวิชาการและประกันคุณภาพ

(รศ.ดร. พรศิริ จงกล)
คณบดีสำนักวิศวกรรมศาสตร์

สุขามาศ แสนศรี : การเพิ่มคุณสมบัติทางกลและโครงสร้างจุลภาคของคอนกรีตด้วยถ้ากันเตา กับน้ำยาหงารมชาติสำหรับงานผิวนคอนกรีตอย่างยั่งยืน (ENHANCING THE MECHANICAL AND MICROSTRUCTURAL PROPERTIES OF BOTTOM ASH CONCRETE WITH NATURAL RUBBER LATEX FOR SUSTAINABLE RIGID PAVEMENTS.)

อาจารย์ที่ปรึกษา : รองศาสตราจารย์ ดร. Menglim Hoy, 59 หน้า

คำสำคัญ: เถ้ากันเตา, น้ำยาหงารมชาติ, พื้นผิวนคอนกรีตที่ยั่งยืน, การวิเคราะห์โครงสร้างจุลภาค, กำลังรับแรงอัด, กำลังรับแรงดึงดูด

ศึกษาการประยุกต์ใช้น้ำยาหงารมชาติ (NRL) มาปรับใช้และถ้ากันเตา (BA) มาทดแทนทรายแม่น้ำสำหรับงานผิวนคอนกรีต ส่วนผสมคอนกรีตที่มีการทดแทนด้วยทรายอัตราส่วน BA 10% และ 20% และอัตราส่วน NRL ที่ (0%, 1.0%, 1.5% และ 2.0% โดยน้ำหนักของซีเมนต์) โดยได้จัดเตรียมตัวอย่างวิเคราะห์คุณสมบัติเชิงกลและคุณลักษณะทางโครงสร้างจุลภาค ผลการวิจัยระบุว่า ในขณะที่อัตรา BA สูงขึ้น กำลังรับแรงอัดของคอนกรีตลดลง การแทนที่ NRL ในปริมาณที่เหมาะสมที่ 1.0% จะช่วยปรับปรุงทั้งกำลังรับแรงอัดและกำลังรับแรงดัดได้อย่างมีนัยสำคัญ ส่วนผสม 10%BA+1.0%NRL และ 20%BA+1.0%NRL แสดงคุณสมบัติทางกลที่ดีกว่าส่วนผสมอื่นและเป็นไปตามข้อกำหนดมาตรฐานกรมทางหลวง อย่างไรก็ตามปริมาณ NRL ที่มากเกินไป (1.5% และ 2.0%) ส่งผลให้ความแข็งแรงเชิงกลลดลง การวิเคราะห์ด้วยกล้องจุลทรรศน์อิเล็กตรอนแบบส่องกระดาษแสดงให้เห็นเมทริกซ์ที่มีความหนาแน่นมากขึ้นและมีขนาดกะทัดรัดมากขึ้นในคอนกรีต BA ที่มีส่วนผสมของ NRL โดยมีพิล์ม NRL ช่วยเพิ่มพันธะระหว่างผิวและกลไกการเชื่อมรอยร้าว อย่างไรก็ตาม อัตราส่วน NRL ที่มากเกินไปส่งผลให้เกิดการก่อตัวของพิล์ม NRL ที่ใหญ่ขึ้นและจำนวนมากขึ้น ซึ่งขัดขวางความต่อเนื่องของเมทริกซ์ซีเมนต์และสร้างโคนห้อ่อนแอง การวิเคราะห์การเลี้ยวเบนของรังสีเอกซ์การมีเฟสผลึกที่สำคัญและความสมดุลที่เหมาะสมที่สุดในส่วนผสม 20%BA+1.0%NRL ซึ่งมีส่วนทำให้ประสิทธิภาพที่ดีกว่ากว่า ที่มีอัตราของ NRL ที่มากเกินไปแสดงความเข้มที่ต่ำกว่าของพีคของคุณตัวแคลโลไซต์ และปอร์ตแลนด์ไดต์ ซึ่งบ่งชี้ถึงการรับกวนในการก่อตัวและการเจริญเติบโตที่เหมาะสมของเฟสผลึกที่จำเป็น การค้นพบนี้แสดงให้เห็นถึงศักยภาพของคอนกรีต BA ที่ดัดแปลงด้วย NRL ในฐานะวัสดุทางเลือกที่เป็นมิตรกับสิ่งแวดล้อมและมีประสิทธิภาพสูงสำหรับงานคอนกรีตสำหรับงานทางเมือง ใช้ปริมาณ NRL ที่เหมาะสม ซึ่งส่งเสริมการใช้วัสดุเหลือใช้และลดผลกระทบต่อสิ่งแวดล้อมของอุตสาหกรรมการก่อสร้าง

SUTAMAS SANSRI : (ENHANCING THE MECHANICAL AND MICROSTRUCTURAL PROPERTIES OF BOTTOM ASH CONCRETE WITH NATURAL RUBBER LATEX FOR SUSTAINABLE RIGID PAVEMENTS.) THESIS ADVISOR : MENGLIM HOY, Ph.D. 59 PP.

Keywords: Bottom Ash, Natural Rubber Latex, Sustainable Concrete Pavement, Microstructural Analysis, Compressive Strength, Flexural Strength.

This study investigates the potential of using natural rubber latex (NRL)-modified concrete incorporating bottom ash (BA) as a partial replacement for river sand in sustainable rigid pavements. Concrete mixes with 10% and 20% BA replacement and varying NRL dosages (0%, 1.0%, 1.5%, and 2.0% by weight of cement) were prepared and evaluated for their mechanical properties and microstructural characteristics. The results indicate that while BA replacement reduced the compressive strength of concrete, the incorporation of NRL at an optimal dosage of 1.0% significantly improved both the compressive and flexural strength. The 10%BA+1.0%NRL and 20%BA+1.0%NRL mixes exhibited mechanical properties surpassing the control mix and meeting the minimum requirements for rigid pavement materials. However, excessive NRL content (1.5% and 2.0%) led to a reduction in mechanical strength. Scanning electron microscopy analysis exhibited a denser and more compact matrix in NRL-modified BA concrete, with NRL films enhancing the interfacial bonding and crack-bridging mechanism. Nonetheless, excessive NRL content resulted in the formation of larger and more numerous NRL films, which disrupted the continuity of the cement matrix and created weak zones. X-ray diffraction analysis confirmed the presence of key crystalline phases and their optimal balance in the 20%BA+1.0%NRL mix, contributing to its superior performance. Mixes with excessive NRL content exhibited lower intensities of quartz, calcite, and portlandite peaks, indicating a disturbance in the proper formation and growth of essential crystalline phases. The findings demonstrate the potential of NRL-modified BA concrete as an eco-friendly and high-performance alternative for sustainable rigid pavements when using an optimal NRL dosage, promoting the utilization of waste materials and reducing the environmental footprint of the construction industry.

School of Civil Engineering and Construction Management Student's Signature

Academic Year 2024

Advisor's Signature

กิตติกรรมประกาศ

ผู้วิจัยขอกราบขอบพระคุณ และกลุ่มบุคคลต่อไปนี้ที่ได้ช่วยเหลือซึ่งแนะนำให้คำปรึกษา รวมทั้งให้การช่วยเหลือในการให้ความรู้ การแนะนำสิ่งที่ถูกต้องดังงานวิจัยนี้สามารถ trifit แลและลุล่วงไปได้ด้วยดีเสมอมา ก่อนอื่นผู้วิจัยต้องขอกราบขอบพระคุณบิดา มารดา ผู้ให้กำเนิดและอบรมสั่งสอนให้ความรู้ด้วยดีเสมอมา

ผู้วิจัยขอกราบขอบพระคุณ รองศาสตราจารย์ Dr.Menglim Hoy อาจารย์ที่ปรึกษา วิทยานิพนธ์ที่กรุณาให้โอกาสทางการศึกษา ถ่ายทอดวิชาความรู้ เป็นแบบอย่างในการดำเนินชีวิต และให้คำแนะนำปรึกษาเรื่องวิจัยข่าวแก่ปัญหา ตลอดจนให้กำลังใจแก่ผู้วิจัยมาโดยตลอด รวมทั้งช่วยตรวจทานแก้ไขวิทยานิพนธ์เล่มนี้จนเสร็จสมบูรณ์

ผู้วิจัยขอกราบขอบพระคุณ ศาสตราจารย์ ดร.สุขสันต์ หอพิบูลสุข รองศาสตราจารย์ ดร.วัชรภูมิ เบญจโภcar รองศาสตราจารย์ พญ.จิตราดี หอพิบูลสุข และ ดร.วิสิษฐ์ กุลอริยทรัพย์ ที่กรุณาถ่ายทอดความรู้ทั้งทางด้านวิชาการและประสบการณ์

ผู้วิจัยขอกราบขอบพระคุณ อาจารย์ ประธานกรรมการ ที่กรุณาให้แนวคิด ตลอดจนข้อเสนอแนะที่เป็นประโยชน์อย่างยิ่ง ที่กรุณาให้คำปรึกษาซึ่งแนะนำและช่วยเหลือจนกระทั่งการทำวิจัยครั้งนี้เสร็จสมบูรณ์

สุพามาศ แสนศรี

สารบัญ

หน้า

บทคัดย่อภาษาไทย.....	ก
บทคัดย่อภาษาอังกฤษ.....	ข
กิตติกรรมประกาศ.....	ค
สารบัญ.....	ง
สารบัญตาราง.....	ช
สารบัญรูป.....	ช
บทที่	
1. บทนำ.....	1
1.1 ความสำคัญของปัจจุบัน.....	1
1.2 วัตถุประสงค์.....	3
1.3 ขอบเขตการวิจัย.....	3
1.4 ประโยชน์ที่คาดว่าจะได้รับ.....	3
2. แนวคิด ทฤษฎี และงานวิจัยที่เกี่ยวข้อง.....	4
2.1 เถ้าก้อนเตา (Bottom Ash).....	4
2.2 น้ำยางพารา (Natural Rubber Latex).....	5
2.3 คอนกรีต (concrete).....	7
2.4 ปูนซีเมนต์ (Portland Cement).....	9
2.5 มวลรวมละเอียด (Fine Aggregate : ทราย).....	9
2.6 มวลรวมหยาบ (Coarse Aggregate : หินหรือกรวด).....	9
2.7 น้ำ (Water).....	11
2.8 สารผสมเพิ่ม (Admixtures).....	12
2.9 การออกแบบส่วนผสมคอนกรีต (Concrete Mix Design) ตามมาตรฐาน ACI.....	12
2.10 การบ่มคอนกรีต (Curing).....	17

สารบัญ (ต่อ)

หน้า

2.11 มาตรฐานการทดสอบความต้านแรงอัดของเท่งคอนกรีต (COMPRESSIVE STRENGTH OF CONCRETE)	18
2.12 มาตรฐานการทดสอบการรับแรงดัดของคอนกรีต (FLEXURAL STRENGTH OF CONCRETE)	19
2.13 วิเคราะห์องค์ประกอบทางเคมีและโครงสร้างจุลภาค (Chemical Composition & Microstructure Analysis)	22
2.14 งานวิจัยที่เกี่ยวข้อง	24
3. วัสดุและวิธีการดำเนินการ	27
3.1 วิธีการวิจัย (Research Methodology)	27
3.2 วิธีการดำเนินงานวิจัย นำ้วัสดุมาทดสอบคุณสมบัติมวลรวมด้านกายภาพ และวิศวกรรม	27
3.3 การออกแบบส่วนผสมคอนกรีต (Mix Design)	29
3.4 เตรียมวัสดุเพื่อทำการทดสอบตามอัตราส่วนที่ออกแบบ	29
3.5 การผสมส่วนผสม (Mixing of Concrete Mix Design)	31
3.6 ทำการหล่อเข้าแบบและทำการบ่มคอนกรีต การบ่มคอนกรีต (CONCRETE CURING)	31
3.7 นำคอนกรีตที่หล่อตามแบบมาตรฐานมาทำการทดสอบ (compressive strength & Flexural Strength)	32
3.8 นำตัวอย่างคอนกรีตมาทดสอบวิเคราะห์โครงสร้างจุลภาค (Microstructural Analysis)	33
4. ผลการวิจัย	34
4.1 วัสดุที่ใช้ในงานวิจัย	35
4.2 การทดสอบสมบัติพื้นฐานของวัสดุที่ใช้ในงานวิจัย	36
4.3 ผลทดสอบความต้านแรงอัดของเท่งคอนกรีต (Compressive Strength of Concrete)	37
4.4 การวิเคราะห์โครงสร้างจุลภาค (Microstructural Analysis)	40

สารบัญ (ต่อ)

หน้า

4.5 การวิเคราะห์แร่พิทยา (Mineralogical Analysis).....	44
5. สรุปผลการวิจัยและข้อเสนอแนะ.....	50
5.1 บทสรุป (Conclusion).....	50
5.2 ข้อเสนอแนะ.....	51
รายการอ้างอิง.....	52
ภาคผนวก	
ภาคผนวก ก.....	58
ประวัติผู้เขียน.....	59

มหาวิทยาลัยเทคโนโลยีสุรนารี

สารบัญตาราง

ตารางที่

หน้า

2-1 พบร่วมกันตามมีองค์ประกอบหลักคือ SiO_2 , CaO , Fe_2O_3 และ Al_2O_3	5
2-2 ขนาดใหญ่สุดที่ยอมให้ของมวลรวมหมายบสำหรับโครงสร้างแต่ละชนิด ของโครงสร้าง ขนาดใหญ่สุดที่ยอมให้ (มิลลิเมตร).....	10
2-3 ค่าคงที่.....	13
2-4 ค่าเปลี่ยนแปลงมาตรฐานจำเป็น.....	13
2-5 ส่วนเพื่อเมื่อไม่มีผลทดสอบกำลังอัดแห่งตัวอย่าง.....	13
2-6 ค่าอุบตัวของคอนกรีตที่ใช้สำหรับการก่อสร้างประเภทต่างๆ.....	15
2-7 ปริมาณน้ำที่ต้องการสำหรับค่าอุบตัวและวัสดุผสมขนาดต่างๆ.....	15
2-8 ความสัมพันธ์ระหว่างอัตราส่วนน้ำต่อชีเมนต์กับกำลังอัดประดิษฐ์ของคอนกรีต.....	16
2-9 อัตราส่วนน้ำต่อชีเมนต์สูงสุดโดยน้ำหนักที่ยอมให้ใช้ได้สำหรับคอนกรีตในสภาพเปิดเผยรุนแรง.....	16
2-10 ปริมาตรของมวลรวมหมายบต่อหนึ่งหน่วยปริมาตรของคอนกรีต.....	16
2-11 หน่วยน้ำหนักของคอนกรีตสดโดยประมาณ.....	17
2-12 อัตราส่วนความสูงต่อเส้นผ่านศูนย์กลางกับตัวคุณที่ใช้แก้ไขค่าความต้านแรงอัด.....	19
3-1 การออกแบบส่วนผสมคอนกรีต $f_c' = 300 \text{ ksc}$. $\text{slump} = 5 \text{ cm}$	29
4-1 Chemical composition of OPC and BA.....	34
4-2 Physical and engineering properties of coarse and fine aggregate.....	36

สารบัญรูป

รูปที่

หน้า

1-1 a), b) งานก่อสร้างที่ใช้คอนกรีต (ผิวถนนคอนกรีต) ของกรมทางหลวง (DOH).....	2
2-1 การกระจายขนาดของถ้ากันเตา (Bottom ash).....	4
2-2 a) ถ้ากันเตา BA กำลังขยาย 500 μm และ b) BB กำลังขยาย 500 μm	5
2-3 ยางพารามีโครงสร้างทางเคมีแบบ ชีส-1, 4-พอลีไอโซพรีน.....	6
2-4 การทดสอบส่วนผสมคอนกรีต.....	8
2-5 แสดงอิทธิพลของการบ่มต่อกำลังอัดของคอนกรีต.....	18
2-6 วิธีใช้แรงกด หนึ่งจุดที่จุดกึ่งกลางคาน (CENTER-POINT LOADING).....	20
2-7 วิธีใช้แรงกดคาน 2 จุด โดยให้ตัวแทนของจุดหักสอง เป็นตัวแทนที่แบ่งคานออกเป็น 3 ส่วน เท่า ๆ กัน (THIRD-POINT LOADING).....	20
2-8 ตัวอย่างเครื่องมือทดสอบ SEM.....	23
3-1 a) การหาขนาดคละ bottom ash และ b) ,c) วัสดุมวลรวม ในเครื่อง Sieve Shake.....	28
3-2 a) และ b) เตรียมแบบหล่อคอนกรีตตามมาตรฐาน.....	28
3-3 a), b) ,c) ,d) ,e) ,c) และ f) จัดเตรียมอุปกรณ์และวัสดุตามอัตราส่วนผสมที่ออกแบบ.....	30
3-4 a) การทดสอบส่วนผสมคอนกรีต และ b) การควบคุมการยุบตัว slump test เท่ากับ 5.....	31
3-5 a) , b) ทิ้งคอนกรีต 24 ชั่วโมง ทำการแกะแบบคอนกรีตและ c) , d) บ่มคอนกรีต (CONCRETE CURING) จำนวน 7, 28 และ 60 วัน.....	31
3-6 a) และ b) การทดสอบกำลังอัดของคอนกรีต (compressive strength).....	32
3-7 a) และ b) การทดสอบการรับแรงดัดของคอนกรีต (Flexural Strength).....	32
3-8 a) รูปการศึกษาโครงสร้างผลึกและ b) ขั้นตัวอย่างโดยใช้ Scanning Electron Microscope กำลังขยาย $\times 500$ และ กำลังขยาย $\times 2,000$	33
3-9 a) รูปการศึกษาการวิเคราะห์รากและ b) ขั้นตอนการตัวอย่างโดยการใช้ X-Ray Diffractometer (XRD).....	33
4-1 XRD pattern of BA.....	34
4-2 Gradation of studied aggregates.....	35

สารบัญรูป (ต่อ)

รูปที่	หน้า
4-3 Compressive strength results of studied concrete samples with various BA and NRL contents cured at 7, 28, and 60 days.....	37
4-4 Flexural strength results of studied concrete samples with various BA and NRL contents cured at 7, 28, and 60 days.....	39
4-5 SEM image of a control sample.....	41
4-6 SEM images: a) 10%BA+0.0%NRL, b) 10%BA+1.0%NRL, c) 10%BA+2.0%NRL, d) 20%BA+0.0%NRL, e) 20%BA+1.0%NRL, f) 20%BA+2.0%NRL.....	42
4-7 XRD pattern of a control sample.....	45
4-8 XRD pattern of a) 10%BA+1.0%NRL sample, b) 10%BA+2.0%NRL sample.....	46
4-9 XRD pattern of a) 20%BA+1.0%NRL sample, b) 20%BA+2.0%NRL sample.....	48

บทที่ 1 บทนำ

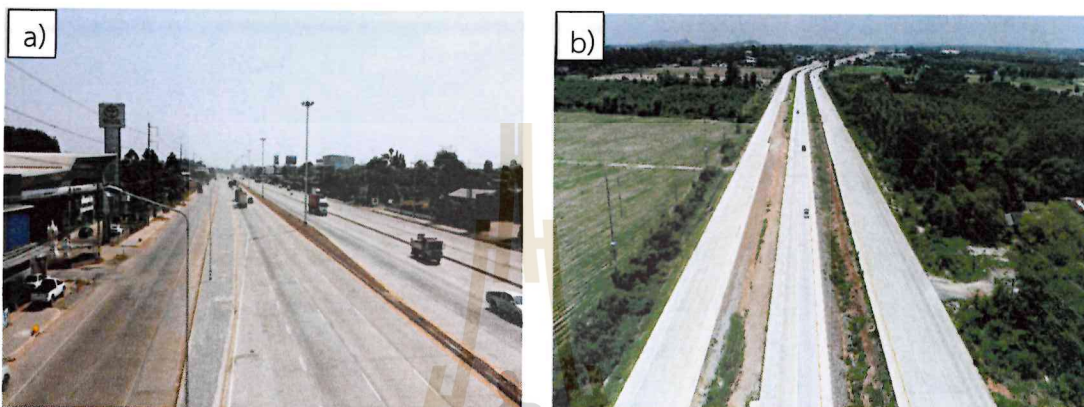
1.1 ความสำคัญและที่มาของปัญหา

ถ้าถ่านหิน เป็นของเสียที่เกิดจากการเผาถ่านหินเพื่อให้ใช้เป็นพลังงานในการผลิตกระแสไฟฟ้า ปัจจุบันโรงไฟฟ้าพลังงานความร้อนแม่محงใช้ถ่านหินลิกต์เป็นเชื้อเพลิงประมาณวันละ 40,000 ตัน ซึ่งก่อให้เกิดถ้าถ่านหินประมาณวันละ 10,000 ตัน ในจำนวนนี้ประกอบไปด้วย เถ้าโลย (Fly Ash) คิดเป็นร้อยละ 80 ในปัจจุบันมีมูลค่าทางเศรษฐกิจเนื่องจากถูกใช้เป็นส่วนผสมในคอนกรีตอย่างแพร่หลาย นอกจากนี้ยังมีถ้ากันเตา (Bottom Ash) คิดเป็นร้อยละ 20 ซึ่งปัจจุบันการใช้ประโยชน์จากถ้าชนิดนี้มีปริมาณน้อยทำให้มีการกองทิ้งถ้ากันเตา ก่อให้เกิดมลพิษต่อสิ่งแวดล้อมซึ่งหากสามารถพัฒนาประโยชน์จากถ้ากันเตา นอกจากจะลดผลกระทบดังกล่าวยังเป็นการเพิ่มมูลค่าทางพาณิชย์อีกด้วย

ยางพารา (NRL) ประกอบกับในปัจจุบันเกิดปัญหาวิกฤตราคายางพาราตกต่ำ โดยมีราคากลางที่ 3 กิโลกรัมต่อ 100 บาท ทั้งที่ช่วงปี 2554 ราคากลางอยู่ที่ 125 บาทต่อ กิโลกรัม (ตารางราคายางแห่งประเทศไทย 2554) ทำให้เกษตรกรขาดทุนอย่างมาก ไม่เพียงแต่ภาคใต้ที่มีพื้นที่การปลูกยางพาราเป็นหลัก แม้แต่เกษตรกรภาคตะวันออกเฉียงเหนือหลายจังหวัดในในภูมิภาคอื่นๆ ยังได้รับการส่งเสริมการปลูกยางพาราอย่างจริงจัง เพราะราคากลางที่กว่าพืชผลการเกษตรที่เคยปลูกอยู่ดังเดิม ในหลายปีที่ผ่านมาปริมาณน้ำยางที่ออกสู่ตลาดจึงมีปริมาณมากส่งผลให้เกิดภาวะราคายางเริ่มลดต่ำลง อันเป็นผลสืบเนื่องจากปริมาณยางพาราที่เกิดความต้องการของตลาดดังนั้นการปรับเปลี่ยนมูลค่าให้กับยางพาราจึงเป็นอีกแนวทางหนึ่งของการเพิ่มรายได้อย่างยั่งยืนให้เกษตรกร

คอนกรีต คือ วัสดุก่อสร้างชนิดหนึ่งที่ใช้กันอย่างแพร่หลาย ใช้ในการก่อสร้าง อาคาร และสาธารณูปโภค ตั้งแต่อดีตจนปัจจุบัน เพราะเป็นวัสดุที่มีความเหมาะสมทั้งด้านราคา และคุณสมบัติต่างๆ คอนกรีตประกอบด้วยส่วนผสม 2 ส่วน คือ วัสดุประสาน อันได้แก่ ปูนซีเมนต์กับน้ำ และน้ำยาผสมคอนกรีต ผสมกับวัสดุผสมอันได้แก่ ทราย หิน หรือ กระดิ่ง ซึ่งน้ำและซีเมนต์จะทำปฏิกิริยาทางเคมีกันในลักษณะที่เรียกว่าการไฮดรัลต์ เมื่อนำมาผสมกันจะคงสภาพเหลวอยู่ช่วงเวลาหนึ่ง พอที่จะนำไปเทลงในแบบหล่อ ที่มีรูปร่างตามต้องการ หลังจากนั้นจะแปรสภาพเป็นของแข็ง มีความแข็งแรงและสามารถรับน้ำหนักได้มากขึ้นตามอายุของคอนกรีตที่เพิ่มขึ้น โดยประมาณหลังจาก

แข็งตัวแล้ว 28 วัน ความแข็งแรงจะเริ่มคงที่ค่อนกรีตมีใช้กันในงานก่อสร้างหลายชนิด ซึ่งรวมถึงอาคาร ถนน เชื่อม สะพาน อนุสาวรีย์ และงานก่อสร้างต่างๆ ซึ่งมีเห็นได้ทั่วไป งานค่อนกรีตในงานก่อสร้างทางในประเทศไทยโครงการของหน่วยงานรัฐ เช่น กรมทางหลวง กรมทางหลวงชนบทเป็นต้น ซึ่งงบประมาณของปี 2566 กรมทางหลวง (ทล.) ได้รับมากที่สุดของกระทรวงคมนาคม จำนวน 113,464.41 ล้านบาท รองลงมาคือกรมทางหลวงชนบท ได้รับจำนวน 45,583.25 ล้านบาท



รูปที่ 1-1 a),b) งานก่อสร้างที่ใช้ค่อนกรีต (ผิวนนค่อนกรีต) ของกรมทางหลวง (DOH)

จากที่มาและปัญหาที่กล่าวข้างต้นนักวิจัยจึงสนใจและพยายามนำวัสดุที่เป็นภาคของเสียงและวัสดุผลพลอยได้จากการกระบวนการต่างๆ มาประยุกต์ในงานวิศวกรรมโยธา หรือแม้แต่รัฐบาลเอง ก็พยายามส่งเสริมการเพิ่มมูลค่าของน้ำยาพารา จึงเป็นแรงจูงใจให้ผู้วิจัยสนใจที่จะศึกษาศักยภาพของ การนำถ่านหินมาผสมกับยางพาราเพื่อใช้เป็นวัสดุคัดเลือกสำหรับงานทาง โดยการศึกษารังนี้เป็น การศึกษาคุณสมบัติต่างๆ ซึ่งเป็นบริหารการจัดการและใช้ประโยชน์ทัพยาการธรรมชาติอย่างคุ้มค่า อีกทั้งเป็นการพัฒนาวัสดุด้านวิศวกรรมช่วยลดปัญหาการเก็บกองการจัดเก็บ และผลกระทบต้านสิ่งแวดล้อม รวมถึงอาจเป็นวัสดุทดแทนได้ด้วย เพื่อเป็นการส่งเสริมทางเลือกให้กับเกษตรชาวสวนยาง และยังสามารถนำผลวิจัยไปใช้เป็นประโยชน์ในอุตสาหกรรมก่อสร้างต่อไป

1.2 วัตถุประสงค์

การวิจัยเรื่อง การเพิ่มคุณสมบัติทางกลและโครงสร้างจุลภาคของคอนกรีตด้วยถ่านเตา กับน้ำยางธรรมชาติสำหรับผิวถนนคอนกรีตอย่างยั่งยืน

ได้กำหนดวัตถุประสงค์ขึ้น ดังนี้

1.2.1 ปรับปรุงน้ำยางธรรมชาติและถ่านเตา มาทดแทนทรายสำหรับงานผิวทางถนน คอนกรีต

1.2.2 ศึกษาสมบัติเชิงกลกำลังอัดของคอนกรีตและการรับแรงดึงของคอนกรีตตาม มาตรฐานงานก่อสร้างผิวทางและวิเคราะห์องค์ประกอบทางเคมีและโครงสร้างจุลภาค

1.2.3 เพื่อศึกษาอัตราส่วนที่เหมาะสมของปริมาณส่วนผสมคอนกรีตในการแทนที่ของถ่านเตา และยางพารา

1.3 ขอบเขตการวิจัย

1.3.1 วัสดุในงานวิจัยครั้งนี้ ได้แก่ เถ้ากันเตา (Bottom Ash) ซึ่งนำมาจากโรงไฟฟ้าแม่เมะ อำเภอแม่เมะ จังหวัดลำปาง และน้ำยางพารา (Natural rubber latex) ทราย (Coarse Sand) ปูนซีเมนต์ปอร์ตแลนท์ประเภทที่ 1 (Portland Cement Type I) และหิน มวลรวมหยาบจาก ธรรมชาติ (Crushed stone: NCA)

1.3.2 การศึกษาคุณสมบัติที่ทดสอบ ได้แก่ การวิเคราะห์ขนาดของถ่านเตา วิเคราะห์หา การปรับปรุงส่วนผสมที่เหมาะสมเมื่อออกแบบส่วนผสมคอนกรีตเท่ากับ 300 KSC และควบคุมการ ยุบตัวของคอนกรีตอยู่ระหว่าง 5 กำลังของคอนกรีตตามมาตรฐานกรมทางหลวง การนำเข้าคอนกรีต ทดสอบเพื่อศึกษาสัณฐานและรายละเอียดของผิวคอนกรีต เครื่องมือที่ใช้วิเคราะห์ Scanning Electron Microscope (SEM) และการวิเคราะห์สารประกอบของธาตุในคอนกรีต X-ray diffractometer (XRD)

1.4 ประโยชน์ที่คาดว่าจะได้รับ

งานวิจัยนี้จะเป็นการพัฒนาเทคโนโลยีเพื่อการนำถ่านเตามาใช้ประโยชน์ และทราบถึง รายละเอียดเชิงลึกของวัสดุเหลือทิ้งที่นำมาผลิตคอนกรีต นอกจากนั้นประโยชน์ที่ได้รับจากการวิจัย มีดังนี้

1.4.1 ทราบคุณสมบัติพื้นฐานของถ่านเตา ยางพารา และวัสดุส่วนผสมทดสอบคุณสมบัติ มวลรวมด้านกายภาพและวิศวกรรมของคอนกรีต

1.4.2 ทราบคุณสมบัติด้านกำลังรับแรงอัดและกำลังรับแรงดึงดักของคอนกรีตเมื่อนำถ่าน กันเตาและยางพารามาเป็นส่วนผสม

1.4.3 ทราบอัตราส่วนที่เหมาะสมของถ่านเตาและยางพาราในคอนกรีตเพื่อใช้เป็นวัสดุ ทางเลือกในงานก่อสร้างผิวทางคอนกรีต

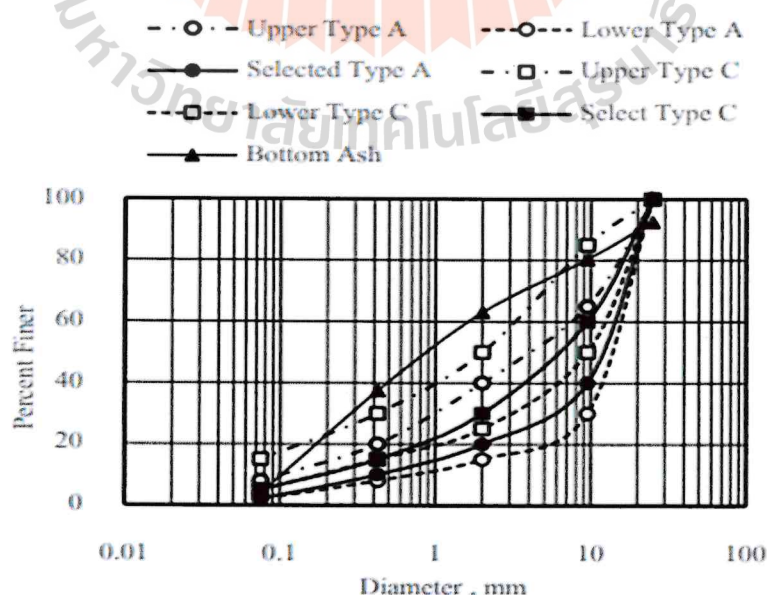
1.4.4 เพื่อนำถ่านเตาที่เป็นของเสียในอุตสาหกรรมการผลิตไฟฟ้าสถานที่ไปใช้ประโยชน์

บทที่ 2

แนวคิด ทฤษฎี และงานวิจัยที่เกี่ยวข้อง

2.1 เถ้ากันเตา (Bottom Ash)

เป็นวัสดุผลผลอยได้จำนวนมากที่เหลือจากกระบวนการผลิตกระแสไฟฟ้าโดยใช้ถ่านหินส่วนใหญ่จะถูกนำไปทิ้งโดยการฝังกลบ ทำให้เกิดค่าใช้จ่ายและไม่ได้ใช้วัสดุให้เกิดประโยชน์เนื่องจากถ้าถูกนำไปทิ้งโดยการฝังกลบ มีความพรุนสูง ค่อนข้างชื้นและทำปฏิกิริยาซ้ำเมื่อเปรียบเทียบกับถ่านหิน ที่ผ่านมาได้มี การศึกษาที่จะนำถ้ากันเตามาใช้ในอุตสาหกรรมคอนกรีต แต่เนื่องจากถ้ากันเตามีเม็ดหมายต้องมีการบดให้ละเอียดมากพอดังจะเกิดปฏิกิริยาปอซโซลานิกและต้องทำให้แห้งซึ่งเป็นการเพิ่มต้นทุนในการใช้งาน นอกจากนี้ยังมีการศึกษาในการใช้ถ้ากันเตาแทนที่มวลรวมละเอียดใน คอนกรีตแต่ก็ยังใช้แทนที่ได้น้อย จึงทำให้ไม่มีการใช้อย่างแพร่หลายนัก ถ้ากันเตาจากโรงไฟฟ้าแม่مهะไม่มีความเป็นพลาสติก เนื่องจากถ้ากันเตามีความพรุนสูงและไม่มีความเหนียว มีค่าความถ่วงจำเพาะเท่ากับ 2.7 เมื่อนำไปทดสอบการกระจายของขนาดคละ พบร่ว่าถ้ากันเตามีขนาดในช่วงที่ เป็นทรายเป็นส่วนใหญ่ ดังแสดงในรูปที่ 2-1 จึงเลือกใช้ถ้ากันเตาที่ผ่านตะแกรงขนาด 1 นิ้ว เนื่องจากต้องการใช้ถ้า กันเตาในสภาพธรรมชาติเพื่อลดค่าใช้จ่ายในการเตรียมถ้ากันเตาหากมีความเป็นไปได้ในการนำไปใช้งานจริง เมื่อจำแนกตามระบบ USCS พบร่ว่าถ้ากันเตาเป็นประเภท SP (Poorly Graded Sand)

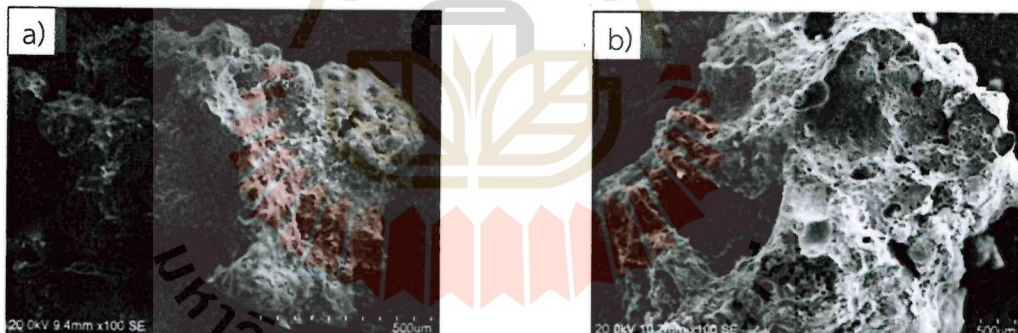


รูปที่ 2-1 การกระจายขนาดของถ้ากันเตา (Bottom ash)

ผลการวิเคราะห์องค์ประกอบทางเคมีของถ้ากันเตาโดยวิธี X-Ray Fluorescence Spectrometer (XRF) แสดงในตารางที่ 2-1 พบว่าถ้ากันเตามีองค์ประกอบหลักคือ SiO_2 , CaO , Fe_2O_3 , Al_2O_3 และ ซึ่งใกล้เคียงกับถ้ากันเตาอย่างของ โรงไฟฟ้าแม่มาะแต่มีความไวในการทำปฏิกิริยา น้อยกว่า เนื่องจากถ้ากันเตามีขนาดใหญ่และมีความพรุนสูง

สารประกอบ ออกไซด์	ปริมาณ (ร้อยละ)	
	ถ้ากันเตา	ดินลูกรัง
SiO_2	59.50	79.00
CaO	2.92	0.39
Fe_2O_3	6.07	6.29
Al_2O_3	25.70	10.90
MgO	0.80	0.45
K_2O	1.56	1.41

ตารางที่ 2-1 พบว่าถ้ากันเตามีองค์ประกอบหลักคือ SiO_2 , CaO , Fe_2O_3 และ Al_2O_3



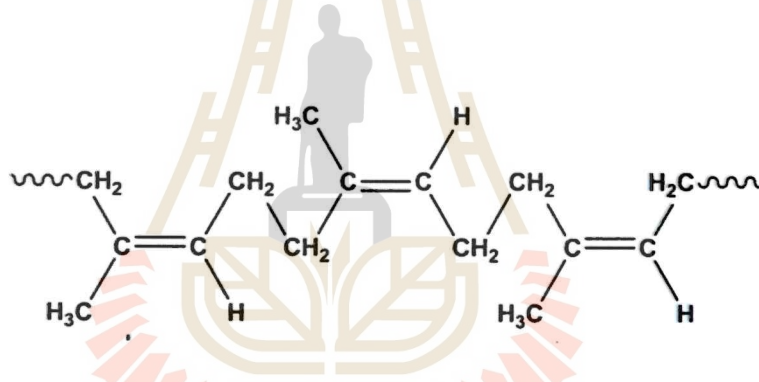
ถ้ากันเตา BA กำลังขยาย 500 μm และ ถ้ากันเตา BB กำลังขยาย 500 μm

รูปที่ 2-2 a) ถ้ากันเตา BA กำลังขยาย 500 μm และ b) BB กำลังขยาย 500 μm

2.2 น้ำยางพารา (Natural Rubber Latex)

ยางพาราหรือยางธรรมชาติ (Natural Rubber Latex) เป็นพืชเศรษฐกิจที่สำคัญของประเทศไทย การส่งออกยางธรรมชาติส่วนมากอยู่ในรูปของผลิตภัณฑ์ที่ยังไม่ผ่านการแปรรูป เช่น น้ำยางข้น ยางแผ่นร่มควัน หรือยางหั้ง โดยประเทศไทยเป็นผู้ผลิตและส่งออกน้ำยางข้นรายใหญ่ของโลก ในปี พ.ศ.2558 น้ำยางข้นมีปริมาณการผลิต 964,403 ตัน และกว่าร้อยละ 85 ส่งออกยังต่างประเทศ มีมูลค่า 39,546 ล้านบาท น้ำยาง ข้นส่วนที่เหลือจากการส่งออกจะใช้ในอุตสาหกรรมภายในประเทศ

เพื่อผลิตถุงมือยาง ยางฟองน้ำถุงยางอนามัย จุกนมยาง ยางยีด ลูกโป่ง และผลิตภัณฑ์ทางการแพทย์ น้ำยาห้องน้ำจากต้นยางพาราเป็นของเหลวที่มีองค์ประกอบของแข็ง (Total Solid Content; TSC) ประมาณร้อยละ 36 และมีน้ำเป็นส่วนประกอบประมาณร้อยละ 60 โดยคิดเป็น น้ำหนักยางแห้ง (Dry Rubber Content; DRC) ร้อยละ 33 สารจำพวกโปรตีนร้อยละ 1-1.5 ซึ่งไม่เกินร้อยละ 1 น้ำตาลร้อยละ 1 และมีสารประกอบอื่น ๆ เช่น กรดอะมิโน ลิพิดฟอสโฟลิฟิด และ เกลือของกรดไขมัน อยู่ประมาณร้อยละ 0.5-1.60 ขนาดอนุภาคของยาง ธรรมชาติอยู่ในช่วง 0.1-1.0 ไมครอน มีลักษณะค่อนข้างกลม โดยมีโปรตีนและแมมเบรนล้อมรอบอยู่ ที่บริเวณผิวน้ำของอนุภาคยางธรรมชาติเป็นโพลิเมอร์ทางธรรมชาติที่ประกอบด้วย อะตอมของคาร์บอนและไฮโดรเจน มีโครงสร้างทางเคมีคือ ซิส-1, 4-พอลิไอโซพรีน (cis-1, 4-polyisoprene) ดังรูปที่ 2-3 ซึ่งเป็นโครงสร้างที่ไม่อิมตัวสูง โดยประกอบด้วยพันธะคู่ของคาร์บอน ($C=C$) เป็นจำนวนมาก จึงทำให้ยางธรรมชาติเสื่อมสภาพได้โดยง่ายเมื่อถูกแสงแดดหรือความร้อน โดยสังเกตได้จากการจะแปรสภาพจากเดิมที่สามารถยืดหยุ่นได้ดีกล้ายเป็นแข็ง perse และไม่สามารถใช้งานได้อีกไป



รูปที่ 2-3 ยางพารามีโครงสร้างทางเคมีแบบ ซิส-1, 4-พอลิไอโซพรีน

ยางละลายได้ดีในตัวทำละลายที่ไม่มีข้าว เช่น บนขี้น เอกเซน โดยทั่วไปยางธรรมชาติมี โครงสร้างการจัดเรียงตัวของโมเลกุลแบบสัมฐาน (Amorphous) แต่ในบางสภาวะโมเลกุลของยาง สามารถจัดเรียงตัวค่อนข้างเป็นระเบียบที่อุณหภูมิต่ำหรือเมื่อถูกยีด จึงสามารถเกิดผลึก (Crystallize) ได้ การเกิดผลึกเนื่องจากอุณหภูมิจะทำให้ยางแข็งมากขึ้น แต่ถ้าอุณหภูมิสูงขึ้น ยางก็จะอ่อนลง และกลับสู่สภาพเดิม ยางพารามีสมบัติที่ได้เด่นแตกต่างจากยางสังเคราะห์ที่ผลิตได้จากอุตสาหกรรมปิโตรเคมี เป็นผลมาจากการโครงสร้างที่เกิดจากการเชื่อมโยงตามธรรมชาติของหมุนฟังก์ชันที่ปลายสายโซ่โมเลกุล โดยสมบัติที่โดดเด่น เช่น สมบัติด้านความยืดหยุ่น (Elasticity) ความทนทานต่อการขัดสี การกระดอน ทนทานต่อการฉีกขาด การเหนียวติดกัน (Track) ดีเยี่ยม แต่ทั้งนี้ยางพาราก็มีสมบัติบางประการที่ด้อยกว่ายางสังเคราะห์ เช่น การเสื่อมสภาพได้ง่ายเมื่อถูกแสงแดดและความร้อน การบวมตัวเมื่อสัมผัสกับตัวทำละลายอินทรีย์ นอกจากนี้ยางพารายังมีสมบัติไฮdrophobicity (Hydrophobicity) ซึ่งทำให้โครงสร้างของยางธรรมชาติไม่สามารถแตกตัวให้ไอออน หรือเป็นโมเลกุลที่ไม่มีข้าว ซึ่งไม่

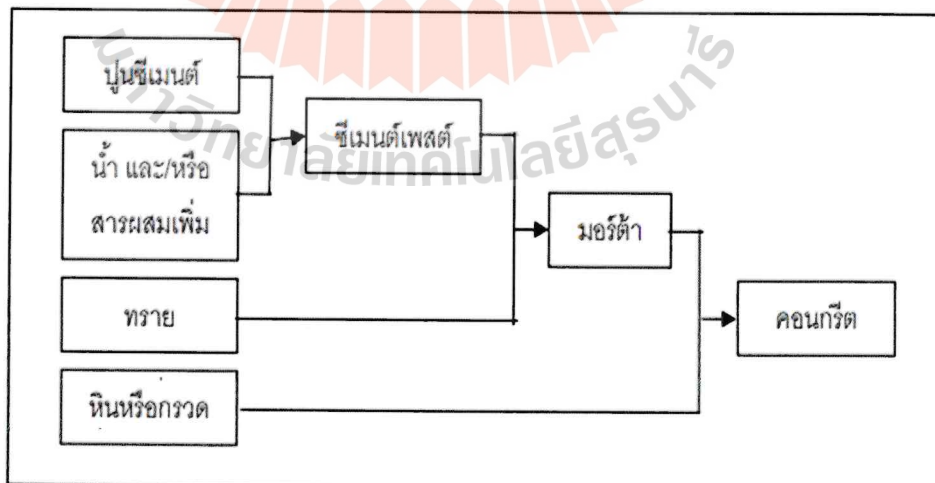
สามารถยึดติดกับโมเลกุลของน้ำหรือไม่เป็นกรดและไม่สามารถขยายขนาดหรือบวมเมื่อสัมผัสน้ำจากสมบัติดังกล่าวอย่างพราเจ้มี ความสามารถในการดูดน้ำได้น้อยมาก โดยทั่วไปน้ำยาจะสอดท่อลงมาจากต้นยางจะคงสภาพความเป็นน้ำยาได้ไม่เกิน 3-6 ชั่วโมง เนื่องจากแบคทีเรียในอากาศและจากเปลือกของต้นยางจะลงไประบในน้ำยา และกินสารอาหารที่อยู่ในน้ำยา เช่น โปรตีน น้ำตาล เป็นต้น ทำให้แบคทีเรียเจริญเติบโตอย่างรวดเร็ว แต่สิ่งที่เกิดขึ้นจากการย่อยของแบคทีเรียคือ ก้าชชนิดต่างๆ เช่น ก้าชคาร์บอนไดออกไซด์ ก้าชมีเทน และกรดไขมันระเหยได้ (Volatile Fatty Acid) เมื่อปริมาณกรดที่ระเหยง่ายในน้ำยาเพิ่มมากขึ้น น้ำยาจะเกิดการสูญเสีย สภาพสังเกตได้จากการที่น้ำยาจะค่อยๆ มีความหนืดมากขึ้น เพราะอนุภาคยางเริ่มจับตัวเป็นเม็ดเล็ก และค่อยขยายเป็นก้อนใหญ่ขึ้น จนน้ำยาสูญเสียสภาพ เกิดการบุบเน่าและมีกลิ่นเหม็น ซึ่งอัตราการเกิดกระบวนการทั้งหมดจะเร็วหรือช้าขึ้นอยู่กับปัจจัยหลายอย่างไม่ว่าจะเป็นเรื่องอุณหภูมิ สภาพแวดล้อม ความคงตัวของน้ำยา พันธุ์ยาง เพื่อป้องกันการสูญเสียสภาพของน้ำยาสอด จึงต้องเติมสารเคมีบางชนิดลงไปเพื่อกีบรักษาน้ำยาให้คงสภาพเป็นของเหลว ซึ่งสารเคมีที่ใช้ในการกีบ รักษาน้ำยาเรียกว่า สารรักษาสภาพน้ำยา (Preservative) เช่น แอมโมเนีย (Ammonia) โซเดียม ซัลไฟด์ (Sodium sulfite) ฟอร์มาลดีไฮด์ (Formaldehyde) เป็นต้น น้ำยาขึ้นคือ น้ำยาสอดที่ทำให้เข้มข้นโดยการหมุนเวียนหรือการแยกครีม เพื่อแยกส่วนที่เป็นเนื้อยางออกจากเชรุ่ม และเพิ่มปริมาณเนื้อยางแห้งจาก 30% เป็น 60% สำหรับวิธีการหมุน เวียน ซึ่งเป็นวิธีที่นิยมใช้กันเป็นส่วนใหญ่ในประเทศไทย และเพิ่มปริมาณเนื้อยางแห้งจาก 30% เป็น 64% สำหรับวิธีการแยกครีม เนื่องจากน้ำยาสอดมีปริมาณน้ำมากเกินไปไม่เหมาะสมที่จะนำไปผลิตเป็นผลิตภัณฑ์ และสิ่งเปลืองค่าใช้จ่ายในการขันส่ง กระบวนการผลิตน้ำยาขัน เริ่มจากการรวบรวมน้ำยาสอด จากพื้นที่เพาะปลูก และมีการตรวจสอบคุณภาพและผสมสารเคมี ก่อนที่จะนำเข้าเครื่องเวียน (Certrifuge) เพื่อทำเป็นน้ำยาขันที่มีความเข้มข้นได้ตั้งแต่ 30%-60% ในปัจจุบันการรักษาสภาพของน้ำยาขันส่วนใหญ่ใช้สารแอมโมเนีย ซึ่งจำแนกกลุ่มของน้ำยาขันออกเป็น 2 กลุ่มตามลักษณะของสารเคมีที่ใช้ในการรักษาสภาพ คือ 1) น้ำยาขันที่รักษาสภาพด้วยแอมโมเนียสูง (High Ammonia Latex; HA) คือ น้ำยาขันที่รักษาสภาพด้วยแอมโมเนียสูง (Low Ammonia Latex; LA) เป็นน้ำยาขันที่รักษาสภาพด้วยแอมโมเนียร่วมกับสารรักษาสภาพปริมาณ 0.2 % ร่วมกับสารเคมีชนิดอื่น น้ำยาขันที่ได้รับการผสมสารเคมีแล้วอาจเกิดปฏิกิริยาทางเคมีบางประการทำให้น้ำยาขันมีคุณสมบัติเปลี่ยนไปบ้างเล็กน้อย

2.3 คอนกรีต (concrete)

เป็นวัสดุผสมที่นิยมใช้ในงานก่อสร้างประกอบด้วย 3 ส่วนหลักคือ บุนซีเมนต์ วัสดุผสม (เช่น หิน ทราย หรือ กระดาน) และน้ำ โดยอาจจะมีสารเคมีเติมเพิ่มเข้าไปสำหรับคุณสมบัติด้านอื่น เมื่อผสมเสร็จคอนกรีตจะแข็งตัวอย่างช้า ๆ ซึ่งน้ำและซีเมนต์จะทำปฏิกิริยาทางเคมีกันในลักษณะที่

เรียกว่าการไฮเดรชัน โดยซีเมนต์จะเริ่มจับตัวกับวัสดุอื่นและแข็งตัว ซึ่งในสถานะนี้จะนิยมเรียกว่า คอนกรีตความแข็งแรงของคอนกรีตจะเพิ่มขึ้นเรื่อยๆ หลังจากที่ผสมและยังแข็งแรงขึ้นภายหลังจากการแข็งตัว โดยประมาณหลังจากแข็งตัวแล้ว 28 วัน ความแข็งแรงจะเริ่มคงที่ คอนกรีตมีใช้กันในงานก่อสร้างหลายชนิด ซึ่งรวมถึง อาคาร ถนน เชื่อม สะพาน อนุสาวรีย์ และงานก่อสร้าง ต่างๆ ซึ่งมีเห็นได้ทั่วไปคุณสมบัติหลักของคอนกรีตคือการรับแรงอัดสูง ในขณะที่สามารถรับแรงดึงได้ต่ำ (ประมาณ 10% ของแรงอัด) โดยเมื่อต้องการให้คอนกรีตสามารถรับแรงดึง จะมีการเสริมวัสดุอื่นเพิ่มเข้าไปในคอนกรีตโดยจะเรียกว่า คอนกรีตเสริมแรง หรือคอนกรีตเสริมเหล็กที่เรียกว่า (โดยเสริมแรงด้วยเหล็ก) วัสดุเหล่านี้จะช่วยรับแรงดึงภายในคอนกรีต ซึ่งงานโครงสร้างอาคารส่วนใหญ่นิยมใช้คอนกรีตเสริมแรงแทนที่คอนกรีตเปลือยนออกจากนี้ในงานก่อสร้างยังมีการใช้วิธีการที่เรียกว่า คอนกรีตอัดแรง โดยทำการใส่แรงเข้าไปในคอนกรีตหล่อสำเร็จที่หล่อมาจากโรงงาน โดยเมื่อนำมาไปใช้งานแรงที่ใส่เข้าไปในคอนกรีตจะหักล้างกับน้ำหนักของตัวคอนกรีตเองและน้ำหนักที่เพิ่มขึ้นมา ซึ่งวิธีการนี้จะทำให้คอนกรีตสามารถรับน้ำหนักได้เพิ่มมากขึ้น โดยงานสะพานและทางยกระดับ นิยมใช้คอนกรีตอัดแรง คอนกรีตจะมีสัดส่วนปูนซีเมนต์ต่อบริวาย ต่อบิน ดังนี้ สัดส่วน $1 : 1.5 : 3$ จะเป็นงานเสาและโครงสร้าง สัดส่วน $1 : 2 : 4$ จะเป็นงานพื้น คาน สัดส่วน $1 : 2.5 : 4$ จะเป็นงานถนน ฐานราก

คอนกรีตเป็นวัสดุก่อสร้างที่ได้จากการผสม ปูนซีเมนต์ หิน ทรวย และน้ำ เข้าด้วยกัน ในขณะที่คอนกรีตยังเหลวอยู่ จะถูกเทลงในแบบหล่อเพื่อให้ได้รูปทรงตามที่ต้องการ เช่น เสา คาน พื้น ผนัง เป็นต้น เมื่อคอนกรีตเริ่มก่อตัว ซีเมนต์จะทำปฏิกิริยากับน้ำทำให้คอนกรีตจะแข็งตัวขึ้นเรื่อยๆ สำหรับขั้นตอนการผสมคอนกรีต จะมีแสดงอยู่ในรูปที่ 2-4



รูปที่ 2-4 การผสมส่วนผสมคอนกรีต

ปูนซีเมนต์ จากหลักฐานยืนยันว่าปูนซีเมนต์ถูกนำมาใช้งานตั้งแต่สมัยอียิปต์, กรีกและโรมัน คำว่า ซีเมนต์ มาจากภาษาลาติน มีความหมายทั่วๆ ไปคือ วัตถุที่แข็งเมื่อผสมกับน้ำ ซีเมนต์ถูกใช้อย่างแพร่หลายในฐานะเป็นวัสดุก่อสร้าง เนื่องจากคุณสมบัติที่สำคัญคือ เมื่อผสมกับน้ำจะเกิดความเปลี่ยนแปลงทางเคมี ก่อให้เกิดความสามารถยึดส่วนต่างๆ หรืออนุภาคที่เป็นของแข็งให้รวมตัวกัน

2.4 ปูนซีเมนต์ (Portland Cement)

ปูนซีเมนต์ที่ใช้ในงานโครงสร้าง ให้ใช้ปูนซีเมนต์ดังต่อไปนี้ ปูนซีเมนต์ปอร์ตแลนด์ตามมาตรฐานผลิตภัณฑ์อุตสาหกรรม มอก.15 : ปูนซีเมนต์ปอร์ตแลนด์ ซึ่งแบ่งเป็นประเภทต่างๆ 5 ประเภท

ประเภท 1 ปูนซีเมนต์ที่ใช้ทั่วไปที่ไม่ต้องการคุณภาพพิเศษ

ประเภท 2 ปูนซีเมนต์ที่ใช้เมื่อต้องการความทนชัลเฟต坪านกลางหรือเกิดความร้อน 坪านกลางขณะทำปฏิกิริยา กับน้ำ

ประเภท 3 ปูนซีเมนต์ที่ใช้เมื่อต้องการค่าความต้านแรงอัดสูงได้เร็ว

ประเภท 4 ปูนซีเมนต์ที่ใช้เมื่อต้องการความร้อนต่ำขณะทำปฏิกิริยา กับน้ำ

ประเภท 5 ปูนซีเมนต์ที่ใช้เมื่อต้องการความทนชัลเฟตสูง ปูนซีเมนต์ปอร์ตแลนด์ปอร์ตโซลัน ตามมาตรฐานผลิตภัณฑ์อุตสาหกรรม มอก.849 : ปูนซีเมนต์ปอร์ตแลนด์ปอร์ตโซลัน เป็นปูนซีเมนต์ปอร์ตแลนด์ที่ใช้ในงานก่อสร้างโครงสร้างที่ สัมผัสหรือได้รับอิทธิพลจากดินเค็ม น้ำเค็ม หรือน้ำกร่อย ปูนซีเมนต์ไฮดรอลิก ตามมาตรฐานผลิตภัณฑ์อุตสาหกรรม มอก.2594 : ปูนซีเมนต์ไฮดรอลิกชนิดใช้งานทั่วไป สัญลักษณ์ GU

2.5 มวลรวมละเอียด (Fine Aggregate : ทราย)

2.5.1 ต้องเป็นทรายน้ำจืดหรือทรายบก มีเม็ดหยาบ คุณ แข็งแกร่ง สะอาดปราศจากวัสดุอื่น เช่น เปลือกหอย ดิน เถ้าถ่าน และสารอินทรีย์ต่างๆ เจือปน

2.5.2 ทรายที่ใช้ในการก่อสร้างจะต้องมีค่าโมดูลัสความละเอียด (Fineness Modulus) ตั้งแต่ 2.3 ถึง 3.1

2.5.3 ทรายที่ใช้ในการก่อสร้างต้องมีคุณสมบัติตามมาตรฐานกรมทางหลวงชนบท โดยทดสอบตามมทช.(ท) 101 : มาตรฐานการทดสอบวัสดุมวลผลสมคอนกรีต

2.6 มวลรวมหยาบ (Coarse Aggregate : หินหรือกรวด)

2.6.1 มวลรวมหยาบที่ใช้ต้องแข็งแกร่ง เหนียว ไม่ผุและสะอาด ปราศจากวัสดุอื่นๆ

2.6.2 ขนาดใหญ่สุดของมวลรวมหยาบ ต้องไม่ใหญ่กว่า 40 มิลลิเมตร และไม่ใหญ่กว่า 1/5 ของด้านในที่แคบที่สุดของแบบหล่อ และต้องไม่ใหญ่กว่า 3/4 ของระยะช่องว่าง (Clear Spacing) ระหว่างเหล็กเสริมแต่ละเส้นหรือแต่ละมัด และขนาดใหญ่สุดของมวลรวมหยาบจะต้องมีค่าไม่เกินกว่า ค่าที่ยอมให้ในตารางที่ 2-2

ชนิดของโครงสร้าง	ขนาดใหญ่สุดที่ยอมให้ (มิลลิเมตร)
ฐานราก เสา คาน	40
พื้นและครีบ	25
ผังซึ่งมีความหนา ≥ 12.5 เซนติเมตร	40
ผังซึ่งมีความหนา < 12.5 เซนติเมตร	25

ตารางที่ 2-2 ขนาดใหญ่สุดที่ยอมให้ของมวลรวมทรายสำหรับโครงสร้างแต่ละชนิดของโครงสร้าง
ขนาดใหญ่สุดที่ยอมให้ (มิลลิเมตร)

มาตรฐานการทดสอบขนาดคละของมวลรวม (Standard Test Method for Sieve Analysis of Fine and Coarse Aggregates)

การกระจายของขนาดวัสดุมวลรวม (Particle Size Distribution) หมายถึง การที่มวลรวมประกอบด้วยเม็ดวัสดุหลายขนาดต่างๆ กัน ซึ่งคุณสมบัติทางกายภาพของมวลรวมจะขึ้นอยู่กับขนาดของเม็ดวัสดุ โดยการกระจายของขนาดเม็ดวัสดุมวลรวมจะแสดงด้วยกราฟความสัมพันธ์ระหว่างขนาดตะแกรงมาตรฐานในสเกลลอการิทึม (Logarithm Scale) เป็นแกนนอนกับร้อยละโดยมวลของมวลรวมที่ผ่านตะแกรงเป็นแกนตั้ง ซึ่งเรียกว่ากราฟการกระจายของขนาดวัสดุมวลรวม

ขนาดระบุใหญ่สุด (Nominal Maximum Size) หมายถึงขนาดซ่องผ่านของตะแกรงเล็กที่สุดที่มวลรวมสามารถผ่านได้หรือมีสัดส่วนการผ่านตะแกรงเป็นไปตามที่กำหนด

พิกัดความละเอียด (Fineness Modulus) หมายถึง ตัวเลขด้านที่เป็นปฏิภาคโดยประมาณกับขนาดเฉลี่ยของมวลรวม

มวลรวม (Aggregate) หมายถึง วัสดุที่ใช้ในส่วนผสมของคอนกรีตที่มีขนาดเม็ดตั้งแต่ 0.075 มิลลิเมตรขึ้นไป

มวลรวมละเอียด (Fine Aggregate) หมายถึง วัสดุที่ใช้ในส่วนผสมของคอนกรีตที่มีขนาดเม็ดตั้งแต่ 0.075 มิลลิเมตร ถึง 4.75 มิลลิเมตร

มวลรวมหยาบ (Coarse Aggregate) หมายถึง วัสดุที่ใช้ในส่วนผสมของคอนกรีตที่มีขนาดเม็ดตั้งแต่ 4.75 มิลลิเมตรขึ้นไป

ขนาดตะแกรงมาตรฐาน ร้อยละของวัสดุมวลที่ผ่านตะแกรง 9.5 มิลลิเมตร (3/8 นิ้ว) 100 4.75 มิลลิเมตร (เบอร์ 4) 95-100 2.36 มิลลิเมตร (เบอร์ 8) 80-100 1.18 มิลลิเมตร (เบอร์ 16) 50-85 0.60 มิลลิเมตร (เบอร์ 30) 25-60 0.30 มิลลิเมตร (เบอร์ 50) 5-30 0.15 มิลลิเมตร (เบอร์ 100) 0-10 มิลลิเมตร

การทดสอบความต้านทานกัดกร่อนการสึกกร่อนของหินโดยเครื่องทดสอบลอสแองเจลีส (Abrasion Test by Angeles Machine)

การทดสอบความต้านทานการสึกกร่อนของหินโดยเครื่องทดสอบลอสแองเจลีสทำได้จาก การวัดค่าความสึกกร่อนของมวลรวม จากการแยกและการเสียดสีลูกเหล็กทรงกลม ซึ่งมีขนาดตามที่กำหนดและมีจำนวนขึ้นอยู่กับขนาดคละของตัวอย่างทดสอบในขณะที่ถังหมุนรอบตัวเองจะมีแผ่นเหล็กตั้งฉากกับผนังของถัง จะพาตัวทดสอบลูกเหล็กกลมขึ้นไปพร้อมกัน เมื่อตัวอย่างทดสอบกับลูกเหล็กกลมอยู่สูงขึ้นจะตกลงมากระแทกกับผนังตรงข้ามของถังเหล็ก กระบวนการนี้จะทำการซ้ำๆ ไปเรื่อย จนครบจำนวนรอบ จากนั้นตัวอย่างทดสอบออกจากถัง และนำมาแยกด้วยตะแกรงเพื่อหา เปรอร์เซ็นต์การสึกกร่อน จากมาตรฐาน ASTM C33 หินที่ใช้งานคอนกรีตต้องรับแรงเสียดทานมากเช่น งานถนน ซึ่งจะต้องมีการสึกกร่อนไม่เกิน 35 เปอร์เซ็นต์ของน้ำหนักเดิมจึงเหมาะสมกับการนำไปใช้ คอนกรีต

มาตรฐานการทดสอบหาค่าความหนาแน่นสัมพันธ์และค่าการดูดซึมน้ำของมวลรวมทราย (Standard Test Method for Relative Density and Absorption of Coarse Aggregates)

การดูดซึมน้ำ (Absorption) หมายถึง ปริมาณน้ำที่ถูกดูดซึมเข้าไปจนเต็มช่องว่างที่น้ำซึม ผ่านได้ของมวลรวมแต่ไม่รวมน้ำที่เกาะอยู่ที่ผิวนอกของมวลรวม

ขนาดระบุใหญ่สุด (Nominal Maximum Size) หมายถึง ขนาดช่องผ่านของตะแกรงเล็ก ที่สุดที่มวลรวมสามารถผ่านได้ทั้งหมดหรือมีสัดส่วนการผ่านตระแกรงเป็นไปตามที่กำหนด

ความหนาแน่น (Density) หมายถึง อัตราส่วนของมวลต่อหนึ่งหน่วยปริมาณ

ความหนาแน่นสภาพอบแห้ง (Density Oven-Dry) หมายถึง อัตราส่วนของมวลต่อหนึ่งหน่วยปริมาตรของมวลรวมในสภาพอบแห้งปริมาตรที่รวมช่องว่างที่น้ำซึมผ่านได้

ความหนาแน่นสภาพอิ่มตัวผิวแห้ง (Density Saturated-Surface-Dry) หมายถึง อัตราส่วนของมวลต่อหนึ่งหน่วยปริมาตรของมวลรวมในสภาพอิ่มตัวผิวแห้งปริมาณที่รวมช่องว่างที่น้ำซึมผ่านได้

ความหนาแน่นปรากฏ (Apparent Density) หมายถึง อัตราส่วนของมวลต่อหนึ่งหน่วยของมวลรวมปริมาตรที่ไม่รวมช่องว่างน้ำซึมผ่านได้

2.7 น้ำ (Water)

2.7.1 น้ำที่ใช้ผสมคอนกรีตให้ใช้น้ำประปา

2.7.2 ในกรณีที่หนาน้ำประปามิได้ต้องเป็นน้ำจีดปราศจากสารที่เป็นอันตรายต่อคอนกรีตและเหล็กเสริม

2.8 สารผสมเพิ่ม (Admixtures)

2.8.1 สารเคมีผสมเพิ่ม (Chemical Admixtures) จะต้องมีคุณสมบัติตามมาตรฐานผลิตภัณฑ์อุตสาหกรรม มอก.733 : สารเคมีผสมเพิ่มสำหรับคอนกรีต สามารถใช้สารเคมีผสมเพิ่มปรับปรุงคุณสมบัติบางประการของคอนกรีตได้ เช่น ก. สารลดน้ำ (Water Reducers หรือ Plasticizers) เพื่อลดปริมาณน้ำต่อหน่วยปริมาตรของ คอนกรีตโดยที่ความสามารถในการเทได้ของคอนกรีตคงเดิม หรือเพื่อเพิ่มความสามารถในการเทได้ของคอนกรีตโดยคงปริมาณน้ำต่อหน่วยปริมาตรของคอนกรีตไว้ ข. สารเร่งการแข็งตัว (Accelerators) เพื่อลดระยะเวลาการก่อตัวของคอนกรีตให้สั้นลง ค. สารหน่วงการแข็งตัว (Retarders) เพื่อยืดระยะเวลาการก่อตัวของคอนกรีตให้ยาวนานขึ้น

2.8.2 การใช้สารเคมีผสมเพิ่มมากกว่า 1 ชนิดในส่วนผสมเดียวกันจะต้องคำนึงถึงผลที่มีต่อกันของสารเคมีผสมเพิ่มแต่ละชนิดด้วย

2.9 การออกแบบส่วนผสมคอนกรีต (Concrete Mix Design) ตามมาตรฐาน ACI

1. ปูนซีเมนต์ปอร์ตแลนด์ (Portland Cement)
2. มวลรวมละเอียด (Fine Aggregate : ทราย)
3. มวลรวมหยาบ (Coarse Aggregate : หินย่อย)
4. น้ำ (Water)

2.9.1 วิธีการออกแบบ มาตรฐานการออกแบบคอนกรีต หลักในการออกแบบส่วนผสมคอนกรีตจะต้องออกแบบคอนกรีตให้มีกำลังอัดมากกว่ากำลังอัดของงานที่กำหนดไว้ ทั้งนี้เพื่อสร้างความเชื่อมั่นว่าเมื่อนำคอนกรีตไปใช้งานแล้วจะมีกำลังอัดไม่น้อยกว่ากำลัง อัดของที่งานกำหนด แม้ว่าส่วนผสมคอนกรีตจะมีความผิดเพี้ยนไปบ้างไม่ว่าจะเกิดจากสาเหตุใดก็ตาม ดังสมการที่ (2-1)

$$f_{cr} = f'_c + k s \quad (2-1)$$

f_{cr} = กำลังอัดเป้าหมาย (Target Strength)

f'_c = กำลังอัดที่ต้องการ (Required Strength)

s = ค่าเบี่ยงเบนมาตรฐานจากผลการทดสอบคอนกรีต

k = ค่าคงที่ ดังตารางที่ 2-3

ค่าร้อยละของกำลังที่ต่ำกว่า f_c'	ค่า k
20	0.842
10	1.282
5	1.645
2.5	1.960
2	2.054
1	2.326
0	3.000

ตารางที่ 2-3 ค่าคงที่

ค่าเบี่ยงเบนมาตรฐานจำเป็นต้องหาจากแท่งตัวอย่าง จำนวนอย่างน้อย 30 ค่า จึงจะให้ความเชื่อถือทางสถิติได้เพียงพอ แต่ถ้าการทดสอบน้อยกว่า 30 ค่า ค่าคงที่ k ในตารางที่ 2.7 อนุโลมให้ใช้ได้โดยใช้ตัวคูณ ดังตารางที่ 2-4

จำนวนตัวอย่าง	ตัวคูณสำหรับค่าเบี่ยงเบนมาตรฐาน
น้อยกว่า 15	ใช้ตารางที่ 4
15	1.16
20	1.08
25	1.03
30 หรือมากกว่า	1.00

ตารางที่ 2-4 ค่าเบี่ยงเบนมาตรฐานจำเป็น

ในการนี้ที่ไม่มีผลการทดสอบแท่งตัวอย่าง หรือมีผลการทดสอบน้อยกว่า 15 ค่ากำลังอัดของคอนกรีต ที่จะต้องผลิตต้องสูงกว่ากำลังอัดที่กำหนด ดังตารางที่ 2-5

ค่ากำลังอัดที่กำหนด (f_c')	กำลังอัดที่ต้องเพิ่ม
น้อยกว่า 210	70
210 – 350	85
350 หรือมากกว่า	100

ตารางที่ 2-5 ส่วนเพื่อเมื่อไม่มีผลทดสอบกำลังอัดแท่งตัวอย่าง

การออกแบบตามมาตรฐานอเมริกาในการหาสัดส่วนผสมของคอนกรีตรรرمดา (Normal Weight Concrete) ตามมาตรฐานของอเมริกานี้ จำเป็นอย่างยิ่งที่ผู้ออกแบบต้องทราบคุณสมบัติต่างๆ ของวัสดุที่ใช้ผสมคอนกรีต ดังนี้

ปูนซีเมนต์

- ความถ่วงจำเพาะ (สามารถใช้ค่า 3.15 สำหรับปูนซีเมนต์ปอร์ตแลนด์ประเภท 1)
- มวลรวม (มวลรวมละเอียดและมวลรวมหยาบ)

- ขนาดโตสุดของมวลรวมทราย
- ความถ่วงจำเพาะของมวลรวมละเอียดและมวลรวมทราย
- ความชื้นทั้งสภาพอิ่มตัวผิวน้ำแห้ง (ค่าการดูดซึม) และสภาพขณะใช้งานของมวลรวมละเอียดและมวลรวมทราย
- พิกัดความละเอียดของมวลรวมละเอียด (Fineness Modulus, F.M.)
- หน่วยน้ำหนักของมวลรวมทราย

น้ำ

- ความถ่วงจำเพาะ
- ความหนาแน่น

สารเคมีผสมเพิ่ม

- อัตราการใช้

โดยมีขั้นตอนการออกแบบส่วนผสมคอนกรีต ดังนี้

1. เลือกค่าบุบตัวที่เหมาะสม คำแนะนำตาม ตารางที่ 2-6
2. เลือกขนาดโตสุดของมวลรวมทราย ให้พิจารณาเลือกใช้ขนาดใหญ่ที่สุดแต่ต้องไม่เกินกว่า
 - 2.1 ขนาด $1/5$ ของส่วนที่แคบที่สุดของโครงสร้างที่ไม่เสริมเหล็ก
 - 2.2 ขนาด $3/4$ ของระยะเรียงเหล็กเสริมที่แคบที่สุดหรือระหว่างเหล็กเสริมกับแบบหล่อ
 - 2.3 ขนาด $1/3$ ของความหนาแผ่นพื้นที่วางอยู่บนดิน
3. ประมาณปริมาณน้ำและฟองอากาศที่จะเกิดขึ้นในคอนกรีต (ปริมาตร 1 ลบ.ม.) คำแนะนำตามตารางที่ 2-7
4. เลือกอัตราส่วนระหว่างน้ำต่อซีเมนต์คำแนะนำตาม ตารางที่ 2-8
5. คำนวณปริมาณปูนซีเมนต์ = $\text{ขันตอนที่ } 3 \div \text{ขันตอนที่ } 4$
6. คำนวณปริมาณมวลรวมทราย = $\text{ปริมาตรของมวลรวมทราย (ตารางที่ 2-9)} \times \text{หน่วยน้ำหนักของมวลรวมทราย}$
7. คำนวณปริมาณของมวลรวมละเอียด มี 2 วิธี คือ

7.1 วิธี Weight Method

$$\text{น้ำหนักมวลรวมละเอียด} = \text{หน่วยน้ำหนักของคอนกรีต (ตารางที่ 2-10)} - \frac{\text{น้ำหนักของวัสดุผสม}}{\text{ยกเว้นมวลรวมละเอียด}}$$

7.2 วิธี Absolute Volume

$$\text{ปริมาตรของมวลรวมละเอียด} = \text{ปริมาตรของคอนกรีต} - \frac{\text{ปริมาตรของวัสดุผสมยกเว้นมวลรวม}}{\text{ละเอียด}}$$

น้ำหนักมวลรวมละอียด = ปริมาตรของมวลรวมละอียด \times ค่าความถ่วงจำเพาะของมวลรวมละอียด
 \times หน่วยน้ำหนักของน้ำ

8. ปรับส่วนผสมตามสภาพความชื้นของมวลรวมละอียดและมวลรวมหยาบ
9. ทำการทดลองผสมเพื่อตรวจสอบคุณสมบัติความสามารถให้ได้และกำลังอัดของคอนกรีต
10. หากเหมาะสมให้หยุดการทดลอง แต่ถ้าหากไม่เหมาะสมให้กลับไปดำเนินการตั้งแต่ขั้นตอนที่ 2 ใหม่

ประเภทของงาน	ค่าอยุบตัว (เซนติเมตร)	
	ค่าสูงสุด	ค่าต่ำสุด
งานคอนกรีตขนาดใหญ่	7.5	2.5
พื้นถนน	8.0	3.0
โครงสร้างทั่วๆ ไป	10.0	5.0
เสาหรือผนังบาง	12.5	7.5
โครงสร้างที่มีเหล็กเสริมหนาแน่น	15.0	10.0

ตารางที่ 2-6 ค่าอยุบตัวของคอนกรีตที่ใช้สำหรับการก่อสร้างประเภทต่างๆ

ค่าอยุบตัว (เซนติเมตร)	ปริมาณน้ำ เป็นกิโลกรัม ต่อกองกรีต 1 ลูกบาศก์เมตร สำหรับวัสดุผสมขนาดต่างๆ							
	$\frac{3}{8}$ นิ้ว	$\frac{1}{2}$ นิ้ว	$\frac{3}{4}$ นิ้ว	1 นิ้ว	$\frac{1}{2}$ นิ้ว	2 นิ้ว	3 นิ้ว	6 นิ้ว
คอนกรีตที่ไม่มีสารกระเจยกักฟองอากาศ (Non-Air Entraining Concrete)								
2.5 – 5.0	207	199	190	179	166	154	130	113
7.5 – 10	228	216	205	193	181	169	145	124
12.5 – 15.0	243	228	216	202	190	178	160	-
ปริมาณฟองอากาศ (%) โดยปริมาตร	3	2.5	2	1.5	1	0.5	0.3	0.2
คอนกรีตที่มีสารกระเจยกักฟองอากาศ (Air Entraining Concrete)								
2.5 – 5.0	181	175	168	160	150	142	122	107
7.5 – 10	202	193	184	175	165	157	133	119
12.5 – 15.0	216	205	197	184	174	166	154	-
ปริมาณฟองอากาศ (%) โดยปริมาตร	6	5.5	5	4.5	4.5	4	3.5	3

ตารางที่ 2-7 ปริมาณน้ำที่ต้องการสำหรับค่าอยุบตัวและวัสดุผสมขนาดต่างๆ

กำลังอัดประดับของคอนกรีต ที่อายุ 28 วัน (กิโลกรัมต่�이ตรางเซนติเมตร)	อัตราส่วนน้ำต่อชีเมนต์ โดยน้ำหนัก	
	คอนกรีตที่ไม่กระจาย กักฟองอากาศ	คอนกรีตที่กระจาย กักฟองอากาศ
450	0.38	-
400	0.43	-
350	0.48	0.40
300	0.55	0.46
250	0.62	0.53
200	0.70	0.61
150	0.80	0.71

ตารางที่ 2-8 ความสัมพันธ์ระหว่างอัตราส่วนน้ำต่อชีเมนต์กับกำลังอัดประดับของคอนกรีต

ชนิดของโครงสร้าง	โครงสร้างที่เปียกตลอดเวลา หรือมีการเยือกแข็งและการ ละลายของน้ำสาบกันบ่อยๆ (เฉพาะคอนกรีตกระจายกัก ฟองอากาศเท่านั้น)	โครงสร้างในน้ำทะเล หรือสัมผัสกับซัลเฟต
(1) โครงสร้างบางที่มีเหล็กหุ้ม น้อยกว่า 3 ซม.	0.45	0.40
(2) โครงสร้างอื่นๆ ทั้งหมด	0.50	0.45

ตารางที่ 2-9 อัตราส่วนน้ำต่อชีเมนต์สูงสุดโดยน้ำหนักที่ยอมให้ใช้สำหรับคอนกรีตในสภาพะเปิดเผย
รุนแรง

ขนาดโตสุดของมวลรวม หยาบ น้ำ (มม.)	ปริมาตรของวัสดุผสมหยาบในสภาพแห้งและอัดแน่นต่อหน่วยปริมาตรของ คอนกรีตสำหรับค่าไม่ต่ำสุดความละเอียดของมวลรวมจะเดียดต่างๆ กัน			
	2.40	2.60	2.80	3.00
3/8 (9.5)	0.50	0.48	0.46	0.44
1/2 (12.5)	0.59	0.57	0.55	0.53
3/4 (19)	0.66	0.64	0.62	0.60
1 (25)	0.71	0.69	0.67	0.65
1/2 (37.5)	0.76	0.74	0.72	0.70
2 (50)	0.78	0.76	0.74	0.72
3 (75)	0.81	0.79	0.77	0.75
6 (100)	0.87	0.85	0.83	0.81

ตารางที่ 2-10 ปริมาตรของมวลรวมหยาบต่อหนึ่งหน่วยปริมาตรของคอนกรีต

ขนาดโตสุด ของมวลรวมหมาย น้ำ (มม.)	หน่วยน้ำหนักของคอนกรีต	
	คอนกรีตที่ไม่ใช้สารกระเจายกัก ^{ฟองอากาศ}	คอนกรีตที่ใช้สารกระเจายกัก ^{ฟองอากาศ}
3/8 (10 มม.)	2,280	2,200
1/2 (12.5 มม.)	2,310	2,230
3/4 (20 มม.)	2,345	2,275
1 (25 มม.)	2,380	2,290
1 1/2 (40 มม.)	2,410	2,350
2 (50 มม.)	2,445	2,345
3 (75 มม.)	2,490	2,405
6 (150 มม.)	2,530	2,435

ตารางที่ 2-11 หน่วยน้ำหนักของคอนกรีตสดโดยประมาณ

2.10 การบ่มคอนกรีต (Curing)

การบ่ม (Curing) คือ ชื่อเฉพาะของวิธีการที่ช่วยให้ปฏิกิริยาไฮเดรชันของซีเมนต์ เกิดขึ้นอย่างสมบูรณ์ ซึ่งจะส่งผลให้การพัฒนากำลังอัดของคอนกรีตเป็นไปอย่างต่อเนื่อง การทำให้คอนกรีตคงสภาพของปริมาณความชื้น และอุณหภูมิตตลอดช่วงเวลาแรกเพื่อให้ได้คุณสมบัติของคอนกรีตตามต้องการ การบ่มจึงเป็นขั้นตอนที่สำคัญในการผลิตคอนกรีต กำลังและความทนทานของคอนกรีตจะเพิ่มขึ้นเต็มที่เมื่อได้รับการบ่ม

หน้าที่สำคัญของการบ่มคอนกรีต มีด้วยกัน 2 ประการ คือ

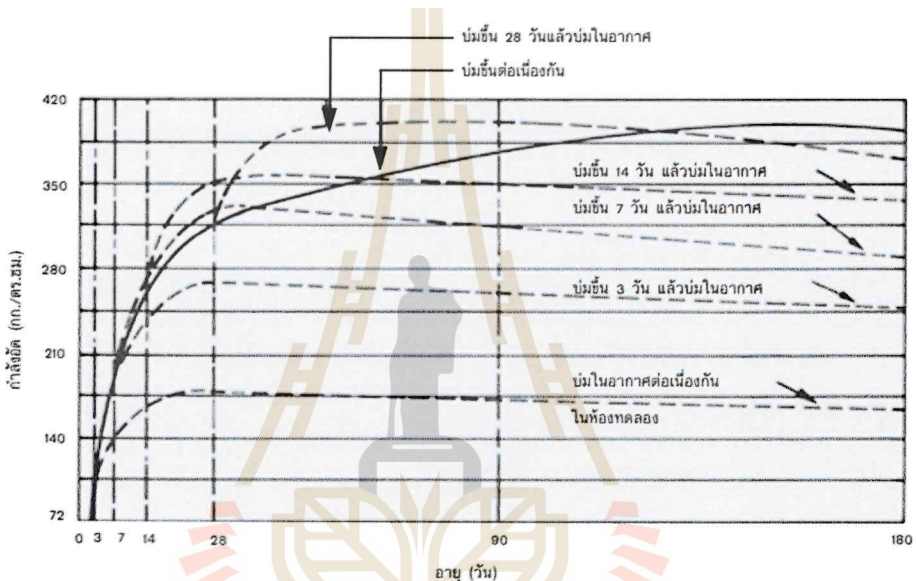
1. ปริมาณความชื้นที่เพียงพอ ปริมาณผสมคอนกรีตที่ว่าเป็นมีการสูญเสียน้ำจากการระเหยมากเกินไปทำให้ปริมาณน้ำลดลงอย่างมาก ทำให้คอนกรีตไม่ได้คุณสมบัติตามที่ต้องการ ผลกระทบนี้ควรได้รับการป้องกันโดยการเพิ่มน้ำหรือป้องกันการระเหย โดยผลกระทบของน้ำที่สูญเสียไปนั้นส่งผลให้คุณสมบัติของคอนกรีตลดลง และยังส่งผลให้เกิดการแตกร้าวจากการหดตัวแบบพลาส

2. อุณหภูมิที่เหมาะสม การเกิดปฏิกิริยาระหว่างปูนซีเมนต์และน้ำ โดยจะเกิดได้หากมีอุณหภูมิที่ต่ำและเกิดได้อย่างรวดเร็วเมื่ออุณหภูมิสูงขึ้น โดยอุณหภูมิของคอนกรีตในระยะแรกมีผลกระทบจากหลายสิ่ง เช่น อุณหภูมิแวดล้อม และอุณหภูมิของวัสดุที่ใช้ การระเหยของน้ำจะการผสานหรือน้ำที่ใช้บ่มคอนกรีตนั้นช่วยระบายน้ำร้อน ซึ่งเป็นผลดีแต่การระเหยต้องไม่มากจนเกินไปจนทำให้กำลังอัดลดลง โดยสามารถรักษาความชื้นของคอนกรีตได้ เช่น การฉีดน้ำ พรมน้ำ หรือ การใช้วัสดุที่มีความชื้นคุณภาพของคอนกรีต เป็นต้น

วัตุประสงค์ที่สำคัญของการบ่มคอนกรีต คือ

1. เพื่อให้ได้คอนกรีตที่มีกำลังและความทนทาน
2. เพื่อป้องกันการแตกร้าวของคอนกรีต โดยรักษา rate ดับอุณหภูมิให้เหมาะสม และลดการระเหยของน้ำในห้องอยู่สุด

การบ่มอาจหมายถึง การควบคุมอุณหภูมิของคอนกรีตด้วย ทั้งนี้เพื่อระดับอุณหภูมิที่สูงจะเป็นตัวเร่งปฏิกิริยาไขเดรชั่นให้เกิดขึ้นอย่างรวดเร็ว อันทำให้คุณภาพของคอนกรีตเพิ่มสูงขึ้นอย่างรวดเร็ว ในระยะแรก อย่างไรก็ตามการเร่งนี้อาจก่อให้เกิดผลเสียต่อคุณสมบัติของคอนกรีตในระยะยาว



รูปที่ 2-5 แสดงอิทธิพลของการบ่มต่อกำลังอัดของคอนกรีต

2.11 มาตรฐานการทดสอบความต้านแรงอัดของแท่งคอนกรีต (COMPRESSIVE STRENGTH OF CONCRETE)

การทดสอบ

1. การวางแผนทดสอบบนเครื่องกดต้องเป็นไปตามนี้
 - ผู้แพ่นเหล็กด้านสัมผัสถักกับแท่งทดสอบต้องสะอาดปราศจากน้ำมัน
 - จัดแนวศูนย์กลางของแพ่นเหล็กตั้งตัวบนและตัวล่างให้อยู่ในแนวเดียวกัน
 - การวางแผนทดสอบต้องให้แนวแกนของแท่งทดสอบหับกับแนวศูนย์กลางของเครื่องกดทดสอบ
 - ผู้แพ่นเหล็กต้องสัมผัสถักกับแท่งทดสอบแนบสนิท
2. เมื่อวางแผนทดสอบบนเครื่องกดทดสอบ และจัดให้แพ่นเหล็กสัมผัสถักกับแท่งทดสอบแนบสนิทดีแล้ว จึงเริ่มให้น้ำหนักกดอย่างสม่ำเสมอ โดยมีอัตราคงที่อยู่ในช่วง 1.43 ถึง 3.47 กิโลกรัมต่อ

ตารางเซนติเมตรต่อวินาที ในช่วงครึ่งแรกของน้ำหนักกดสูงสุดที่แห่งทดสอบจะรับได้แน่นอนให้ใช้อัตราการกดสูงกว่ากำหนดได้ และห้ามปรับอัตราการกดหรือส่วนใด ๆ ของเครื่องทดสอบในขณะที่แห่งทดสอบอยู่ในช่วงจุดคราก (YIELD POINT) และจุดวินาศ (FAILURE)

3. ให้ทำการกดจนกระแทก แห่งทดสอบถึงจุดวินาศ บันทึกค่าน้ำหนักกดสูงสุดที่แห่งทดสอบสามารถรับได้

การคำนวณ

การคำนวณ ค่าความต้านแรงอัดของแห่งทดสอบให้ลักษณะเดียวกับ ถึงทศนิยม 2 ตำแหน่ง ได้จากสูตร

$$\text{ความต้านทานอัดของแห่งทดสอบ} = \frac{\text{น้ำหนักกดสูงสุดที่แห่งทดสอบรับได้ (กิโลกรัม)}}{(\text{กิโลเมตรต่อตารางเซนติเมตร}) \times \text{พื้นที่หน้าตัดที่รับน้ำหนักกดของแห่งทดสอบ(ตารางเซนติเมตร)}}$$

การคำนวณหาค่าความหนาแน่นของแห่งทดสอบ ให้มีความละเอียดถึงทศนิยม 2 ตำแหน่ง ได้จากสูตร

$$\text{ความหนาแน่นของแห่งทดสอบ} = \frac{\text{น้ำหนักของแห่งทดสอบ (กิโลกรัม)}}{\text{ปริมาตรของแห่งทดสอบ (ลูกบาศก์เซนติเมตร)}}$$

ถ้าแห่งทดสอบที่ได้จากการเจาะมีส่วนสูงน้อยกว่า 2 เท่า ของเส้นผ่านศูนย์กลางให้แก้ไขค่าความต้านแรงอัดตาม ตารางที่ 2-13

อัตราส่วนความสูง ต่อเส้นผ่านศูนย์กลางของแห่งทดสอบ	ตัวคูณสำหรับแก้ไขค่าความต้านแรงอัด
1.75	0.99
1.50	0.97
1.25	0.94
1.00	0.91

ตารางที่ 2-12 อัตราส่วนความสูงต่อเส้นผ่านศูนย์กลางกับตัวคูณที่ใช้แก้ไขค่าความต้านแรงอัด

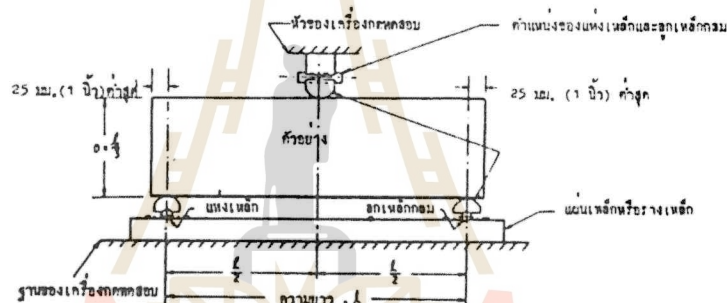
2.12 มาตรฐานการทดสอบการรับแรงดัดของคอนกรีต (FLEXURAL STRENGTH OF CONCRETE)

วิธีการทดสอบนี้ ครอบคลุมถึงการทดสอบหากการรับแรงดัดของคอนกรีต โดยสามารถทำได้ 2 วิธี คือ วิธีใช้แรงกด หนึ่งจุดที่จุดกึ่งกลางคาน (CENTER-POINT LOADING) และวิธีใช้แรงกดคาน 2 จุด โดยให้ตำแหน่งของจุดทั้งสอง เป็นตำแหน่งที่แบ่งคานออกเป็น 3 ส่วนเท่า ๆ กัน (THIRD-POINT LOADING)

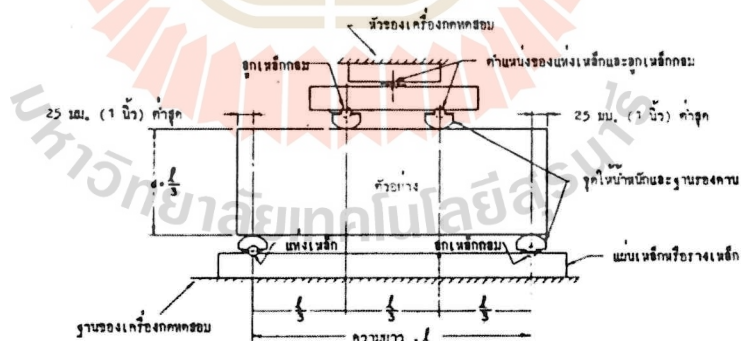
การทดสอบ

1. วางแผนทดสอบบนฐานรองรับคาน วางหัวกดให้ตำแหน่งของหัวกด คานและฐานรองคานอยู่ตามกำหนด โดยวิธีใช้แรงกดหนึ่งจุดที่จุดกึ่งกลางคาน ให้จัดตำแหน่งเครื่องมือตามกำหนดในรูปที่ 2-6 ส่วนการทดสอบวิธีใช้แรงกดคานสองจุดให้จัดตำแหน่งเครื่องมือตามกำหนดใน รูป 2-7

2. ปรับอัตราการกดเครื่องทดสอบด้วยแรงประมาณร้อยละ 3 ถึงร้อยละ 6 ของแรงประลัย (ULTIMATE LOAD) และค่าอุปกรณ์ทดสอบผิวสัมผัสของตัวกดกับคาน และฐานรองคานกับคานดูว่ามีช่องขนาดกว้างกว่า 0.15 มิลลิเมตร ในช่วง 25 มิลลิเมตร หรือไม่ ถ้ามีให้แต่งคอนกรีตที่บริเวณช่วงนั้นด้วยการฝนให้เรียบ ช่องที่ขนาดกว้างน้อยกว่า 0.15 มิลลิเมตร ในช่วง 25 มิลลิเมตร อาจอุดได้โดยการวางแผ่นหนัง (LEATHER SHIM) ไว้ระหว่างผิวสัมผัส แผ่นหนังที่ใช้จะต้องมีขนาดเท่ากับ 6.4 มิลลิเมตร กว้าง 25 มิลลิเมตร ถึง 50 มิลลิเมตร



รูปที่ 2-6 วิธีใช้แรงกด หนึ่งจุดที่จุดกึ่งกลางคาน (CENTER-POINT LOADING)



รูปที่ 2-7 วิธีใช้แรงกดคาน 2 จุด โดยให้ตำแหน่งของจุดทั้งสอง เป็นตำแหน่งที่แบ่งคานออกเป็น 3 ส่วนเท่า ๆ กัน (THIRD-POINT LOADING)

3. เพิ่มแรงกดอย่างต่อเนื่อง และไม่มีการกระตุกในช่วงครึ่งแรกของแรงประลัย อาจเพิ่มแรงได้อย่างรวดเร็ว หลังจากนั้นให้เพิ่มแรงด้วยอัตราที่อยู่ในช่วง 9 กิโลกรัมต่ำตารางเซนติเมตรต่อนาที ถึง 12 กิโลเมตรต่ำตารางเซนติเมตรต่อนาที (125 ปอนด์ต่ำตารางนิวตันต่อนาที ถึง 175 ปอนด์ต่ำตารางนิวตันต่อนาที)

4. วัดด้านกว้างและลึกของคานที่บริเวณที่มีรอยแตกด้านละ 3 ครั้ง แล้วหาค่าเฉลี่ยของหน้าตัดที่รอยแตก พร้อมทั้งสเกตลักษณะการแตกร้าวของคานตัวอย่าง

การคำนวณ

การคำนวณค่าการรับแรงดัดจะกำหนดให้อยู่ในรูปของ โมดูลัสของการแตกหัก (MODULUS OF RUPTURE) ดังต่อไปนี้

1. สำหรับการกดหนึ่งจุดที่จุดกึ่งกลางคาน (CENTER-POINT LOADING) สามารถหาค่าการรับแรงดัดได้จากสมการ (2-2)

$$R = 3 PI/2bd^2 \quad (2-2)$$

2. สำหรับการกดสองจุด โดยตำแหน่งที่จุดทั้งสองแบ่งคานออกเป็นสามส่วน (THIRD-POINT LOADING) สามารถหาค่าการรับแรงดัดได้จากสมการ (2-3)

2.1 เมื่อรอยแตกอยู่ในช่วงกลางคาน

$$R = PI/2bd^2 \quad (2-3)$$

2.2 เมื่อรอยแตกอยู่นอกช่วงกลางคาน และห่างจากช่วงกลาง ไม่เกินร้อยละ 5 ของช่วงคาน ให้ใช้สมการ (2-4)

$$R = 3 PI/2bd^2 \quad (2-4)$$

เมื่อ

R = ค่าการรับแรงดัด เป็น กิโลกรัมต่อตารางเซนติเมตร

P = แรงที่จุดวิบัติของคาน เป็น กิโลกรัม

I = ช่วงคาน เป็น เซนติเมตร

b = ความกว้างเฉลี่ยที่หน้าตัดบริเวณรอยแตก เป็น เซนติเมตร

d = ความลึกเฉลี่ยที่หน้าตัดบริเวณรอยแตก เป็น เซนติเมตร

a = ระยะเฉลี่ยของรอยแตกจากฐานรองคานด้านใกล้ที่สุดเป็นเซนติเมตร

เกณฑ์การตัดสินและความคลาดเคลื่อนที่ยอมให้

1. การพิจารณาค่าการรับแรงดัดของค่อนกริตต้องอยู่ในช่วง ร้อยละ 11 ถึงร้อยละ 23 ของความต้านแรงอัดของแท่นทดสอบซึ่งเป็นค่อนกริตที่ผสมในครั้งเดียวกัน

2. ในการนี้ของการทดสอบวิธีใช้แรงกดคานสองจุด ถ้ารอยแตกอยู่นอกช่วงกลางคานและห่างจากช่วงกลางคานเกินร้อยละ 5 ของช่วงคาน ให้ทำการทดสอบใหม่

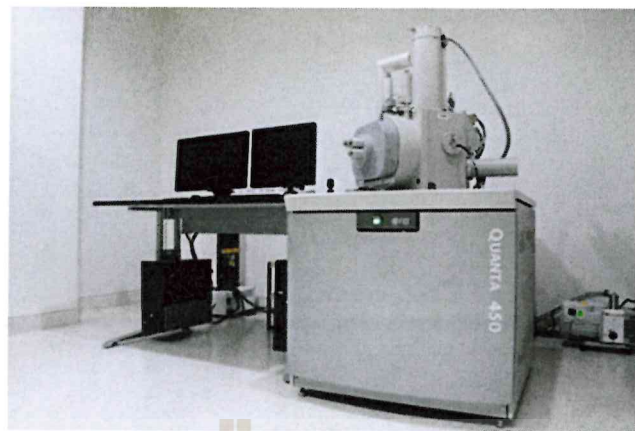
3. ค่าการรับแรงดัด ต้องคำนวณให้ลักษณะ ถึง 0.35 กิโลกรัมต่อตารางเซนติเมตร (5 ปอนด์ต่อตารางนิ้ว)

2.13 วิเคราะห์องค์ประกอบทางเคมีและโครงสร้างจุลภาค (Chemical Composition & Microstructure Analysis)

การวิเคราะห์องค์ประกอบทางเคมี (Chemical Composition Analysis) สามารถทำได้โดยใช้เครื่องมือวิเคราะห์ธาตุและสารประกอบชั้นสูง และสามารถถ่ายทอดกัน ขึ้นอยู่กับว่าต้องวิเคราะห์วัสดุตัวอย่างประเภทใด หนึ่งในวิธีที่ได้รับความนิยมมากที่สุดในห้องแล็บเพื่อ rogework อุตสาหกรรม เนื่องจากใช้เวลาในการทดสอบไม่มาก ค่อนข้างรวดเร็ว คือ การตรวจสอบด้วยเครื่องมือ Spectrometer แบบต่างๆ ด้วยเทคนิคที่แตกต่างกัน เช่น เทคนิคการกระตุ้นสารด้วยพลังงานแสงช่วงแสงอินฟราเรดด้วย FT-IR Spectroscopy (Fourier Transform Infrared Spectroscopy) การวิเคราะห์และหาปริมาณธาตุของโลหะและอโลหะของแข็งด้วยเครื่องมือ Emission Spectroscopy นอกจากนี้จากการใช้เครื่องมือเคมีวิเคราะห์ทางด้านスペกโตรสโคปี (Spectroscopy Instrumentation) ยังมีการวิเคราะห์โครงสร้างจุลภาคแบบบัญชูแบบที่ใช้กล้องจุลทรรศน์ (Microscope) แบบต่างๆ โดยต่อไปนี้ เราจะกล่าวถึงการทดสอบโดยใช้กล้องจุลทรรศน์อิเล็กตรอนแบบส่องกราด (Scanning Electron Microscope; SEM) รวมถึงกล่าวถึงเทคนิคการใช้ X-rays Detector หรือ เทคนิค Energy Dispersive Spectroscopy (EDS, EDX)

2.13.1 กล้องจุลทรรศน์อิเล็กตรอนแบบส่องกราด (Scanning Electron Microscope; SEM)

กล้องจุลทรรศน์อิเล็กตรอนแบบส่องกราด เรียกว่า SEM (มาจาก Scanning Electron Microscope หรือสามารถเรียกว่า X-Ray Spectroscopy ก็ได้) คือเครื่องมือที่ช่วยให้สามารถมองเห็นด้วยตาเปล่า มีประสิทธิภาพมากกว่ากล้องจุลทรรศน์แบบธรรมดายอดเยี่ยมมากถึง 200,000 เท่า ในการทำงานของเครื่องจะเป็นการใช้ลำแสงอิเล็กตรอนส่องกราดไปบนพื้นผิวของตัวอย่าง (Surface) ผลลัพธ์ที่มองเห็นจะให้ภาพแบบ 3 มิติ สามารถรองการศึกษาสภาพพื้นผิวของตัวอย่างทั้งทางชีวภาพและกายภาพ Energy-Dispersive X-ray Spectroscopy หรืออาจถูกเรียกอีกแบบว่า Energy Dispersive X-ray Analysis เป็นเทคนิคการวิเคราะห์ที่อาศัยปฏิสัมพันธ์ของแหล่งกำเนิดรังสีเอกซ์ ไปใช้สำหรับการวิเคราะห์องค์ประกอบเคมีหรือธาตุ ของตัวอย่าง (โลหะ เซรามิก หรือพอลิเมอร์) ในส่วนของการประยุกต์ใช้งาน ผลการวิเคราะห์จากเครื่อง SEM จะถูกนำไปประยุกต์ใช้งานทั้งในด้านของวิทยาศาสตร์ชีวภาพวิทยาศาสตร์กายภาพ ธรณีวิทยา และงานอุตสาหกรรม



รูปที่ 2-8 ตัวอย่างเครื่องมือทดสอบ SEM

2.13.2 X-Ray Diffractometer (XRD) เครื่องวิเคราะห์การเลี้ยวเบนของรังสีเอ็กซ์

เครื่องเอกซเรย์ดิฟแฟร์กโตเมเตอร์ (X-ray diffractometer : XRD) เป็นเครื่องมือวิเคราะห์วัสดุขั้นพื้นฐาน ซึ่งเป็น การวิเคราะห์แบบไม่ทำลายตัวอย่าง (non-destructive analysis) เพื่อศึกษาเกี่ยวกับโครงสร้างของผลึก การจัดเรียงตัว ของอะตอมในโมเลกุลของสารประกอบต่าง ๆ ทั้งในเชิงคุณภาพและปริมาณ โดยอาศัยหลักการเลี้ยวเบนและการกระเจิงของ รังสีเอ็กซ์ และความรู้เกี่ยวกับวิชาระบบโครงสร้างผลึก เครื่องมือชนิดนี้มีความสำคัญมากในกระบวนการควบคุมคุณภาพ การผลิต ใช้สำหรับตรวจสอบสมบัติของวัตถุติดและผลิตภัณฑ์ในกระบวนการผลิตตามขั้นตอนต่าง ๆ ทฤษฎีพื้นฐานของ XRD อาศัยหลักการเลี้ยวเบนของรังสีเอ็กซ์เมื่อรังสีตกกระทบวัตถุหรืออนุภาคจะเกิด การหักเหของรังสีที่สะท้อนทำมุกกับระนาบของอนุภาคเท่ากับมุกของรังสีตกกระทบ ในปี ค.ศ. 1912 นาย W.L.Bragg ได้นำทฤษฎีดังกล่าวมาศึกษารูปแบบโครงสร้างผลึกของแร่ต่าง ๆ ต่อมาได้มีการประดิษฐ์คิดค้น เครื่องเอกซเรย์ดิฟแฟร์กโตเมเตอร์ขึ้นในปี 1948 และมีการพัฒนาอย่างต่อเนื่องจนกระทั่งสามารถนำคอมพิวเตอร์มาประยุกต์ใช้ในการควบคุม การทำงาน และวิเคราะห์ประมวลผล เพื่อให้เกิดความรวดเร็วแม่นยำยิ่งขึ้น XRD เป็นที่รู้จักกันอย่างแพร่หลาย ในกลุ่มนักวิทยาศาสตร์ ธรณีวิทยา โลหะวิทยา เพราะเป็นเครื่องมือที่ใช้วิเคราะห์โครงสร้างผลึกของสารประกอบและแร่ ผลการวิเคราะห์จาก XRD ทำให้สามารถแยกแยะประเภทและชนิดของ วัสดุที่พบในธรรมชาติว่ามีรูปแบบโครงสร้างผลึกแบบใด หรือจำแนกได้ว่าวัสดุที่พบเห็นนั้นเป็นแร่ชนิดใด โดยทำการวัดค่า ความเข้มของรังสีที่สะท้อนออกมามาที่มุมต่าง ๆ เปรียบเทียบกับข้อมูลมาตรฐานที่ทำการตรวจวัดโดยองค์กร JCPDs (Joint Committee on Powder Diffraction Standard) เนื่องจากสารประกอบแต่ละชนิด มีรูปแบบโครงสร้างผลึกแตกต่างกัน และระยะห่างระหว่างระนาบของอะตอม ที่จัดเรียงกันอย่างเป็นระเบียบก็แตกต่างกันไปด้วย โดยที่ขนาดและประจุของอะตอม ของสารประกอบแต่ละชนิด จะมีรูปแบบ (XRD pattern) เฉพาะตัว เปรียบได้กับลายนิ้วมือของคนที่แตกต่างกัน

2.14 งานวิจัยที่เกี่ยวข้อง

พสิษฐ์ตันดุลยกุล และ วีรยา อิมอ้อย (2564) การใช้ถ้วยน้ำชาแทนที่ดินลูกรังประเภทกรวดสำหรับวัสดุงานทาง งานวิจัยฉบับนี้ศึกษาการนำถ้วยน้ำชาแทนที่ดินลูกรังเป็นวัสดุพอลอยได้จากการผลิตกระแสไฟฟ้ามาใช้ในการแทนที่ดินลูกรังเพื่อ เป็นวัสดุทดแทนวัสดุธรรมชาติสำหรับใช้เป็นวัสดุงานทาง โดยใช้ถ้วยน้ำชาจากโรงไฟฟ้าแม่مهaje ผ่านตะแกรง 1 นิ้ว โดย นำมาแทนที่ดินลูกรังที่มีการคัดขนาดตามมาตรฐานวัสดุชั้นรองพื้นทาง ทล.-ม. 205/2532 Type A และ Type C ของกรมทางหลวง อยู่ในช่วงร้อยละ 10 ถึง 60 โดยมวลดินลูกรังแห้ง จากผลการศึกษาคุณสมบัติการบดอัดของดินลูกรัง แทนที่ด้วยถ้วยน้ำชาพบว่า เมื่ออัตราส่วนการแทนที่ถ้วยน้ำชาที่เพิ่มขึ้น ความหนาแน่นแห้งสูงสุดมีแนวโน้มลดลง ในขณะที่ความชื้น เหมาะสมมีแนวโน้มเพิ่มขึ้น สำหรับคุณสมบัติด้านกำลังรับน้ำหนัก พบร่วมกับ CBR มีแนวโน้มลดลงตามอัตราส่วนการแทนที่ถ้วยน้ำชาที่เพิ่มขึ้นจนถึงร้อยละ 30 หลังจากนั้นค่า CBR มีค่าสูงขึ้น หากเทียบกับมาตรฐานวัสดุมวลรวมชั้นรอง พื้นทาง พบร่วงการบดอัดด้วยความชื้นเหมาะสมมีค่า CBR ผ่านมาตรฐาน และการบดอัดด้วยความชื้นเหมาะสม+2% มีค่า CBR ผ่านมาตรฐานเมื่อร้อยละการแทนที่ถ้วยน้ำชาอยู่ในช่วง ร้อยละ 40 – 60แต่ไม่ได้ช่วยปรับปรุงคุณภาพของดินลูกรัง

ศิริ อาทุมาท (2562) ผลกระทบของการใช้ถ้วยน้ำชาแทนที่บางส่วนของทรายในคอนกรีตต่อความต้านทานการแทรกซึมคลอริโอดและปริมาณคลอริโอดวิกฤตของคอนกรีต จากผลการศึกษาพบว่าคอนกรีตที่ผสมถ้วยน้ำชา r้อยละ 10 มีความต้านทานคลอริโอดสูงกว่าคอนกรีตควบคุมที่ไม่ผสมถ้วยน้ำชาและคอนกรีตที่ผสมถ้วยน้ำชา r้อยละ 30 คอนกรีตที่ผสมถ้วยน้ำชา r้อยละ 10 ร่วมกับถ้วยน้ำชา r้อยละ 50 มีความต้านทานไฟฟ้าที่ผิวและความต้านทานไฟฟ้าทั้งหมดของคอนกรีตมากที่สุด เมื่อควบคุมค่าการยุบตัวของคอนกรีตที่เท่ากัน พบร่วง คอนกรีตที่ผสมถ้วยน้ำชา r้อยละ 10 มีค่าปริมาณคลอริโอดวิกฤตสูงขึ้นและมีระยะเวลาการเกิดสนิมของเหล็กเสริมนานขึ้น

ผู้ช่วยศาสตราจารย์ศาสตราจารย์สุขประเสริฐ (2559) การประยุกต์ใช้ยางพาราและดินซีเมนต์สำหรับงานก่อสร้างถนนดินซีเมนต์ที่ปรับปรุงคุณภาพด้วยน้ำยาางพารา r้อยละ 5 โดยน้ำหนัก มีสมบัติทางวิเคราะห์ตามมาตรฐานพื้นทางดินซีเมนต์ โดยมีกำลังรับแรงอัด เท่ากับ 19.58 กก./ตร.ซม. และโมดูลัสความยืดหยุ่น เท่ากับ 1,116.2 กก./ตร.ซม. เมื่อเปรียบเทียบกับดินซีเมนต์ ซึ่งมีกำลังรับแรงอัด เท่ากับ 16.78 กก./ตร.ซม. และโมดูลัสความยืดหยุ่น เท่ากับ 1,025.9 กก./ตร.ซม. พบร่วง ดินซีเมนต์ที่ปรับปรุงคุณภาพด้วยน้ำยาางพารามีกำลังอัดเพิ่มขึ้น ร้อยละ 16.67 และโมดูลัสความยืดหยุ่น เพิ่มขึ้น ร้อยละ 8.80 ทั้งนี้ เมื่อเปรียบเทียบกับดินซีเมนต์ที่ปรับปรุงคุณภาพด้วยน้ำยาโพลิเมอร์ ซึ่งมี กำลังรับแรงอัด เท่ากับ 21.25 กก./ตร.ซม. และโมดูลัสความยืดหยุ่น เท่ากับ 1,278.8 กก./ตร.ซม. พบร่วง ดินซีเมนต์ที่ปรับปรุงคุณภาพด้วยน้ำยาางพารามีกำลังรับแรงอัดลดลง ร้อยละ 7.89 และโมดูลัส ความยืดหยุ่นลดลง ร้อยละ 12.44 อย่างไรก็ตาม ดินซีเมนต์ที่ปรับปรุงคุณภาพด้วยน้ำ

ยางพารามีค่า กำลังรับแรงอัด มากกว่า 17.50 กก./ตร.ซม. ตามที่กำหนดไว้ในมาตรฐาน ที่ กล.-ม. 204/2533 ดังนั้น ผลการวิจัยนี้ยืนยันว่าสามารถประยุกต์ใช้น้ำยาางพาราเป็นสารผสมเพิ่มในการปรับปรุงคุณภาพดิน ซีเมนต์สำหรับเป็นวัสดุพื้นทางในโครงสร้างถนน แต่ก็ยังมีสมบัติที่ด้อยกว่าดินซีเมนต์ที่ปรับปรุง

ศุภชัย ไทยพูม ชูศักดิ์ ศรีรัตน์ (2562) การศึกษาคุณสมบัติด้านวิศวกรรมของถ้ากันเตาผสมปูนซีเมนต์และน้ำยาางพาราเพื่อใช้เป็นวัสดุทางเลือกสำหรับงานทาง จากผลการทดสอบการบดอัดแบบสูงกว่ามาตรฐานพบว่าบริมาณยางพาราที่เหมาะสมที่สุด 2 อันตับแรกคือ ร้อยละ 6 และร้อยละ 8 สำหรับปริมาณปูนซีเมนต์ที่เหมาะสมซึ่งพิจารณาจากผลการทดสอบแรงอัดแกนเดียวคือ ร้อยละ 5 สำหรับงานถนนที่มีการจราจรบริมาณน้อยมาก ซึ่งสรุปได้ว่าอัตราส่วนที่เหมาะสมได้แก่ B95%C5%R6% และ B93%C7%R6% นอกจากนี้ยังพบว่าอิทธิพลของการแข็งแน่นมีผลทำให้กำลังของถ้ากันเตาผสมปูนซีเมนต์และน้ำยาลดลงประมาณร้อยละ 5 เมื่อพิจารณาผลการทดสอบความต้านทานต่อการไถลในสภาพเปียกพบว่าอยู่เกณฑ์ที่สามารถนำไปใช้งานถนนสาธารณะในทางตรงและมีความลาดชันน้อยได้

วุฒิกรรณ์ ไสววรรณรัตน์ (2563) การปรับปรุงคุณภาพดินรายโดยใช้ถ้ากันเตาและปูนซีเมนต์เพื่อใช้เป็นวัสดุคุณและวัสดุงานทาง การศึกษาประกอบไปด้วยการทดสอบกำลังรับแรงอัด แบบไม่ถูกจำกัด (UCS) การทดสอบ California Bearing Ratio (CBR) การทดสอบค่าโมดูลัสคีนตัว (Mr) และการทดสอบแบบไม่ทำลายโดยใช้คลื่น สั่นสะเทือน Free-Free Resonance (FRR) สามารถนำมาใช้ในการประเมินกำลังของดินทรายปรับปรุงคุณภาพได้และสามารถใช้ในการหา คุณสมบัติด้านโมดูลัสสั่นสะเทือนและอัตราส่วนปัวร์ซอง ผลการทดสอบ พบร่วมกับความเร็วคลื่น P-wave และ S-wave รวมไปถึงค่าโมดูลัสสั่นสะเทือน มีความสอดคล้องกันกับผลการทดสอบกำลังรับแรงอัด ผลการทดสอบแสดงให้เห็นว่าปริมาณการแทนที่ดินทรายด้วยถ้ากันเตาบริมาณ 30 เปอร์เซ็นต์ ที่ทุกสัดส่วนซีเมนต์และระยะเวลาบ่มีความเหมาะสมที่สุด เนื่องจากค่ากำลังรับแรงอัดแบบไม่ถูกจำกัด (UCS) ค่า California bearing ratio (CBR) และค่าโมดูลัสคีนตัว (Mr) มีค่าสูงสุดที่สัดส่วนนี้ ดินทรายปรับปรุง คุณภาพด้วยถ้ากันเตาและซีเมนต์สามารถจำแนกได้เป็นชั้นพื้นทางดิน ซีเมนต์ซึ่งเป็นเป้าหมายมาตรฐาน ทล.-ม. 204/2556 กรมทางหลวง ประเทศไทย

เรืองรุษดี ชีระโรจน์ และ ชัย ชาตรุพิทักษ์กุล (2546) การใช้ถ้ากันเตาบดละเอียดเป็นวัสดุปอกชีลามในงานคอนกรีต จากการศึกษาพบว่าค่ายูบตัวของคอนกรีตผสมถ้ากันเตาบดละเอียดมีค่าใกล้เคียงกับคอนกรีตควบคุม ส่วนกำลังของคอนกรีตผสมถ้ากันเตาบดละเอียดสามารถพัฒนากำลังอัดจนสูงกว่าคอนกรีตควบคุมที่อายุ 28 วันขึ้นไป และอายุ 90 วันมีกำลังอัดสูงสุดร้อยละ 113 ของคอนกรีตควบคุม สำหรับคอนกรีตที่ผสมถ้ากันเตาความละเอียดและอัตราส่วนแทบที่ปูนซีเมนต์

เท่ากันพบว่าคุณกรีตที่ออกแบบแบบกำลังอัดสูงกว่า มีค่าร้อยละกำลังอัดสูงกว่าคุณกรีตที่ออกแบบแบบกำลังอัดต่ำกว่า ผลจากการทดลองสรุปว่า เถ้ากันเตาบดละเอียดสามารถนำมาใช้เป็นวัสดุป้องโชลนาในคุณกรีตได้อย่างดี

ทฤษฎี อิสเริยฤทธานนท์ (2546) ได้ศึกษากำลังอัด ความต้านทานต่อการขัดสีและความต้านทานต่อคลอไรด์ ของคุณกรีตที่ใช้ถ่านหินจากโรงไฟฟ้าแม่เมะแทนที่มวลรวมละเอียด พบร่วมกับถ่านหินเตามีรูปร่างไม่แน่นอน พรุนมาก เปราะ ความชื้นสูง ดูดซึมมาก ละเอียดมากกว่าทราย เฉื่อยต่อปฏิกิริยาไฮเดรชั่น และทำให้คุณกรีตต้องใช้น้ำมากขึ้นเพื่อให้มีค่ายูบตัวเพียงพอความต้านทานการขัดสีอยู่ในช่วงร้อยละ 30-40 ของคุณกรีตควบคุม ความต้านทานต่อคลอไรด์ของคุณกรีตที่ใช้ถ่านหินแทนที่ทรายทุกส่วนผสมสูงกว่าคุณกรีตควบคุม และพบว่าคุณกรีตที่ใช้ถ่านหินเตาหินบัวร้อยละ 10 ผสมสารลดน้ำมีการซึมผ่านของคลอไรด์ต่ำสุด



บทที่ 3

วัสดุและวิธีการดำเนินการ

การศึกษาเรื่อง Enhancing the Mechanical and Microstructural Properties of Bottom Ash Concrete with Natural Rubber Latex for Sustainable Rigid Pavements มีวิจัยในการดำเนินการ
วิจัย ดังนี้

3.1 วิธีการวิจัย (Research Methodology)

แผนการดำเนินการจัดทำวิทยานิพนธ์ (เริ่มทำวิทยานิพนธ์ เดือนกุมภาพันธ์ ปี พ.ศ. 2565)
กิจกรรม /ขั้นตอนการดำเนินการ

1. ทบทวนการศึกษา รวมรวมข้อมูลรวมทั้งสำหรับบริษัทค้นควารณกรรม และงานวิจัยที่เกี่ยวข้อง
2. วางแผนดำเนินงาน
3. หาวัสดุและเครื่องมือที่ใช้ในการทดลอง
4. ออกแบบและขึ้นรูปชิ้นทดสอบ
5. ทดสอบชิ้นงานและส่งตรวจทางจุลภาค
6. รวบรวมและวิเคราะห์ข้อมูล
7. สรุปผลการศึกษาและจัดทำข้อเสนอแนะ
8. จัดทำวิทยานิพนธ์
9. สอบวิทยานิพนธ์

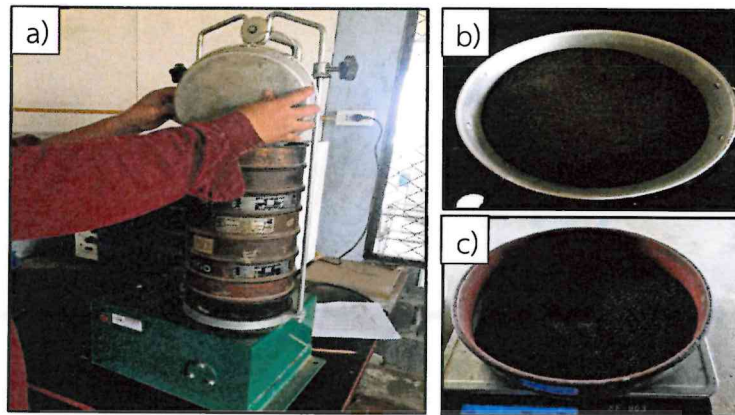
3.2 วิธีการดำเนินงานวิจัย นำวัสดุมาทดสอบคุณสมบัติมวลรวมด้านกายภาพและ วิศวกรรม

3.2.1 นำวัสดุมาทดสอบมาตรฐานมวลรวมเฉพาะในงานคอนกรีต

การกระจายของขนาดสัดมวลรวม (Sieve Analysis of Fine and Coarse Aggregates) โดยใช้เครื่อง Sieve Shaker ตามมาตรฐาน

3.2.2 นำวัสดุมาทดสอบ American Society of Testing Materials ASTM

คือ Maximum size aggregate , Saturated surface dry specific gravity , Dry specific gravity , Dry density , Water absorption , Moisture content , Abrasion loss และ Fineness modulus



รูปที่ 3-1 a) การหาขนาดคละ bottom ash และ b),c) วัสดุมวลรวม ในเครื่อง Sieve Shake

3.2.3 ทำการผสมคอนกรีตตามอัตราส่วนจำนวน 9 สูตรตัวอย่าง

ตามที่ได้ออกแบบไว้โดยใช้แบบหล่อคอนกรีตทรงลูกบาศก์ ขนาด $15 \times 15 \times 15$ cm. (Concrete Cube Mold) แบบหล่อคอนกรีตคานทรงสี่เหลี่ยมผืนผ้า ขนาด $7.5 \times 7.5 \times 30$ cm. (Concrete rectangle Mold)



รูปที่ 3-2 a) และ b) เตรียมแบบหล่อคอนกรีตตามมาตรฐาน

3.3 การออกแบบส่วนผสมคอนกรีต (Mix Design)

Mixing Proportions of BA-NRL Concrete ($fc' = 300$ ksc.) slump = 5 cm.

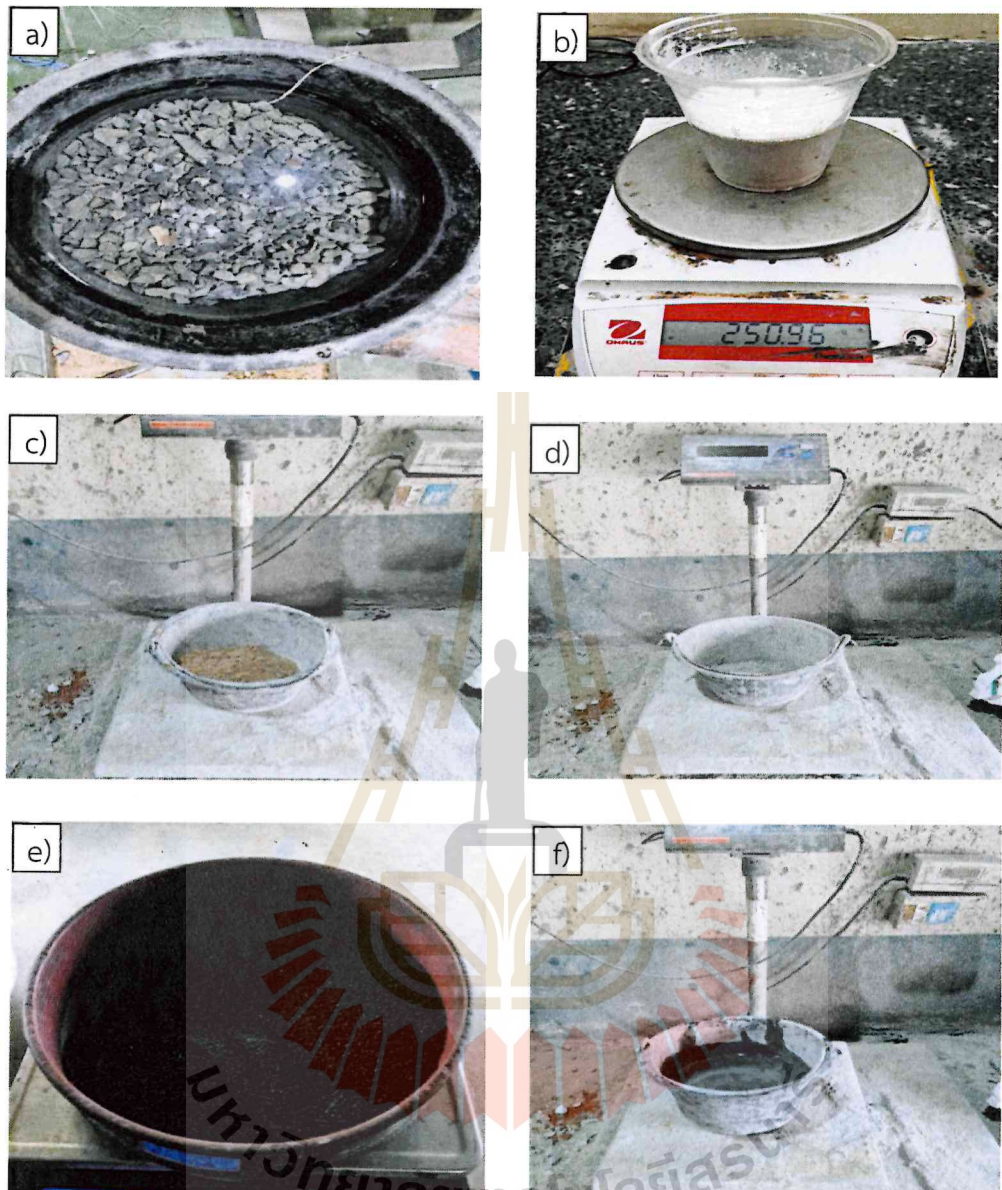
Specimen ID	w/c	Portland	Coarse Aggregate		Fine Aggregate		NRL	Water
			Cement (kg/m ³)	Limestone (kg/m ³)	Sand (kg/m ³)	BA (kg/m ³)		
Normal Concrete (control mix)	0.5	370	1018	1018	814	-	0	-
10%BA+0.0%NRL	0.5	370	1018	732.6	81.4	0	-	185
10%BA+1.0%NRL	0.5	370	1018	732.6	81.4	1.0	7.12	181.58
10%BA+1.5%NRL	0.5	370	1018	732.6	81.4	1.5	10.67	179.88
10%BA+2.0%NRL	0.5	370	1018	732.6	81.4	2.0	14.23	178.17
20%BA+0.0%NRL	0.5	370	1018	651.2	162.8	0	-	185
20%BA+1.0%NRL	0.5	370	1018	651.2	162.8	1.0	7.12	181.58
20%BA+1.5%NRL	0.5	370	1018	651.2	162.8	1.5	10.67	179.88
20%BA+2.0%NRL	0.5	370	1018	651.2	162.8	2.0	14.23	178.17

Note: r = dry rubber latex (solid content)

ตารางที่ 3-1 การออกแบบส่วนผสมคอนกรีต $fc' = 300$ ksc. slump = 5 cm.

3.4 เตรียมวัสดุเพื่อทำการผสมคอนกรีตตามอัตราส่วนที่ออกแบบ

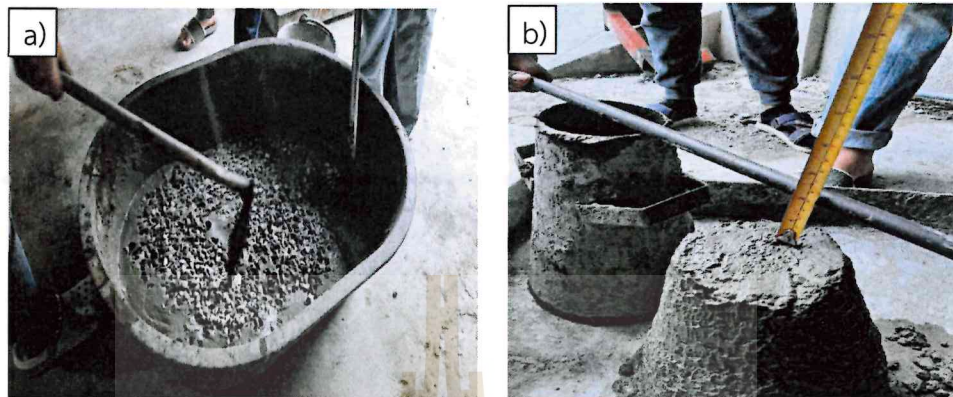
1. ปูนซีเมนต์ปอร์ตแลนท์ประเภทที่ 1
2. ทรายหยาบ (Coarse Sand)
3. หิน (Limestone)
5. เถ้ากันเตา (bottom ash)
6. น้ำยางพารา (Natural rubber latex)
7. Slump Test
8. น้ำ (Water)



รูปที่ 3-3 a), b) ,c) ,d) ,e) ,c) และ f) จัดเตรียมอุปกรณ์และวัสดุตามอัตราส่วนผสมที่ออกแบบตามตารางที่ 3-1

3.5 การผสมส่วนผสม (Mixing of Concrete Mix Design)

ผสมคอนกรีตให้เข้ากันและทำการตรวจสอบการยุบตัวให้ได้ตามมาตรฐานที่ออกแบบ slump = 5 Cm.



รูปที่ 3-4 a) การผสมส่วนผสมคอนกรีต และ b) การควบคุมการยุบตัว slump test เท่ากับ 5

3.6 ทำการหล่อเข้าแบบและทำการบ่มคอนกรีต การบ่มคอนกรีต (CONCRETE CURING)

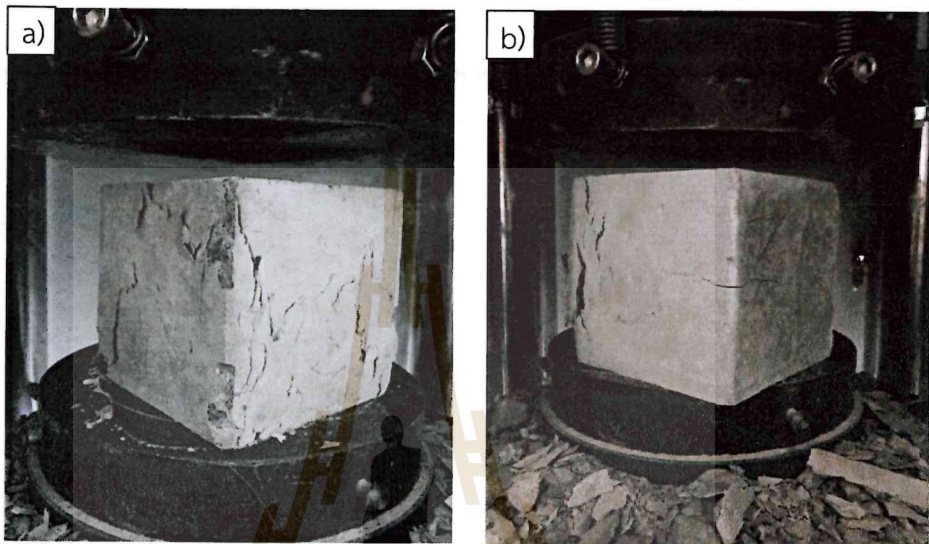
แบบหล่อคอนกรีตทรงลูกบาศก์ ขนาด $15 \times 15 \times 15$ cm (Concrete Cube Mold) และ แบบหล่อคอนกรีตคานทรงสี่เหลี่ยมผืนผ้า (Concrete rectangle Mold) ขนาด $7.5 \times 7.5 \times 30$ cm แล้วทำการทิ้งไว้ให้แห้ง 24 ชั่วโมงแล้วมาแกะแบบเพื่อการบ่มน้ำ(CONCRETE CURING) คอนกรีตที่ 7, 28 วัน และ 60 ตามมาตรฐาน



รูปที่ 3-5 a) , b) ทึ้งคอนกรีต 24 ชั่วโมง ทำการแกะแบบคอนกรีตและ c) , d) บ่มคอนกรีต (CONCRETE CURING) จำนวน 7, 28 และ 60 วัน

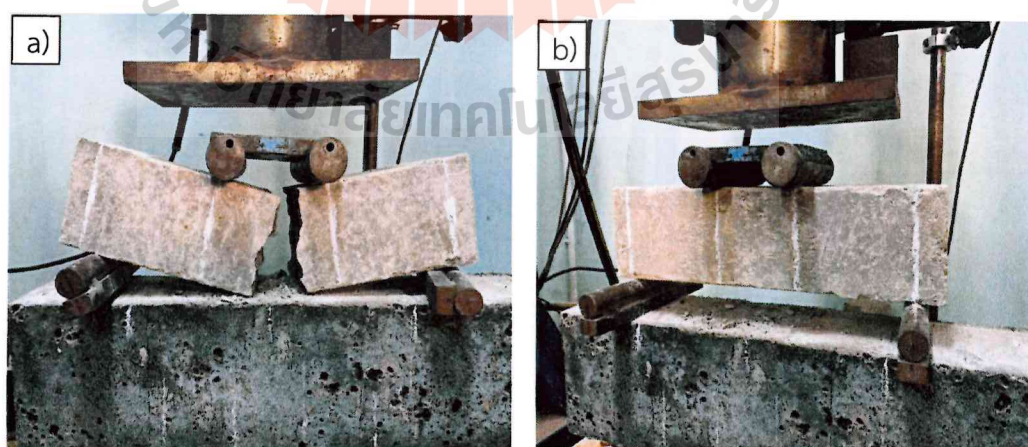
3.7 นำคุณค่าที่หล่อตามแบบมาตรฐานมาทำการทดสอบ (compressive strength & Flexural Strength)

3.7.1 กำลังอัดของคอนกรีต (compressive strength) จากชิ้นตัวอย่างที่ 7, 28 และ 60 วัน ตามได้ทำการ CONCRETE CURING ไว้ข้างต้นและทำการจดบันทึกค่าแล้วนำไปคำนวณ



รูปที่ 3-6 a) และ b) การทดสอบกำลังอัดของคอนกรีต (compressive strength)

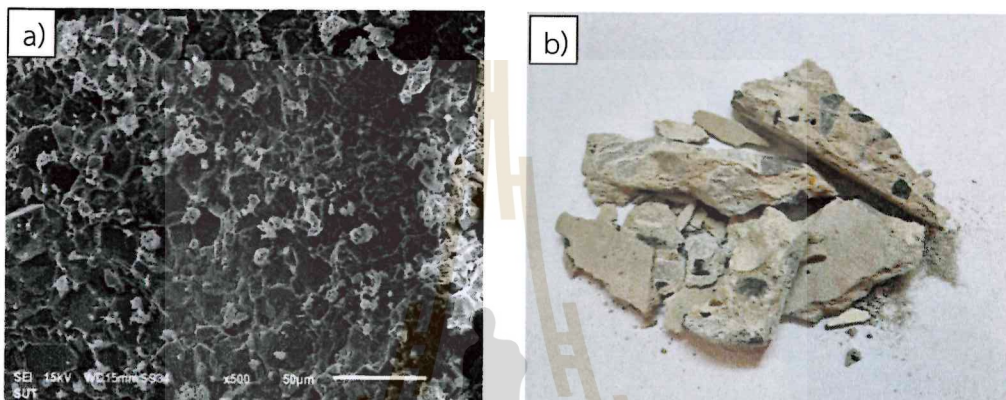
3.7.2 การรับแรงดัดของคอนกรีต (Flexural Strength) จากชิ้นตัวอย่างที่ 7, 28 และ 60 วัน ตามได้ทำการ CONCRETE CURING วิธีใช้แรงกดคาน 2 จุด โดยให้ตำแหน่งของจุดทั้งสองเป็น ตำแหน่งที่แบ่งค่าออกเป็น 3 ส่วนเท่า ๆ กัน (THIRD-POINT LOADING) ทำการจดบันทึกค่าแล้วนำไปคำนวณ



รูปที่ 3-7 a) และ b) การทดสอบการรับแรงดัดของคอนกรีต (Flexural Strength)

3.8 นำตัวอย่างคอนกรีตมาทดสอบวิเคราะห์โครงสร้างจุลภาค (Microstructural Analysis)

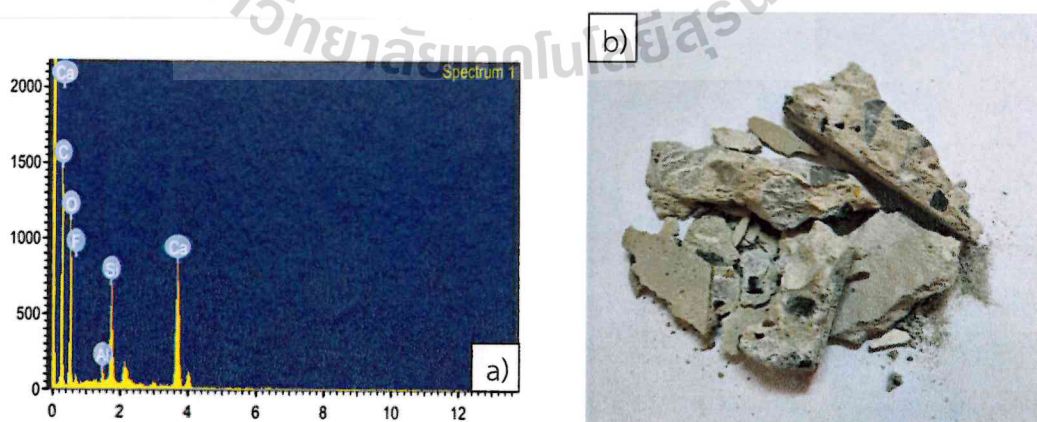
การนำขึ้นส่วนคอนกรีตโครงสร้างจุลภาคกล้องจุลทรรศน์อิเล็กตรอนแบบส่องกราด (Scanning Electron Microscope; SEM) ที่ศูนย์เครื่องมือเพื่อศึกษาและวิเคราะห์สภาพพื้นผิวของตัวอย่างทั้งทางชีวภาพและกายภาพ กำลังขยาย $\times 500$ และ กำลังขยาย $\times 2,000$ และนำข้อมูลดังกล่าวไปวิเคราะห์ต่อไป



รูปที่ 3-8 a) รูปการศึกษาโครงสร้างผลึกและ b) ชิ้นตัวอย่างโดยใช้ Scanning Electron Microscope กำลังขยาย $\times 500$ และ กำลังขยาย $\times 2,000$

นำตัวอย่างคอนกรีตทดสอบวิเคราะห์แร่วิทยา (Mineralogical Analysis)

นำตัวอย่างมาเข้าเครื่อง X-Ray Diffractometer (XRD) เทคนิคเอกซเรย์ดิฟแฟร์กชัน หรือ มาใช้วิเคราะห์และระบุชนิดสารประกอบ โครงสร้างผลึกของสารประกอบที่มีอยู่ในสารตัวอย่าง ทั้งในเชิงคุณภาพ (Qualitative) และเชิงปริมาณ (Quantitative) และนำข้อมูลดังกล่าวไปวิเคราะห์ต่อไป



รูปที่ 3-9 a) รูปการศึกษาการวิเคราะห์ธาตุและ b) ชิ้นคอนกรีตตัวอย่างโดยการใช้ X-Ray Diffractometer (XRD)

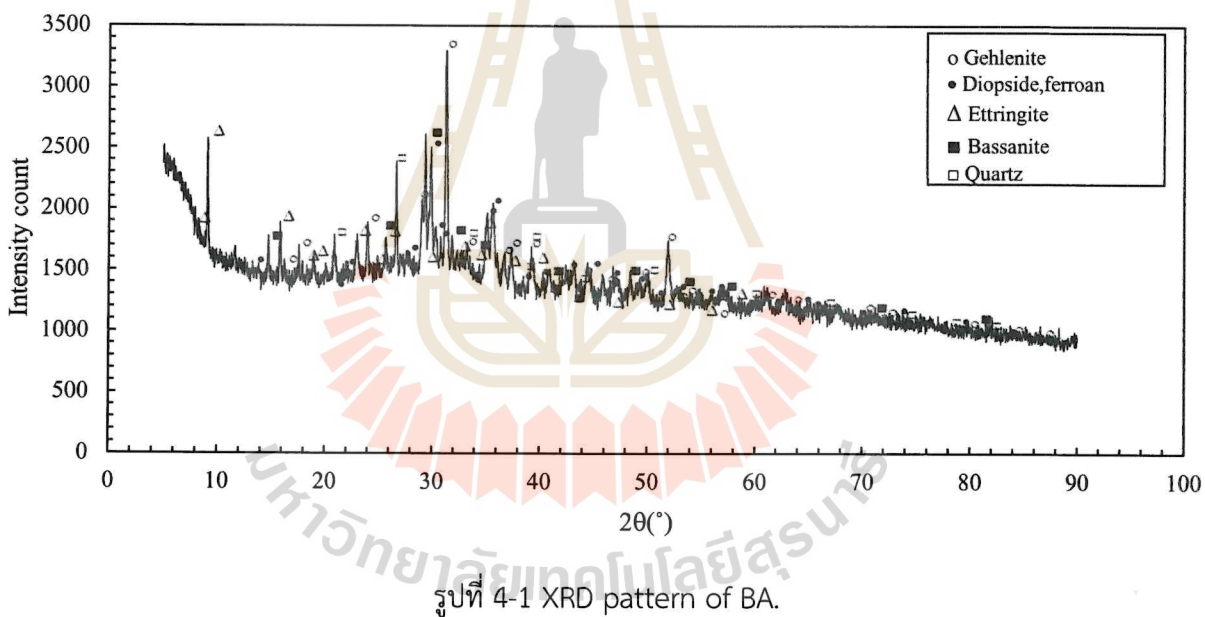
บทที่ 4

ผลการวิจัย

4.1 วัสดุที่ใช้ในงานวิจัย

4.1.1 เถ้ากันเตา (BA) จากโรงไฟฟ้าแม่เมฆ จังหวัดลำปาง

การทดสอบวิเคราะห์การเลี้ยวเบนของรังสีเอ็กซ์ X-ray Diffractometer (XRD) ของเถ้ากันเตาที่ร่อนผ่านตะแกรงเบอร์ 200 (0.075 มิลลิเมตร) แสดงดังรูปที่ 4-1 แสดงให้เห็นถึงของสารประกอบต่างๆที่อยู่ในเถ้ากันเตา เช่น Gehlenite, Diopside, ferroan, Ettringite, Bassanite, และ Quartz



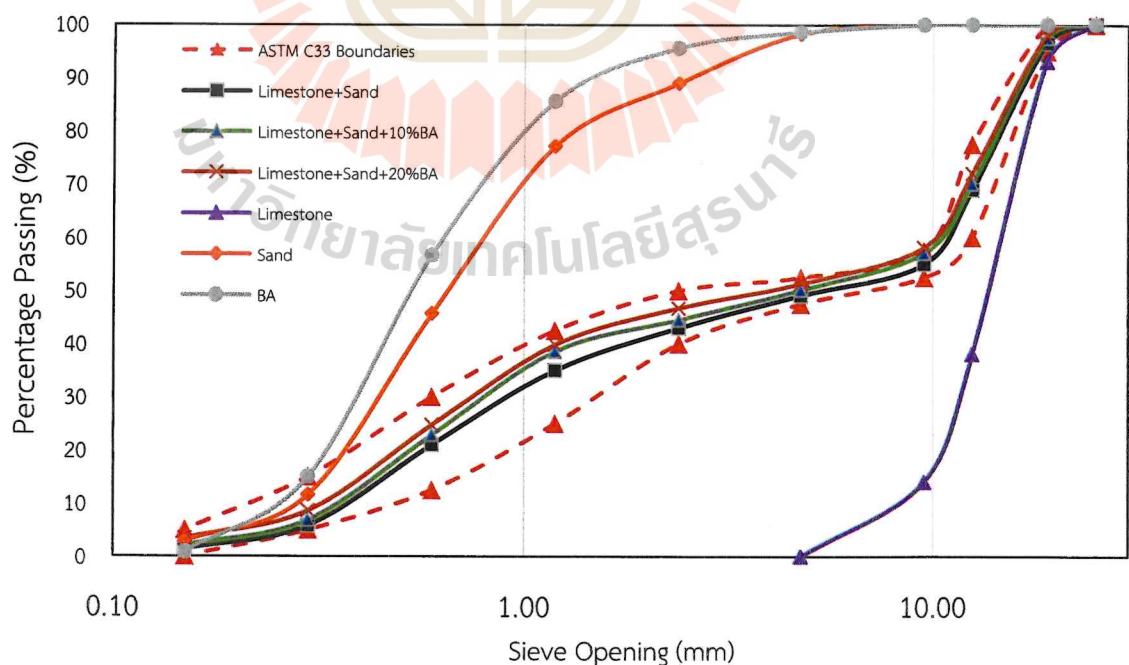
Components	OPC	BA
Silicon dioxide (SiO_2)	20.9	59.50
Aluminum oxide (Al_2O_3)	4.70	25.70
Iron oxide (Fe_2O_3)	3.40	6.07
Calcium oxide (CaO)	65.40	2.92
Magnesium oxide (MgO)	1.20	0.8
Sulfur trioxide (SO_3)	2.70	-
Loss on ignition (LOI)	0.90	2.20

ตารางที่ 4-1 Chemical composition of OPC and BA

BA ได้มาจากการเหมือนแม่เม้าท์ที่ตั้งอยู่ทางภาคเหนือของประเทศไทย นำไปผ่านเครื่องบดให้แห้งก่อน เพื่อขัดความชื้น จากนั้นจึงกรองผ่านตะแกรงขนาด 4.75 มม. เพื่อขัดอนุภาคขนาดใหญ่ และเพื่อให้แน่ใจว่ามีการกระจายขนาดที่สม่ำเสมอ BA มีความถ่วงจำเพาะของพื้นผิวแห้งอิ่มตัวที่ 2.30, ความถ่วงจำเพาะของแห้งที่ 2.10 และความหนาแน่นของแห้งที่ 1,200 กิโลกรัม/ลบ.ม. ค่าการดูดซึมน้ำ ปริมาณความชื้น และโมดูลัสความละเอียดของ BA เท่ากับ 1.50%, 2.50% และ 3.00 ตามลำดับ ตรวจสอบองค์ประกอบของสารเคมีและแร่ธาตุของ BA โดยใช้การวิเคราะห์ XRF และการเลี้ยวเบนรังสีเอกซ์ (XRD) ตามลำดับ ผลลัพธ์ XRF ตามรูปที่ 4-1 เปิดเผยว่า BA มีปริมาณซิลิคอนไดออกไซด์สูง (59.50%) ตามด้วยอะลูมิเนียมออกไซด์ (25.70%) และเหล็กออกไซด์ (6.07%) รูปแบบ XRD ของ BA ตามรูปที่ 4-1 明白ให้เห็นการมีอยู่ของเฟสหลักต่างๆ รวมถึงเก็ทเทลไนต์, เฟอร์โนนไดออกไซด์, เอติริงไฮต์, บา沙ชาไนต์ และควอตซ์

4.2 การทดสอบสมบัติพื้นฐานของวัสดุที่ใช้ในงานวิจัย

4.2.1 การนำวัสดุมาทดสอบมาตรฐานมวลรวมเฉพาะในงานคอนกรีตการกระจายของขนาดส่วนรวม (Sieve Analysis of Fine and Coarse Aggregates) มีขนาดตะแกรงตั้งนี้ ขนาด 9.50 มิลลิเมตร (3/8 นิ้ว) ขนาด 4.75 มิลลิเมตร (เบอร์ 4) ขนาด 2.36 มิลลิเมตร (เบอร์ 8) ขนาด 1.18 มิลลิเมตร (เบอร์ 16) ขนาด 0.60 มิลลิเมตร (เบอร์ 30) ขนาด 0.30 มิลลิเมตร (เบอร์ 50) และขนาด 0.15 มิลลิเมตร (เบอร์ 100)



รูปที่ 4-2 Gradation of studied aggregates.

จากการทดสอบสมบัติมาตรฐานของมวลรวมเฉพาะในงานคอนกรีต เมื่ออ้างอิงจาก American Society of Testing Materials ASTM C33: Specification for Concrete Aggregates ดังกราฟที่แสดงรูปที่ 4-2 พบว่าวัสดุที่ผสมเพื่อเตรียมผสม Limestone+Sand, Limestone +Sand10%BA และ Limestone+Sand20%BA อยู่ในขอบเขตมาตรฐาน ASTM C33 จึงสามารถนำไปเป็นวัสดุในงานคอนกรีตได้

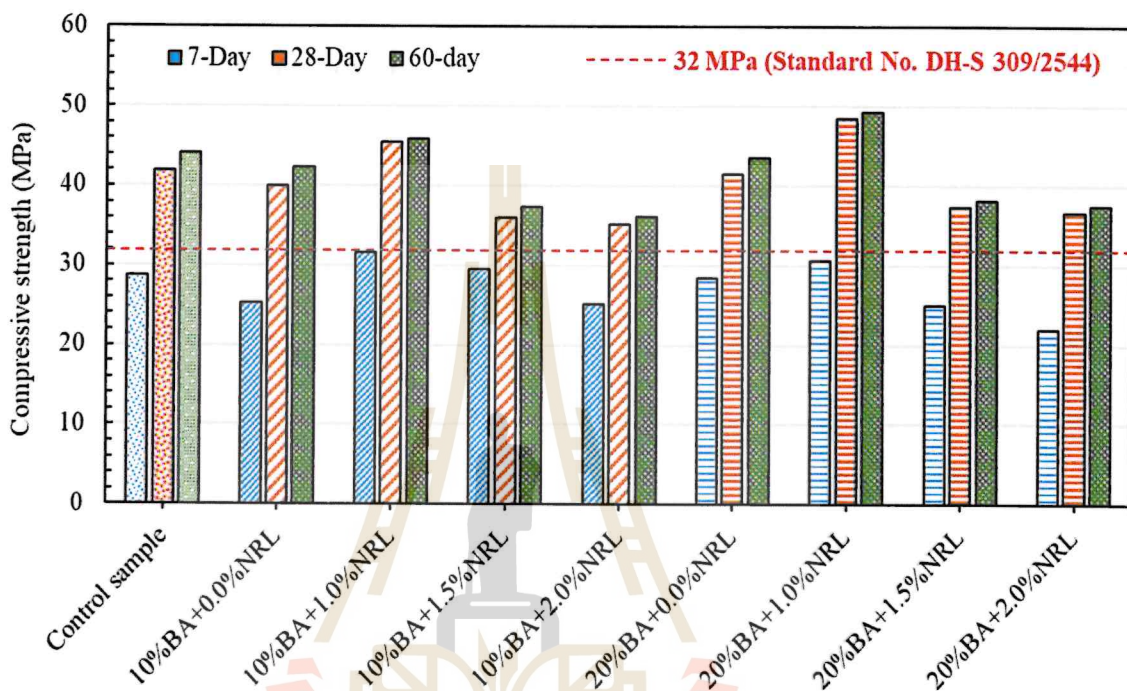
4.2.2 นำวัสดุมาทดสอบคุณสมบัติมวลรวมด้านกายภาพและวิศวกรรมของ coarse and fine aggregates พบว่า สมบัติของวัสดุดังกล่าวอยู่ในมาตรฐานทางด้านวิศวกรรมของ American Society of Testing Materials ASTM จึงสามารถนำวัสดุดังกล่าวมาใช้ในงานวิจัยได้ ดังตารางที่ 4-2

Properties	Coarse Aggregate		Fine Aggregate
	Limestone	Sand	BA
Maximum size aggregate (mm)	19	4.75	4.75
Saturated surface dry specific gravity	2.77	2.62	2.30
Dry specific gravity	2.47	2.60	2.10
Dry density (kg/m^3)	1634	1613	1200
Water absorption (%)	1.86	0.70	1.50
Moisture content (%)	0.98	0.48	2.50
Abrasion loss (%)	22.4	-	-
Fineness modulus	-	2.75	3.00

ตารางที่ 4-2 Physical and engineering properties of coarse and fine aggregates.

4.3 ผลสอบความต้านแรงอัดของแท่งคอนกรีต (Compressive Strength of Concrete)

4.3.1 ทดสอบหาค่าความต้านทานแรงอัดของแท่งลูกบาศก์คอนกรีตตัวอย่างขนาด $15 \times 15 \times 15$ ซม. ระยะเวลาบ่ม (Curing) 7, 28 และ 60 วัน



รูปที่ 4-3 Compressive strength results of studied concrete samples with various BA and NRL contents cured at 7, 28, and 60 days.

จากการทดสอบตัวอย่างคอนกรีตอย่างการบ่มคอนกรีตพบร่วม 7, 28 และ 60 วัน แสดงในรูปที่ 4-3 ตามที่คาดการณ์ทางทฤษฎีของระยะการบ่มคอนกรีตว่า การรับแรงอัดเพิ่มขึ้นตามอายุบ่มคอนกรีตที่เพิ่มขึ้น การให้น้ำอย่างต่อเนื่องของเชิเมน์ซจะมีผลต่อเนื่องต่อการรับแรงอัด เช่นกันและการพัฒนาโครงสร้างจุลภาคที่มีความหนาแน่นมากขึ้นเมื่อเวลาผ่านไป อทธิพลของ BA และ NRL มีผลต่อการพัฒนากำลังรับแรงอัดของคอนกรีต โดยการเปรียบเทียบประสิทธิภาพของส่วนผสมกับอัตราส่วนการแทนที่ BA และปริมาณ NRL ที่แตกต่างกัน ผลลัพธ์ยังถูกเปรียบเทียบกับข้อกำหนดขั้นต่ำ 32 MPa ที่กำหนดโดยกรมทางหลวง (DOH) (DHS309/2544)

การแทนที่ BA ในสัดส่วนของทรายที่ 10% และ 20% โดยไม่เติม NRL ส่งผลให้กำลังรับแรงอัดลดลงเมื่อเปรียบเทียบกับตัวอย่างคอนกรีต control ในช่วงอายุการบ่มที่ 28 วัน กำลังอัดของคอนกรีตที่มีการเปลี่ยน BA 10% และ 20% ลดลง 7.2% และ 14.5% ตามลำดับ เมื่อเปรียบเทียบกับตัวอย่าง control จะเห็นได้ว่าตัวอย่างคอนกรีตมีความแข็งแรงที่ลดลงประกอบกับความหนาแน่น

ที่ลดลงและความพรุนของ BA ที่สูงกว่าเมื่อเทียบกับรายชี่งทำให้พันธะระหว่างพื้นผิวระหว่างอนุภาค BA และเมทริกซ์ซีเมนต์อ่อนลงนอกจากนี้ รูปร่างและพื้นผิวที่ไม่เป็นตัวของอนุภาค BA อาจขัดขวางการบรรจุและการบดอัดคอนกรีตที่เหมาะสม ส่งผลให้โครงสร้างจุลภาคมีรูพรุนมากขึ้น และลดความแข็งแรงอย่างไรก็ตาม เป็นที่น่าสังเกตว่ากำลังอัดของคอนกรีตที่มีการเปลี่ยน BA 10% (36.2 MPa) ยังคงเป็นไปตามข้อกำหนดขั้นต่ำที่ 32 MPa ที่กำหนดโดยกรมทางหลวง (DHS309/2544) โดยส่วนผสมที่มีการเปลี่ยน BA 20% (33.8 MPa) นั้นสูงกว่าเกณฑ์เล็กน้อย

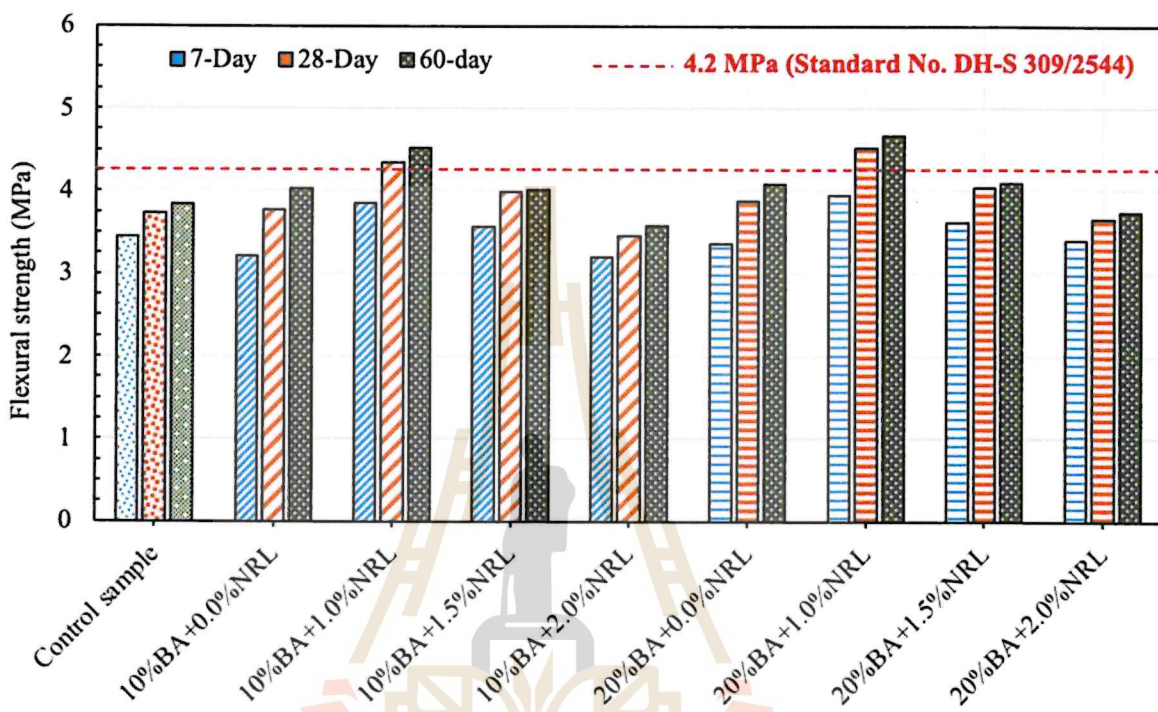
การรวมตัวกันของ NRL ในส่วนผสมคอนกรีตที่มี BA ส่งผลให้เกิดผลต่อกำลังรับแรงอัด ซึ่งตัวอย่างที่มี NRL ที่ 28 วัน กำลังอัดของคอนกรีตที่มีการเปลี่ยน BA 10% และ NRL 1.0% (10%BA+1.0%NRL) (43.68 MPa) สูงกว่าส่วนผสมที่สอดคล้องกันโดยไม่มี NRL (10%BA +0.0%NRL) (39.96 MPa) และตัวอย่าง Control (41.98 MPa) อย่างไรก็ตาม การเพิ่มปริมาณ NRL เพิ่มเติมเป็น 1.5% และ 2.0% ในส่วนผสมทดสอบ BA 10% กำลังรับแรงอัดลดลงเมื่อเปรียบเทียบกับส่วนผสมที่มี NRL 1.0% และต่ำกว่าตัวอย่าง Control แนวโน้มที่คล้ายกัน จะเห็นได้ว่าสำหรับของผสมที่มีการแทนที่ BA 20% โดยที่การเติม NRL 1.0% ส่งผลให้เกิดกำลังรับแรงอัดสูงสุด (42.20 MPa) ในบรรดาของผสมที่มี NRL ในขณะที่ปริมาณ NRL ที่สูงขึ้น (1.5% และ 2.0%) จะส่งผลต่อการพัฒนาความแข็งแกร่งในระยะยาวของส่วนผสมยังเห็นได้จาก ผลทดสอบกำลังรับแรงอัด 28 และ 60 วัน

การปรับปรุงกำลังอัดโดยเติม NRL 1.0% อาจเนื่องมาจากการความสามารถของคุณลักษณะ NRL ในการเพิ่มการกระจายความเด่นและกลไกการประสานการแตกกร้าวภายในเมทริกซ์คอนกรีต ลักษณะความยืดหยุ่นของอนุภาค NRL ช่วยลดดูดซับและกระจายความเด่นภายในเมทริกซ์คอนกรีต ลดการก่อตัวและการแพร่กระจายของรอยแตกขนาดเล็กอย่างไรก็ตาม การลดลงของความแรงที่ปริมาณ NRL ที่สูงขึ้น (1.5% และ 2.0%) จากผลทดสอบชี้ให้เห็นว่า NRL มีปริมาณที่เหมาะสมซึ่งเกินกว่านั้น NRL ที่มากเกินไปอาจทำให้เกิดช่องมากขึ้นและทำให้เมทริกซ์คอนกรีตอ่อนลง ปริมาณ NRL ที่สูงขึ้นอาจนำไปสู่การกัดกร่อนอากาศที่เพิ่มขึ้นและโครงสร้างจุลภาคที่มีรูพรุนมากขึ้น ซึ่งส่งผลเสียต่อกำลังรับแรงอัด

ในแง่ของการพัฒนาการรับกำลังของคอนกรีตในส่วนของการรับแรงอัดและแรงดึงด้วยการเพิ่มปริมาณการทดสอบ BA การรวมตัวของ NRL ในปริมาณที่เหมาะสมที่ 1.0% ช่วยปรับปรุงคุณสมบัติทางกลของส่วนผสมคอนกรีตตัดแปลงด้วย BA ได้อย่างมีนัยสำคัญ ส่วนผสม 10%BA+1.0%NRL และ 20%BA+1.0%NRL ไม่เพียงแต่ชดเชยส่วนผสมควบคุมเท่านั้น แต่ยังเป็นไปตามข้อกำหนดที่เข้มงวดสำหรับคอนกรีตงานทางที่กำหนดโดยกรมทางหลวง การค้นพบนี้เน้นย้ำถึงศักยภาพของการใช้คอนกรีต BA ที่ดัดแปลงด้วย NRL เป็นทางเลือกที่ยั่งยืนและมีประสิทธิภาพสูง

สำหรับการก่อสร้างทาง ซึ่งมีส่วนช่วยในการประเมินค่าของวัสดุเหลือใช้และการพัฒนาวิธีปฏิบัติในการก่อสร้างที่เป็นมิตรต่อสิ่งแวดล้อมต่อไป

4.3.2 ผลทดสอบความต้านแรงดึงของหัวคอนกรีต (Flexural Strength of Concrete)



รูปที่ 4-4 Flexural strength results of studied concrete samples with various BA and NRL contents cured at 7, 28, and 60 days.

จากผลการทดสอบตัวอย่าง รูปที่ 4-4 แสดงให้เห็นถึงกำลังรับแรงดึงของตัวอย่างคอนกรีตที่ศึกษาซึ่งมีปริมาณ BA และ NRL ต่างๆ ซึ่งได้รับการบ่มที่ 7, 28 และ 60 วัน BA และ NRL มีผลต่อการพัฒนาการกำลังรับแรงดึงของคอนกรีตได้รับการวิเคราะห์โดยการเปรียบเทียบสัดส่วนปริมาณระดับการเปลี่ยน BA และปริมาณ NRL ที่แตกต่างกัน ผลลัพธ์ยังได้รับการเปรียบเทียบกับข้อกำหนดขั้นต่ำ 4.2 MPa สำหรับกำลังรับแรงดึงของหัวคอนกรีตที่มีอายุการบ่ม 28 วัน ของข้อกำหนดกรมทางหลวง (DHS 309/2544)

พบว่าการแทนที่ทรายด้วย BA ที่ 10% และ 20% โดยไม่มีการเติม NRL ส่งผลให้เกิดผลกระทบที่แตกต่างกันต่อกำลังรับแรงดึงของหัวคอนกรีต Control ที่อายุการบ่มที่แตกต่างกัน ที่ 7 วัน ความต้านทานแรงดึงของหัวคอนกรีตที่มีการทดแทน BA 10% และ 20% เท่ากับ 3.21 MPa และ 3.37 MPa ตามลำดับซึ่งต่ำกว่าส่วนผสม Control (3.45 MPa) อย่างไรก็ตามที่ 28 และ 60 วัน ความต้านทานแรงดึงของหัวคอนกรีตที่มีส่วนผสมของ BA สูงกว่าของ Control เล็กน้อย โดย BA 10% มีความต้านทานแรงดึงของหัวคอนกรีตที่มีปริมาณ BA 20% อยู่ที่ 3.88 MPa และ 4.09 MPa ตามลำดับ ในขณะที่ตัวอย่างหัวคอนกรีตที่มีปริมาณ BA 20% อยู่ที่ 3.77 MPa และ 4.03 MPa ที่ 28 และ 60 วัน

ที่อายุการบ่มเท่ากัน ค่าเหล่านี้สูงกว่าคอนกรีต Control ซึ่งมีความมีความต้านทานแรงดึงดอ 3.73 MPa และ 3.85 MPa ที่ 28 และ 60 วัน ตามลำดับ ความต้านทานแรงดึงดอที่ดีขึ้นในภายหลังอาจเนื่องมาจากการปูนซิลิกาที่ BA ซึ่งนำไปสู่การก่อตัวของเจลแคลเซียมซิลิกเกต (C-S-H) เพิ่มเติม ส่งผลให้โครงสร้างจุลภาคหนาแน่นขึ้นและคุณสมบัติเชิงกลดีขึ้นนอกจากนี้พื้นผิวที่หยาบและรูปร่างเชิงมนุของอนุภาค BA ยังอาจช่วยให้ประสานได้ดีขึ้นและเพิ่มความแข็งแรงรับแรงดึงดอได้

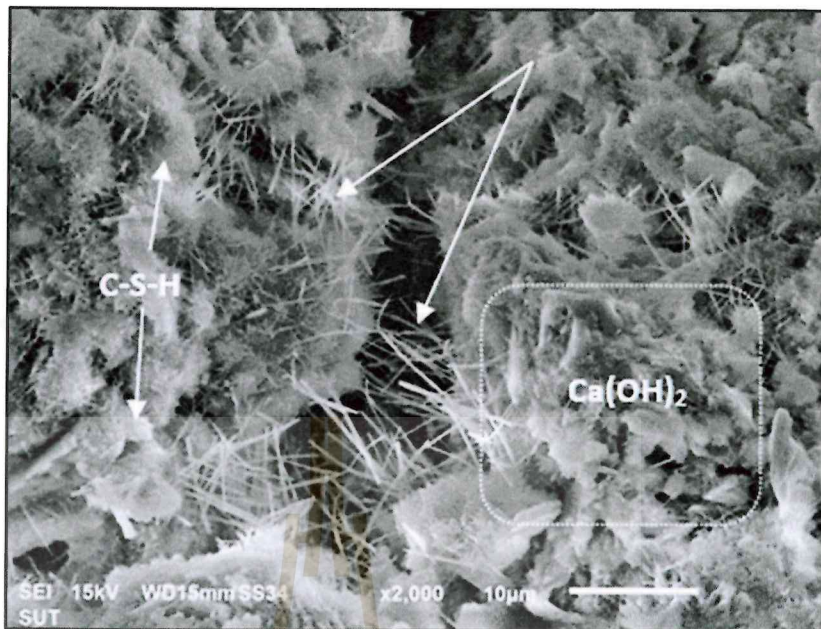
การรวม NRL กับคอนกรีตที่มีปริมาณ BA และคอนกรีต Control ส่งผลอย่างสำคัญในการรับแรงดึงดอ โดยจะเด่นชัดมากขึ้นที่อายุการบ่มที่สูงขึ้น ที่ 7 วัน สารผสมทดแทน BA 10% และ 20% ที่มี NRL 1.0% ($10\%BA + 1.0\%NRL$ และ $20\% + 1.0\%NRL$) ได้รับความต้านทานแรงดึงดอที่ 3.85 MPa และ 3.95 MPa ตามลำดับ ซึ่งสูงกว่าค่าที่มีส่วนผสมของ BA ในคอนกรีตแต่ไม่มี NRL และคอนกรีต Control

ที่อายุ 28 และ 60 วัน อิทธิพลเชิงบวกของ NRL ต่อความต้านทานแรงดึงดອมีความชัดเจนมากขึ้น ตัวอย่างคอนกรีต $10\%BA + 1.0\%NRL$ มีความต้านทานแรงดึงดอ 4.35 MPa และ 4.53 MPa ที่ 28 และ 60 วัน ตามลำดับ ตัวอย่างคอนกรีตของ $20\%BA + 1.0\%NRL$ มีความต้านทานแรงดึงดอ 4.55 MPa ที่ 28 วันและ 4.67 MPa ที่ 60 วัน ตัวอย่างคอนกรีตที่มี NRL เหล่านี้แสดงประสิทธิภาพที่ดีกว่าส่วนผสมที่ไม่มี NLR และเกินข้อกำหนดขั้นต่ำที่ 4.2 MPa ที่กำหนดโดยกรมทางหลวงกำลังรับแรงดึงดอ 28 วันของคอนกรีตสำหรับงานทาง

การปรับปรุงกำลังรับแรงดึงดอด้วยการเติม NRL อาจเนื่องมาจากความสามารถของพฤษติกรรม NRL ในการปรับปรุงการถ่ายเทความเค้นแรงดึงและกลไกการเชื่อมรอยร้าวภายในเมทริกซ์คอนกรีต ลักษณะความยืดหยุ่นของ NRL ช่วยกระจายความเค้นแรงดึงและความคุ้มการแพร์ร��이ซ์ของรอยแตกขนาดเล็ก ส่งผลให้ประสิทธิภาพการดึงดอดีขึ้น ยิ่งไปกว่านั้น การมีอยู่ของ NRL อาจปรับปรุงพันธะระหว่างอนุภาคร่วมและซีเมนต์เพสต์ ส่งผลให้โครงสร้างจุลภาคมีความเหนียวและยืดหยุ่นมากขึ้น สิ่งสำคัญที่ควรทราบคือแม้ว่าปริมาณ NRL ที่สูงขึ้น (1.5% และ 2.0%) ยังปรับปรุงความแข็งแรงของแรงดึงดอเมื่อเปรียบเทียบกับของผสมที่ไม่มี NRL แต่การปรับปรุงนั้นไม่มีนัยสำคัญเท่ากับที่สังเกตด้วย NRL 1.0% สิ่งนี้เป็นการยืนยันการมีอยู่ของปริมาณ NRL ที่เหมาะสม ซึ่งเกินกว่านั้นประโยชน์ด้านความต้านทานแรงดึงดอจะลดลง

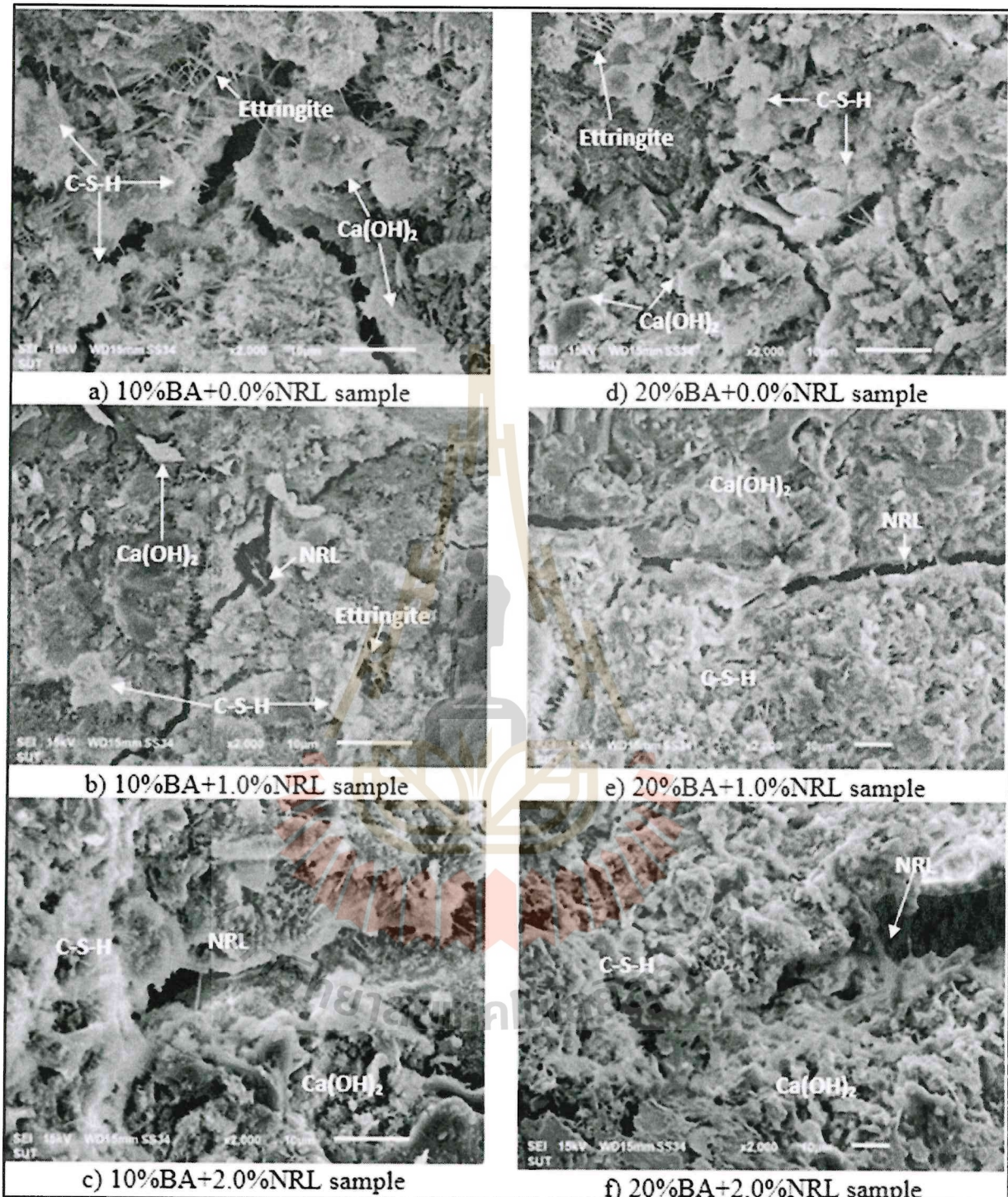
4.4 การวิเคราะห์โครงสร้างจุลภาค (Microstructural Analysis)

คุณสมบัติทางโครงสร้างจุลภาคของคอนกรีตมีบทบาทสำคัญในการพิจารณาประสิทธิภาพทางกลการวิเคราะห์โครงสร้างระดับจุลภาคโดยใช้ SEM ให้ข้อมูลเชิงลึกของโครงสร้างภายในของคอนกรีต Control และคอนกรีต BA ที่ปรับปรุงด้วย NRL



รูปที่ 4-5 SEM image of a control sample.

รูปที่ 4-5 แสดงภาพ SEM ของส่วนผสมของคอนกรีต Control ที่ถูกบ่มที่ 28 วัน โครงสร้างจุลภาคของส่วนผสมควบคุมเผยแพร่ให้เห็นถึงการมีอยู่ของผลิตภัณฑ์ไฮเดรตซึ่งรวมถึงแคลเซียมซิลิกเกตไฮเดรต C-S-H และแคลเซียมไฮดรอกไซด์ $\text{Ca}(\text{OH})_2$ และเอตทริจไธเทต ภาพ SEM แสดงเมทริกซ์ที่มีความหนาแน่น ไม่มีรูปร่าง และเชื่อมต่อถึงกัน ซึ่งมีส่วนช่วยในการสนับสนุนโครงสร้างของคอนกรีต เอตทริจไธเทตเป็นคริสตัลคล้ายเข็ม มีบทบาทสำคัญในการพัฒนาがらถังแต่เริ่มต้นของคอนกรีต และมีส่วนช่วยในกระบวนการแข็งตัวและการแข็งตัวของคอนกรีต การก่อตัวของ C-S-H เป็นผลมาจากการปฏิกิริยาไฮเดรตซึ่งระหว่างอนุภาคของซีเมนต์กับน้ำ ทำให้เกิดโครงสร้างจุลภาคที่แข็งแกร่งและเหนียวแน่น $\text{Ca}(\text{OH})_2$ หรือปอร์ตแลนด์ไฮเดรตเป็นผลิตภัณฑ์อีกชนิดหนึ่งที่กระจายไปทั่วเมทริกซ์ซีเมนต์ ซึ่งสามารถมีส่วนร่วมในปฏิกิริยาทุติยภูมิที่อาจก่อตัวเป็น C-S-H เพิ่มเติมเมื่อมีวัสดุป้องโคลนอยู่



ຮູບທີ 4-6 SEM images: a) 10%BA+0.0%NRL, b) 10%BA+1.0%NRL, c) 10%BA+2.0%NRL,
d) 20%BA+0.0%NRL, e) 20%BA+1.0%NRL, f) 20%BA+2.0%NRL.

รูปที่ 4-6 แสดงภาพ SEM ของส่วนผสมคอนกรีตที่รวม BA ไว้เป็นการทดสอบบางส่วน สำหรับทรัพย์ที่ 10% และ 20% โดยปริมาตร โดยมีและไม่มีการเติมน RL ที่ขนาด 1.0% และ 2.0% โดยน้ำหนักของซีเมนต์ ภาพเหล่านี้ให้ข้อมูลเชิงลึกที่มีความสำคัญเกี่ยวกับการเปลี่ยนแปลงโครงสร้าง จุลภาคที่เกิดจากการรวมตัวกันของ BA และ NRL ในเมท里ค์คอนกรีต

ภาพ SEM ของคอนกรีตผสม BA ที่ไม่มี NRL (รูปที่ 6a และ 6d) เผยให้เห็นโครงสร้างจุลภาค ที่คล้ายคลึงกับของส่วนผสม Control โดยมี C-S-H, Ca(OH)₂ และอติริ่งไทร์ปาราฟูอยู่ อย่างไรก็ตาม การรวมตัวกันของ BA ดูเหมือนจะส่งผลให้เกิดโครงสร้างจุลภาคที่มีรูพรุนและต่างกันเล็กน้อย เล็กน้อยเมื่อเปรียบเทียบกับส่วนผสม Control นี้อาจเป็นเพราะปฏิกิริยาปอชโซลานิกระหว่าง BA และแคลเซียมไฮดรอกไซด์ ซึ่งก่อตัวเป็น C-S-H เพิ่มเติม แต่ยังคงไปสู่โครงสร้างจุลภาคที่ต่างกันมาก ขึ้นอีกด้วย โครงสร้างจุลภาคที่มีรูพรุนและต่างกันมากขึ้นที่พบในส่วนผสมคอนกรีต BA ที่ไม่มี NRL มีส่วนทำให้กำลังรับแรงอัดและแรงตึงดึงลดลง ดังแสดงในรูปที่ 4-3 และ 4-4

รูปภาพ SEM ของคอนกรีตผสม BA ที่ตัดแปลงโดย NRL (รูปที่ 6b, 6c, 6e และ 6f) แสดง การเปลี่ยนแปลงโครงสร้างจุลภาคที่สำคัญเมื่อเปรียบเทียบกับคอนกรีตผสม BA ที่ไม่มี NRL ส่วนผสม คอนกรีต BA ที่มีส่วนผสม NRL (10%BA+1.0%NRL และ 20%BA+1.0%NRL) บ่งชี้ว่ามีโครงสร้าง จุลภาคที่หนาแน่นกว่าและกะทัดรัดกว่าโดยมีความพรุนลดลงเมื่อเปรียบเทียบกับคอนกรีตผสม BA ที่ไม่มี NRL การก่อตัวของ C-S-H ดูเหมือนจะกว้างขวางกว่าและมีการกระจายตัวดีขึ้น เมื่อเทียบกับ คอนกรีตผสม BA ที่ไม่มี NRL

นอกจากนี้ การรวม NRL ในส่วนผสมคอนกรีต BA ส่งผลให้เกิดการก่อตัวของฟิล์ม NRL บางๆ ในเมท里ค์คอนกรีต ฟิล์ม NRL เหล่านี้มีบทบาทสำคัญในการปรับปรุงพันธะระหว่างพื้นผิว ระหว่างอนุภาคน้ำหนัก BA และซีเมนต์เพสต์ นำไปสู่โครงสร้างจุลภาคที่เหนียวแน่นและกะทัดรัดมากขึ้น ข้อมูลการค้นพบเหล่านี้มีการรายงานไว้ในงานก่อนหน้าเกี่ยวกับซีเมนต์เพสต์ตัดแปลงด้วย NRL พันธะระหว่างพื้นผิวที่เพิ่มขึ้นอาจเนื่องมาจากการเข้ากันได้ทางเคมีและแรงดึงดูดระหว่างฟิล์ม NRL และผลิตภัณฑ์ซีเมนต์ไฮเดรชัน กลไกการยึดเกาะและการเชื่อมประสานที่ดีขึ้นในมวลรวมและเมทريคซีเมนต์ ช่วยเพิ่มคุณสมบัติเชิงกล เช่น แรงอัดและกำลังรับแรงดัด (รูปที่ 4-3 และ 4-4) โดยการสร้าง เครือข่ายที่แข็งแกร่งและเหนียวแน่นภายในคอนกรีต

นอกจากนี้ ฟิล์ม NRL ยังทำหน้าที่เป็นตัวดูดซับความเครียดและจัดร้อยแทรกร้าวภายในเมท ริกซ์คอนกรีต เมื่อคอนกรีตถูกรับน้ำหนัก ฟิล์ม NRL สามารถเปลี่ยนรูปและยืดตัวได้ โดยดูดซับความ เก็บและกระจายไปทั่วเมทrix กลไกนี้ช่วยป้องกันการเริ่มต้นและการแพร่กระจายของรอยแตกขนาดเล็ก ซึ่งนำไปสู่ความเหนียวและความทนทานที่ดีขึ้นของคอนกรีต BA ที่ตัดแปลงด้วย NRL ซึ่งให้ ประโยชน์เมื่อใช้เป็นวัสดุปูพื้นทางแบบแข็งภายใต้การรับน้ำหนักแบบกด

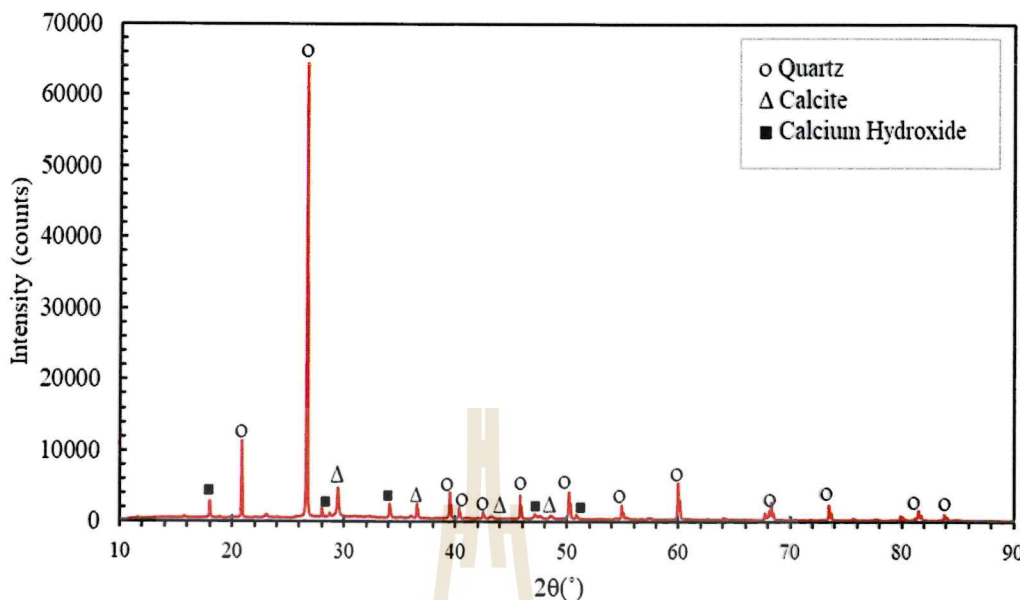
เมื่อเปรียบเทียบโครงสร้างจุลภาคของส่วนผสม 10%BA+1.0%NRL และ 20%BA+1.0%NRL (รูปที่ 4-6 b และ e) สังเกตได้ว่าส่วนผสม 20%BA+1.0%NRL มีความหนาแน่นมากกว่า เล็กน้อยและเป็นโครงสร้างจุลภาคที่เป็นเนื้อเดียวกันมากกว่า ส่วนผสม 10%BA+1.0%NRL การสังเกตนี้สอดคล้องกับกำลังรับแรงอัดและแรงดึงอ่อนตัวสูงขึ้นเล็กน้อยที่รายงานสำหรับส่วนผสม 20%BA+1.0%NRL เมื่อเปรียบเทียบกับส่วนผสม 10%BA+1.0%NRL โครงสร้างจุลภาคและคุณสมบัติเชิงกลที่ได้รับการปรับปรุงของส่วนผสม 20%BA+1.0%NRL เป็นผลมาจากการผสมผสาน BA และ NRL อย่างเหมาะสม ซึ่งส่งผลกระทบเสริมฤทธ์กันต่อกระบวนการเติมน้ำและการพัฒนาเมทริกซ์ซีเมนต์ที่แข็งแรงและกระหึ่ด

แม้ว่าการรวม NRL ในปริมาณที่เหมาะสม (1.0% โดยน้ำหนักของซีเมนต์) จะช่วยปรับปรุงโครงสร้างจุลภาคและคุณสมบัติทางกลของคอนกรีตผสม BA แต่ปริมาณ NRL ที่มากเกินไป (2.0% โดยน้ำหนักของซีเมนต์) อาจทำให้ความแข็งแรงลดลงได้ การลดความแข็งแรงนี้สามารถนำมาประกอบกับการก่อตัวของฟิล์ม NRL ที่ใหญ่ขึ้นและมีจำนวนมากขึ้นในเมทริกซ์ซีเมนต์ ปริมาณ NRL ที่มากเกินไปอาจส่งผลให้เกิดการรวมตัวกันของอนุภาค NRL และการก่อตัวของฟิล์ม NRL ที่ใหญ่ขึ้น

ซึ่งอาจระบุถึงความต่อเนื่องของเมทริกซ์ซีเมนต์และสร้างโฉนที่อ่อนแอได้ บริเวณที่อ่อนแอเหล่านี้สามารถทำหน้าที่เป็นความเข้มข้นของความเครียดและตำแหน่งที่อาจเกิดรอยแตกร้าว ส่งผลให้ความแข็งแรงโดยรวมของคอนกรีตลดลง การค้นพบนี้เน้นถึงความสำคัญของการปรับปรุง NRL ให้เหมาะสมเพื่อให้บรรลุความสมดุลที่ต้องการระหว่างการปรับปรุงโครงสร้างจุลภาคและสมรรถนะทางกลในคอนกรีตผสม BA ที่ดัดแปลงด้วย NRL เมื่อใช้เป็นวัสดุการทาง

4.5 การวิเคราะห์แร่วิทยา (Mineralogical Analysis)

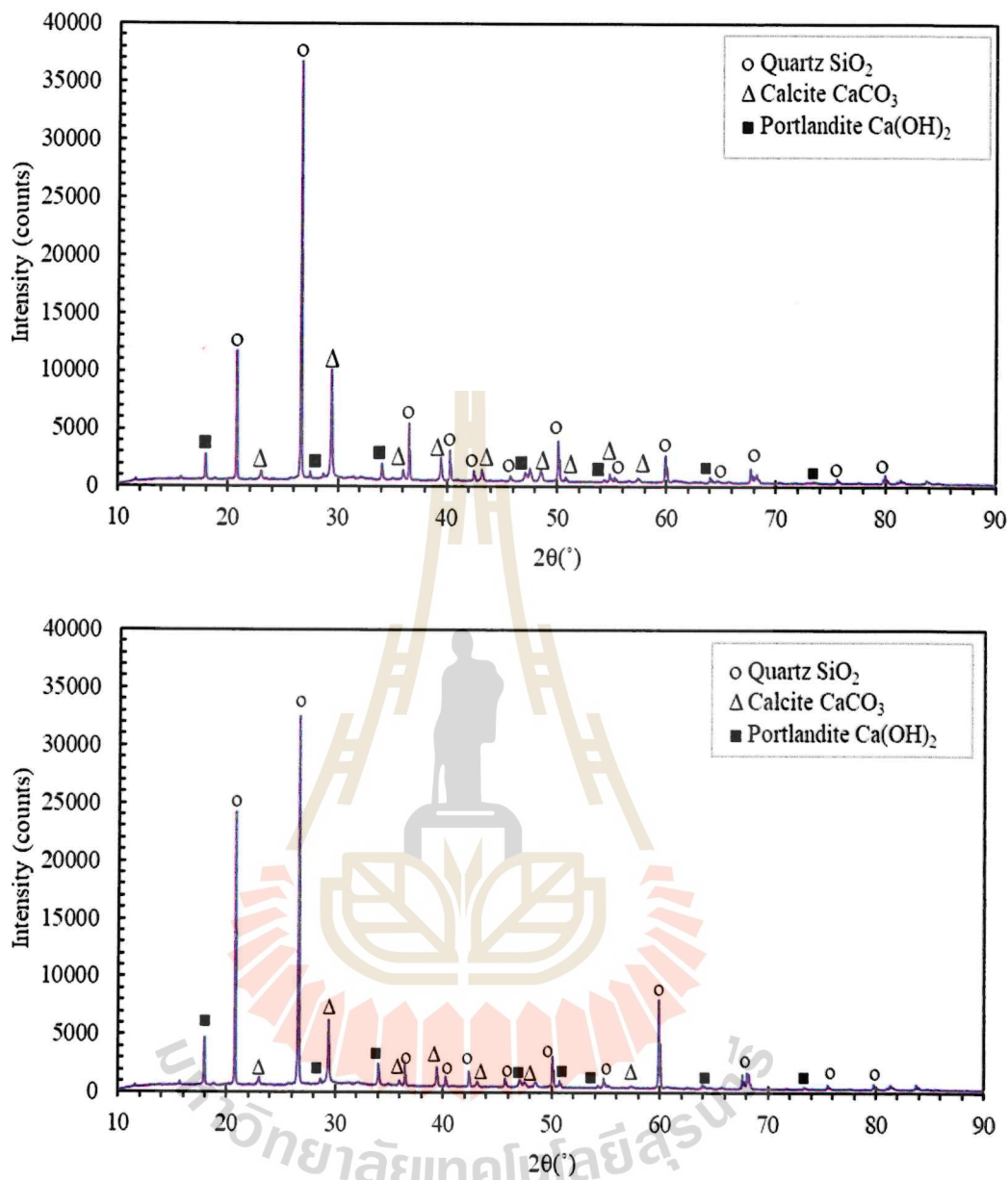
การวิเคราะห์การลี้ยาบนรังสีเอกซ์ (XRD) ให้ข้อมูลเชิงลึกในรายละเอียดเกี่ยวกับเฟสผลึกที่มีอยู่ในวัสดุประสาน ซึ่งบ่งชี้ถึงปฏิกิริยาทางเคมีที่เกิดขึ้นในระหว่างกระบวนการไฮเดรชันและการเสื่อมสภาพที่ตามมาของคอนกรีต เทคนิค XRD ถูกนำมาใช้เพื่อประเมินองค์ประกอบเฟสผลึกของส่วนผสม Control และส่วนผสมคอนกรีตดัดแปลง NRL ที่ดัดแปลงด้วย 10%BA และ 20%BA และปริมาณ NRL ที่แตกต่างกัน



รูปที่ 4-7 XRD pattern of a control sample.

รูปที่ 4-7 แสดงรูปแบบ XRD ของส่วนผสม Control ที่ 28 วันของการบ่ม การวิเคราะห์ XRD เผยให้เห็นการมีอยู่ของเฟสผลึกหلامัยเฟสในเมทริกซ์ซีเมนต์ พีคหลักที่ระบุในรูปแบบ XRD สอดคล้องกับควอตซ์ (SiO_2) แคลไซต์ (CaCO_3) และแคลเซียมไฮดรอกไซด์ (Ca(OH)_2)

ควอตซ์เป็นแร่ธาตุที่สำคัญในมวลรวมตามธรรมชาติ เช่น รายละเอียดในการผลิตคอนกรีต การมีอยู่ของพีคควอตซ์ในรูปแบบ XRD ของส่วนผสมควบคุมบ่งชี้ถึงการรวมตัวของมวลรวมซิลิกาในการออกแบบส่วนผสมคอนกรีต แคลไซต์เป็นรูปแบบผลึกของแคลเซียมคาร์บอนेट และการมีอยู่ของพีคของแคลไซต์ในรูปแบบ XRD บ่งชี้ว่าอาจเกิดการบ่อนไดออกไซด์ในระดับหนึ่งในส่วนผสมควบคุมในระหว่างกระบวนการบ่ม แคลเซียมไฮดรอกไซด์ (ปอร์ตแลนด์) เป็นผลิตภัณฑ์ที่ความชุ่มชื้นเบื้องต้นของปูนซีเมนต์ปอร์ตแลนด์ การมีอยู่ของพีคของแคลเซียมไฮดรอกไซด์ในรูปแบบ XRD แสดงให้เห็นถึงความก้าวหน้าของการเพิ่มความชุ่มชื้นของซีเมนต์ และมีส่วนช่วยในการพัฒนาความแข็งแรงของส่วนผสมควบคุม รูปแบบ XRD ของส่วนผสมควบคุมทำหน้าที่เป็นเกณฑ์มาตรฐานสำหรับการเปรียบเทียบเฟสผลึกและความเข้มสัมพัทธ์ของเฟสนั้นกับเฟสของผสมคอนกรีต BA ดัดแปลงด้วย NRL



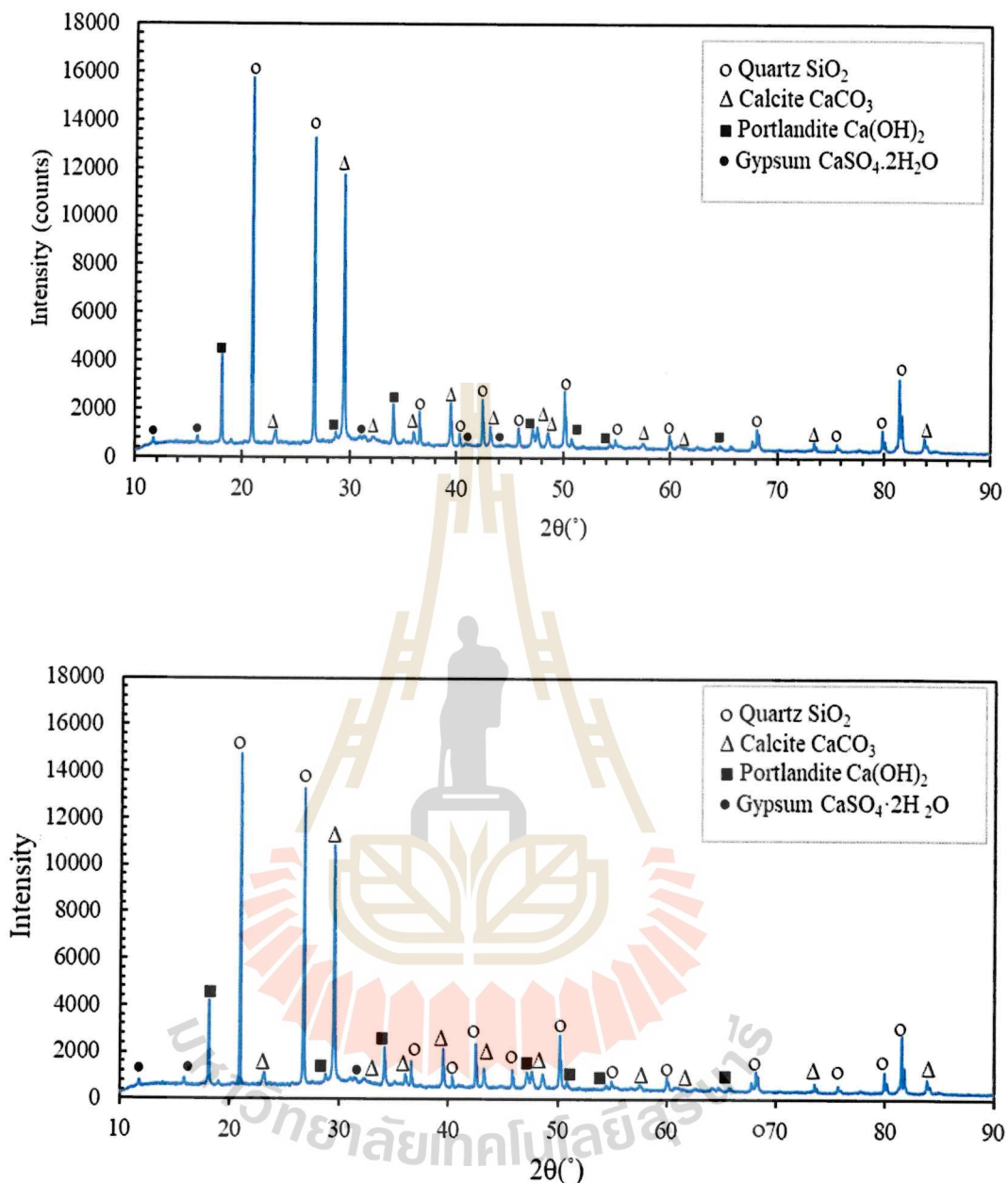
รูปที่ 4-8 XRD pattern of a) 10%BA+1.0%NRL sample, b) 10%BA+2.0%NRL sample.

รูปที่ 4-8 แสดงรูปแบบ XRD ของส่วนผสมคอนกรีตที่ผสม BA 10% เพื่อทดสอบทรายเม่น้ำ และ NRL บางส่วนที่ปริมาณ 1.0% และ 2.0% โดยน้ำหนักของซีเมนต์ ตามลำดับ รูปแบบ XRD ของ ส่วนผสม 10%BA+1.0%NRL (รูปที่ 8a) และ 10%BA+2.0%NRL (รูปที่ 8b) แสดงเฟสผลึกคล้ายกับ ส่วนผสมควบคุม ซึ่งรวมถึงควอตซ์ แคลไซด์ และพอร์ตแลนด์ไซด์ อย่างไรก็ตาม สามารถสังเกตความแตกต่างบางประการในความเข้มสัมพัทธ์ของยอดเขาได้

ในรูปแบบ XRD ของส่วนผสม 10%BA+1.0%NRL (รูปที่ 8a) ความเข้มของพีคค่าอตซ์ต่ำกว่าส่วนผสม Control เล็กน้อย ความเข้มของค่าอตซ์ที่ลดลงนี้สามารถนำมาประกอบกับการแทนที่ทรายแม่น้ำด้วย BA บางส่วน ซึ่งมีองค์ประกอบทางเคมีที่แตกต่างกัน การมี BA ในส่วนผสมอาจทำให้ปริมาณค่าอตซ์เพิ่มขึ้น ส่งผลให้ความเข้มข้นสูงสุดลดลง

ยอดพีคแคลไซต์ในส่วนผสม 10%BA+1.0%NRL ดูเหมือนจะเข้มข้นกว่าเล็กน้อยเมื่อเปรียบเทียบกับส่วนผสม Control ความเข้มข้นของแคลไซต์ที่เพิ่มขึ้นนี้อาจเกิดจากการมีแคลเซียมคาร์บอเนตอยู่ใน BA หรืออิทธิพลที่เป็นไปได้ของผลิตภัณฑ์ชีเมนต์ไฮเดรชัน ซึ่งนำไปสู่การก่อตัวของแคลไซต์เพิ่มเติม ความเข้มของพีคปอร์ตแลนไดต์ใน 10%BA+1.0%NRL เป็นไปตามที่คาดไว้ เนื่องจากปริมาณ BA และ NRL ในปริมาณเหล่านี้ส่งผลกระทบต่อการก่อตัวของแคลเซียมไฮดรอกไซด์ในระหว่างการให้ความชุ่มชื้นและการพัฒนาความแข็งแรงของชีเมนต์

ในรูปแบบ XRD ของ 10%BA+2.0%NRL (รูปที่ 8b) ความเข้มของพีคของค่าอตซ์ แคลไซต์ และพอร์ตแลนไดต์ดูเหมือนจะต่ำกว่าเมื่อเทียบกับส่วนผสม 10%BA+1.0%NRL การลดความเข้มข้นสูงสุดนี้อาจเป็นผลมาจากการปริมาณ NRL ที่สูงขึ้นในส่วนผสม ปริมาณ NRL ที่มากเกินไปในส่วนผสม NRL 2.0% อาจขัดขวางการก่อตัวและการเจริญเติบโตที่เหมาะสมของเฟสผลึก เช่น ปอร์ตแลนไดต์และแคลไซต์ ซึ่งจำเป็นสำหรับการพัฒนาความแข็งแรงแกร์ก



รูปที่ 4-9 XRD pattern of a) 20%BA+1.0%NRL sample, b) 20%BA+2.0%NRL sample.

รูปที่ 4-9 แสดงรูปแบบ XRD ของผสมคอนกรีต 20%BA ดัดแปลง NRL ที่ขนาดใช้ 1.0% และ 2.0% NRL พีคิยปั๊ม ($\text{CaSO}_4 \cdot 2\text{H}_2\text{O}$) ถูกตรวจสอบอย่างเด่นชัดในรูปแบบ XRD ของของผสม 20%BA เมื่อเปรียบเทียบกับส่วนผสม 10%BA การก่อตัวของยิปซั่มในส่วนผสม BA 20% อาจเกิดจากการทดแทน BA ในเบอร์เซ็นต์ที่สูงกว่า ซึ่งอาจเพิ่มความพร้อมใช้ของชัลเฟตในเมทริกซ์ซีเมนต์ (An et al., 2017; Gencel et al., 2021) การมีอยู่ของ ยิปซั่มในส่วนผสม 20%BA+1.0%NRL (รูปที่ 4-9 a) อาจส่งผลให้คุณสมบัติทางกลของคอนกรีตดีขึ้น

ยอดพีคิยิปซั่มในส่วนผสม 20%BA+1.0%NRL มีความโดดเด่นมากกว่าเมื่อเปรียบเทียบกับส่วนผสม 20%BA+2.0%NRL ซึ่งบ่งชี้ว่าปริมาณ 1.0%NRL อาจช่วยให้เกิดปริมาณยิปซั่มที่เหมาะสมที่สุด ซึ่งอาจมี มีส่วนทำให้คุณสมบัติความแข็งแกร่งเพิ่มขึ้น ในทางกลับกัน รูปแบบ XRD ของส่วนผสม 20%BA+2.0% NRL (รูปที่ 4-9 b) แสดงความเข้มข้นที่ต่ำกว่าของพีคของคอนกรีต แคลไซต์ และปอร์ตแลนด์ไดต์ เมื่อเปรียบเทียบกับส่วนผสม 20% BA+1.0% การลดลงของความเข้มสูงสุดนี้ สามารถนำมาประกอบกับผลการรับกวนของปริมาณ NRL ส่วนเกิน (เกินปริมาณ NRL ที่เหมาะสม 1.0%) บนเฟสพลีก ตามที่อภิรายไว้ก่อนหน้านี้ ส่งผลให้กำลังรับแรงอัดและแรงดึงของคอนกรีตผสม BA ที่มีปริมาณ NRL สูงกว่าลดลง

เมื่อเปรียบเทียบส่วนผสม BA 20% กับส่วนผสม BA 10% จะเห็นได้ชัดว่าการรวมตัวของ BA ในเปอร์เซ็นต์ที่สูงกว่า (20%) มือทริพลต่อการก่อตัวของยิปซั่ม ซึ่งไม่มีอยู่ในส่วนผสม 10% BA การมีอยู่ของยิปซั่มในส่วนผสม 20%BA โดยเฉพาะอย่างยิ่งในส่วนผสม 20%BA+1.0%NRL อาจมีบทบาทในการปรับปรุงคุณสมบัติทางกลของคอนกรีต นอกจากนี้ รูปแบบ XRD ของของผสม 10%BA แสดงการลดลงที่เด่นชัดมากขึ้นในความเข้มข้นสูงสุดเมื่อขนาดการใช้ NRL ถูกเพิ่มขึ้นจาก 1.0% ถึง 2.0% เมื่อเปรียบเทียบกับของผสม 20% BA สิ่งนี้แสดงเป็นนัยว่าผลการรับกวนของ NRL ที่มากเกินไปต่อเฟสพลีกอาจมีนัยสำคัญมากกว่าในของผสม 10% BA ซึ่งนำไปสู่ การลดลงในคุณสมบัติความแข็งแรงที่สูงขึ้นเล็กน้อยเมื่อขนาดยา NRL เพิ่มขึ้น

จากการวิเคราะห์ทางจุลโครงสร้างและแร่วิทยา พบร่วมกันว่าการแทนที่ BA และปริมาณ NRL เพิ่มเติมมีความโดดเด่นในการมือทริพลต่อคุณสมบัติทางจุลภาคและคุณสมบัติทางกลของคอนกรีต BA ที่ดัดแปลงด้วย NRL พบร่วมกันว่าปริมาณ NRL ที่เหมาะสมที่สุด 1.0% ให้ผลผลิตความแข็งแรงเชิงกลสูงสุดในบรรดาของ NRL ปริมาณทั้งหมด สำหรับทั้งส่วนผสม 10%BA และ 20% นอกจากนี้ การผสมผสานที่เหมาะสมที่สุดของระดับการแทนที่ BA (20%) และปริมาณการใช้ NRL (1.0%) ในการผสม 20%BA+1.0%NRL ส่งผลให้เกิดโครงสร้างจุลภาคที่ได้รับการพัฒนาอย่างดี ดังที่เห็นได้จากเมทริกซ์หนาแน่นในภาพ SEM และคุณสมบัติที่สมดุลของเฟสพลีกสำคัญในรูปแบบ XRD การคันพนนี้แสดงให้เห็นถึงศักยภาพในการปรับเนื้อหา BA และ NRL ให้เหมาะสมเพื่อให้ได้คุณสมบัติเชิงกลที่เหนือกว่าในส่วนผสมคอนกรีต BA ที่ดัดแปลงด้วย NRL

บทที่ 5

สรุปผลการวิจัยและข้อเสนอแนะ

5.1 บทสรุป (Conclusion)

การศึกษานี้ ศึกษาผลกระทบของการใช้ถ้ากันเตา (BA) เพื่อทดแทนทรายแม่น้ำและน้ำยางธรรมชาติ (NRL) บางส่วนเพื่อเป็นตัวปรับคุณสมบัติทางกลและโครงสร้างจุลภาคของคอนกรีตในงานผิวทางแบบแข็งที่ยั่งยืน ผลลัพธ์แสดงให้เห็นถึงศักยภาพของการใช้คอนกรีต BA ที่ดัดแปลงด้วย NRL เป็นทางเลือกที่เป็นมิตรกับสิ่งแวดล้อมและมีประสิทธิภาพสูงแทนคอนกรีตทั่วไปในการก่อสร้างทางเท้า ข้อค้นพบที่สำคัญจากการวิจัยครั้งนี้สรุปได้ดังนี้

5.1.1 กำลังรับแรงอัดของคอนกรีต BA ลดลงเมื่อมีปริมาณ BA เพิ่มขึ้น ในขณะที่การผสม NRL ในปริมาณที่เหมาะสม 1.0% ช่วยเพิ่มกำลังรับแรงอัดของห้องส่วนผสม 10%BA และ 20%BA อย่างมีนัยสำคัญ การเพิ่ม NRL ช่วยเพิ่มความแข็งแรงในการรับแรงดึงด้วย โดยส่วนผสม 10%BA+1.0%NRL และ 20%BA+1.0%NRL แสดงประสิทธิภาพที่เหนือกว่าเมื่อเปรียบเทียบกับส่วนผสมที่ไม่มี NRL และส่วนผสม Control ที่ปริมาณ 1.0% NRL ที่เหมาะสม คอนกรีตผสม BA ที่ดัดแปลงด้วย NRL มีความแข็งแรงเชิงกลเหนือกว่าส่วนผสมควบคุม และเป็นไปตามข้อกำหนดขั้นต่ำ (กำลังรับแรงอัด $> 32 \text{ MPa}$ และความต้านทานแรงดึงด้วย $> 4.2 \text{ MPa}$) สำหรับงานทางตามกำหนดของกรมทางหลวงของประเทศไทย

5.1.2 การวิเคราะห์ SEM แสดงให้เห็นว่าคอนกรีต BA ที่ดัดแปลงด้วย NRL มีโครงสร้างจุลภาคที่หนาแน่นกว่าและกระหัดรัดกว่าเมื่อเปรียบเทียบกับคอนกรีต BA ที่ไม่มี NRL การก่อตัวของฟิล์ม NRL บางๆ ช่วยปรับปรุงพันธะระหว่างพื้นผิวระหว่างอนุภาค BA และเฟสซีเมนต์ ส่งผลให้เมทริกซ์มีความเหนียวแน่นมากขึ้น ฟิล์ม NRL ยังทำหน้าที่เป็นสารตุดซับความเค็มและแก้ปัญหาการแตกร้าว ซึ่งช่วยเพิ่มความเหนียวและความทนทานของคอนกรีต

5.1.3 การวิเคราะห์ XRD แสดงให้เห็นว่ามีเฟสผลึกที่สำคัญ เช่น คาอตซ์ แคลไซซ์ และปอร์ตแลนไดต์ ในทุกส่วนผสม การรวมตัวของ BA และ NRL มีอิทธิพลต่อความเข้มสัมพัทธ์ของระยะเหล่านี้ ส่วนผสม 20%BA+1.0%NRL แสดงความสมดุลที่เหมาะสมที่สุดของเฟสผลึก ซึ่งมีส่วนทำให้คุณสมบัติเชิงกลที่เหนือกว่า

5.1.4 อย่างไรก็ตาม ปริมาณ NRL ที่มากเกินไปทำให้เกิดฟิล์ม NRL ที่ใหญ่ขึ้นและจำนวนมากขึ้นที่ตรวจพบโดยการวิเคราะห์ SEM ซึ่งขัดขวางความต่อเนื่องของเมทริกซ์ซีเมนต์ และสร้างโฉนที่อ่อนแอกันโซนการเปลี่ยนผ่านของผิวน้ำ การวิเคราะห์ XRD ยังยืนยันด้วยว่าส่วนผสมที่มีปริมาณ NRL มากเกินไปทำให้พื้นของค่าวัตซ์ แคลไชต์ และปอร์ตแลนด์ไดต์มีความเข้มลดลง ซึ่งอาจกระเจาการก่อตัวและการเจริญเติบโตที่เหมาะสมของเพสเพล็กที่จำเป็น และลดความแข็งแรงโดยรวมของคอนกรีต

5.2 ข้อเสนอแนะ

การศึกษานี้ให้ข้อมูลเชิงลึกที่มีคุณค่าในการพัฒนาวัสดุคอนกรีตประสิทธิภาพสูงและเป็นมิตรกับสิ่งแวดล้อมสำหรับงานทางอย่างยั่งยืน การรวมเอาวัสดุเหลือใช้ เช่น BA และตัวดัดแปลงตามธรรมชาติ เช่น NRL นำเสนอแนวทางที่มีแนวโน้มในการลดผลกระทบต่อสิ่งแวดล้อมของอุตสาหกรรมการก่อสร้าง ขณะเดียวกันก็ตอบสนองความต้องการที่เพิ่มขึ้นสำหรับโครงสร้างพื้นฐานต่อไป

รายการอ้างอิง

- Delatte, N. (2018). *Concrete Pavement Design, Construction, and Performance*. CRC Press, London, United Kingdom. doi:10.1201/978148228483.
- Huang, Y.H. (2004) *Pavement Analysis and Design*. Pearson, London, United Kingdom.
- Griffiths, S., Sovacool, B. K., Furszyfer Del Rio, D. D., Foley, A. M., Bazilian, M. D., Kim, J., & Uratani, J. M. (2023). Decarbonizing the cement and concrete industry: A systematic review of socio-technical systems, technological innovations, and policy options. *Renewable and Sustainable Energy Reviews*, 180, 113291. doi:10.1016/j.rser.2023.113291.
- Imbabi, M. S., Carrigan, C., & McKenna, S. (2012). Trends and developments in green cement and concrete technology. *International Journal of Sustainable Built Environment*, 1(2), 194–216. doi:10.1016/j.ijsbe.2013.05.001.
- Singh, M., & Siddique, R. (2014). Compressive strength, drying shrinkage and chemical resistance of concrete incorporating coal bottom ash as partial or total replacement of sand. *Construction and Building Materials*, 68, 39–48. doi:10.1016/j.conbuildmat.2014.06.034.
- Andrade, L. B., Rocha, J. C., & Cherif, M. (2007). Evaluation of concrete incorporating bottom ash as a natural aggregates replacement. *Waste Management*, 27(9), 1190–1199. doi:10.1016/j.wasman.2006.07.020.
- Bai, Y., Darcy, F., & Basheer, P. A. M. (2005). Strength and drying shrinkage properties of concrete containing furnace bottom ash as fine aggregate. *Construction and Building Materials*, 19(9), 691–697. doi:10.1016/j.conbuildmat.2005.02.021.
- Ranapratap, P., & Padmanabham, K. (2016). Effect of Replacing Fine Aggregate with Bottom Ash in M40 Grade of Concrete with Opc-53S Cement. *International Journal of Research in Engineering and Technology*, 5(10), 59–62. doi:10.15623/ijret.2016.0510011.

- Soman, K., Sasi, D., & Abubaker, K. A. (2014). Strength properties of concrete with partial replacement of sand by bottom ash. *International Journal of Innovative Research in Advanced Engineering*, 1(7), 2349–2163.
- Yang, I. H., Park, J., Dinh Le, N., & Jung, S. (2020). Strength Properties of High-Strength Concrete Containing Coal Bottom Ash as a Replacement of Aggregates. *Advances in Materials Science and Engineering*, 2020, 1–12. doi:10.1155/2020/4246396.
- Mousa, A. (2023). Utilization of coal bottom ash from thermal power plants as a cement replacement for building: A promising sustainable practice. *Journal of Building Engineering*, 74, 106885. doi:10.1016/j.jobe.2023.106885.
- Singh, M., & Siddique, R. (2013). Effect of coal bottom ash as partial replacement of sand on properties of concrete. *Resources, Conservation and Recycling*, 72, 20–32. doi:10.1016/j.resconrec.2012.12.006.
- Singh, M., & Siddique, R. (2016). Effect of coal bottom ash as partial replacement of sand on workability and strength properties of concrete. *Journal of Cleaner Production*, 112, 620–630. doi:10.1016/j.jclepro.2015.08.001.
- Özkan, Ö., Yüksel, I., & Muratglu, Ö. (2007). Strength properties of concrete incorporating coal bottom ash and granulated blast furnace slag. *Waste Management*, 27(2), 161–167. doi:10.1016/j.wasman.2006.01.006.
- Yüksel, I., & Genç, A. (2007). Properties of concrete containing nonground ash and slag as fine aggregate. *ACI Materials Journal*, 104(4), 397–403. doi:10.14359/18829.
- Rafieizonooz, M., Salim, M. R., Mirza, J., Hussin, M. W., Salmiati, Khan, R., & Khankhaje, E. (2017). Toxicity characteristics and durability of concrete containing coal ash as substitute for cement and river sand. *Construction and Building Materials*, 143, 234–246. doi:10.1016/j.conbuildmat.2017.03.151.
- Kou, S. C., & Poon, C. S. (2009). Properties of concrete prepared with crushed fine stone, furnace bottom ash and fine recycled aggregate as fine aggregates. *Construction and Building Materials*, 23(8), 2877–2886. doi:10.1016/j.conbuildmat.2009.02.009.

- Kim, H. K., & Lee, H. K. (2011). Use of power plant bottom ash as fine and coarse aggregates in high-strength concrete. *Construction and Building Materials*, 25(2), 1115–1122. doi:10.1016/j.conbuildmat.2010.06.065.
- Kurama, H., & Kaya, M. (2008). Usage of coal combustion bottom ash in concrete mixture. *Construction and Building Materials*, 22(9), 1922–1928. doi:10.1016/j.conbuildmat.2007.07.008.
- Subash, S., Mini, K., & Ananthkumar, M. (2021). Incorporation of natural rubber latex as concrete admixtures for improved mechanical properties. *Materials Today: Proceedings*, 46, 4859–4862. doi:10.1016/j.matpr.2020.10.326.
- Muhammad, B., & Ismail, M. (2012). Performance of natural rubber latex modified concrete in acidic and sulfated environments. *Construction and Building Materials*, 31, 129–134. doi:10.1016/j.conbuildmat.2011.12.099.
- Tuffrey, J., Siwseng, P., Laksanakit, C., & Chusilp, N. (2024). Enhancing the performance of waste paper pulp-cement composites, through the incorporation of natural rubber latex: A sustainable approach for high-performance construction materials. *Construction and Building Materials*, 430, 136345. doi:10.1016/j.conbuildmat.2024.136345.
- Yaowarat, T., Suddeepong, A., Hoy, M., Horpibulsuk, S., Takaikaew, T., Vichitcholchai, N., Arulrajah, A., & Chinkulkijniwat, A. (2021). Improvement of flexural strength of concrete pavements using natural rubber latex. *Construction and Building Materials*, 282, 122704. doi:10.1016/j.conbuildmat.2021.122704.
- Suddeepong, A., Buritatum, A., Hoy, M., Horpibulsuk, S., Takaikaew, T., Horpibulsuk, J., & Arulrajah, A. (2022). Natural Rubber Latex–Modified Concrete Pavements: Evaluation and Design Approach. *Journal of Materials in Civil Engineering*, 34(9), 4022215. doi:10.1061/(asce)mt.1943-5533.0004364.
- Samingthong, W., Hoy, M., Ro, B., Horpibulsuk, S., Yosthasaen, T., Suddeepong, A., Buritatum, A., Yaowarat, T., & Arulrajah, A. (2023). Natural Rubber Latex–Modified Concrete with PET and Crumb Rubber Aggregate Replacements for Sustainable Rigid Pavements. *Sustainability* (Switzerland), 15(19), 14147. doi:10.3390/su151914147.

ASTM C127-15. (2024). Standard Test Method for Relative Density (Specific Gravity) and Absorption of Coarse Aggregate (Withdrawn 2024). ASTM International, Pennsylvania, United States. doi:10.1520/C0127-15.

ASTM C131-06. (2010). Standard Test Method for Resistance to Degradation of Small-Size Coarse Aggregate by Abrasion and Impact in the Los Angeles Machine. ASTM International, Pennsylvania, United States. doi:10.1520/C0131-06.

ASTM C128-22. (2004). Standard Test Method for Relative Density (Specific Gravity) and Absorption of Fine Aggregate. ASTM International, Pennsylvania, United States. doi:10.1520/C0128-22.

ASTM C33/C33M-18. (2023). Standard Specification for Concrete Aggregates. ASTM International, Pennsylvania, United States. doi:10.1520/C0033_C0033M-18.

ASTM C39/39M-21. (2021). Standard Test Method for Compressive Strength of Cylindrical Concrete Specimens. ASTM International, Pennsylvania, United States. doi:10.1520/C0039_C0039M-21.

ASTM C78-09. (2010). Standard Test Method for Flexural Strength of Concrete (Using Simple Beam with Third-Point Loading). ASTM International, Pennsylvania, United States. doi:10.1520/C0078-09.

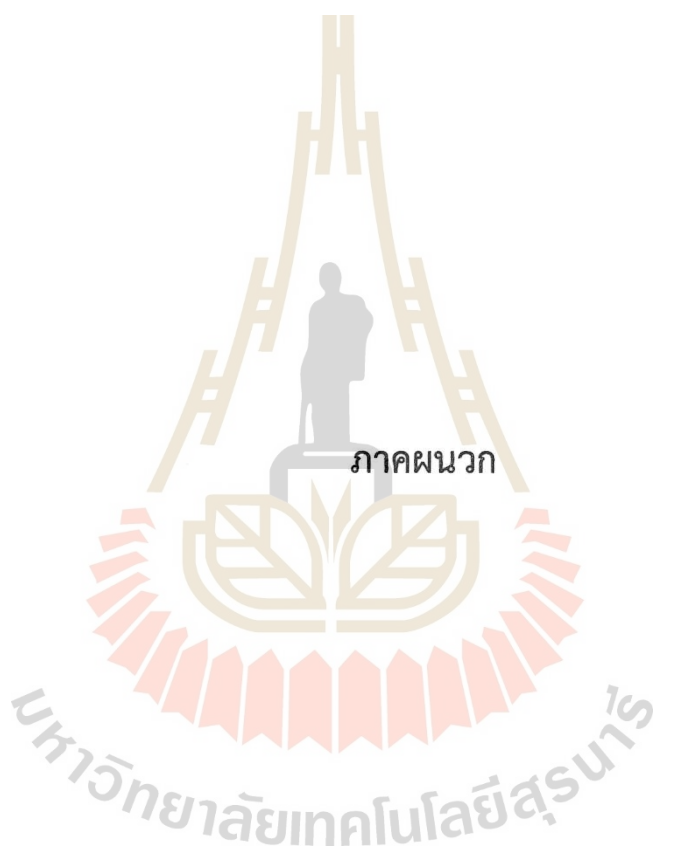
DHS309/2544. (1996). Thailand Department of Highways, Standards for highway construction, DHS309/2544, Bangkok, Thailand. (In Thai).

Muhammad, B., Ismail, M., Bhutta, M. A. R., & Abdul-Majid, Z. (2012). Influence of non-hydrocarbon substances on the compressive strength of natural rubber latex-modified concrete. *Construction and Building Materials*, 27(1), 241–246. doi:10.1016/j.conbuildmat.2011.07.054.

Abdulmatin, A., Tangchirapat, W., & Jaturapitakkul, C. (2018). An investigation of bottom ash as a pozzolanic material. *Construction and Building Materials*, 186, 155–162. doi:10.1016/j.conbuildmat.2018.07.101.

Hashemi, S. S. G., Mahmud, H. Bin, Djobo, J. N. Y., Tan, C. G., Ang, B. C., & Ranjbar, N. (2018). Microstructural characterization and mechanical properties of bottom ash mortar. *Journal of Cleaner Production*, 170, 797–804. doi:10.1016/j.jclepro.2017.09.191.

- Mandal, A. K., & Sinha, O. P. (2014). Review on Current Research Status on Bottom Ash: An Indian Prospective. *Journal of The Institution of Engineers (India): Series A*, 95(4), 277–297. doi:10.1007/s40030-014-0100-0.
- Schaefer, R. J. (2010). Mechanical properties of rubber. *Harris' Shock and Vibration Handbook*, 6, 33-1, McGraw Hill Education, New York, United States.
- Loykaew, A., & Utara, S. (2020). Effect of acidic and sulfated environments on phase transformation, compressive strength and microstructure of natural rubber latex-modified cement pastes. *Journal of Materials Research and Technology*, 9(6), 15496–15512. doi:10.1016/j.jmrt.2020.11.016.
- Sukmak, G., Sukmak, P., Horpibulsuk, S., Yaowarat, T., Kunchariyakun, K., Patarapaiboolchai, O., & Arulrajah, A. (2020). Physical and mechanical properties of natural rubber modified cement paste. *Construction and Building Materials*, 244, 118319. doi:10.1016/j.conbuildmat.2020.118319.
- Elyasigorji, F., Farajiani, F., Hajipour Manjili, M., Lin, Q., Elyasigorji, S., Farhangi, V., & Tabatabai, H. (2023). Comprehensive Review of Direct and Indirect Pozzolanic Reactivity Testing Methods. *Buildings*, 13(11), 2789. doi:10.3390/buildings13112789.
- An, J., Kim, J., & Nam, B. H. (2017). Investigation on impacts of municipal solid waste incineration bottom ash on cement hydration. *ACI Materials Journal*, 114(5), 701–711. doi:10.14359/51689712.
- Olubajo, O., Osha, O., El-Nafaty, U., & Adamu, H. (2014). Effect of water-cement ratio on the mechanical properties of blended cement containing bottom ash and limestone. *Civil and Environmental Research*, 6(12), 1-9.
- Gencel, O., Kazmi, S. M. S., Munir, M. J., Kaplan, G., Bayraktar, O. Y., Yarar, D. O., Karimipour, A., & Ahmad, M. R. (2021). Influence of bottom ash and polypropylene fibers on the physico-mechanical, durability and thermal performance of foam concrete: An experimental investigation. *Construction and Building Materials*, 306, 124887. doi:10.1016/j.conbuildmat.2021.124887.



ภาคพนวก

ภาคผนวก ก

ผลงานเผยแพร่ผลงานวิชาการ



Natural Rubber Latex-Modified Concrete with Bottom Ash for Sustainable Rigid Pavements

Karn Kantatham^{1,2*}, Menglim Hoy^{1,2*}, Sutamas Sansri¹, Suksun Horpibulsuk^{1,2*}, Apichat Suddeepong², Apinun Buritatum^{1,2}, Teerasak Yaowarat^{1,2}, Bundan Ro^{1,2}, Veena Phunpeng^{1,2}

¹ Institute of Engineering, Suranaree University of Technology, Nakhon Ratchasima 30000, Thailand.

² Center of Excellence in Innovation for Sustainable Infrastructure Development, Institute of Research and Development, Suranaree University of Technology, Nakhon Ratchasima 30000, Thailand.

Received 17 April 2024; Revised 23 June 2024; Accepted 04 July 2024; Published 01 August 2024

Abstract

This article investigates the viability of using natural rubber latex (NRL)-modified concrete with bottom ash (BA) as a partial replacement for river sand in sustainable rigid pavements. Concrete mixes with 10% and 20% BA replacement ratios and varying NRL dosages (0%, 1.0%, 1.5%, and 2.0% by weight of cement) were prepared and evaluated for their mechanical and microstructural characteristics. Results showed that BA substitution decreased the compressive strength of concrete. However, the addition of NRL at an optimal dosage of 1.0% significantly improved both the compressive and flexural strengths. The 10%BA+1.0%NRL and 20%BA+1.0%NRL mixes exhibited mechanical properties surpassing the control mix and meeting the minimum requirements for rigid pavement materials. However, excessive NRL content (1.5% and 2.0%) led to a reduction in mechanical strength. Scanning electron microscopy analysis exhibited a denser and more compact matrix in NRL-modified BA concrete, with NRL films enhancing the interfacial bonding and crack-bridging mechanism. Nonetheless, excessive NRL content resulted in the formation of abundant and thicker NRL films, which disrupted the continuity of the cement matrix and created weak zones. X-ray diffraction analysis confirmed the existence of crucial crystalline phases and their optimal balance in the 20%BA+1.0%NRL mix, contributing to its superior performance. Mixes with excessive NRL contents exhibited lower intensities of quartz, calcite, and portlandite peaks, indicating a disturbance in the proper formation and growth of essential crystalline phases. The findings demonstrated the potential of NRL-modified BA concrete as an eco-friendly and high-performance alternative for sustainable rigid pavements when using an optimal NRL dosage, promoting the employment of waste resources and reducing the environmental impact of the construction industry.

Keywords: Bottom Ash; Natural Rubber Latex; Sustainable Concrete Pavement; Microstructural Analysis; Compressive Strength; Flexural Strength.

ประวัติผู้เขียน

นางสาวสุทามาศ แสนศรี เกิดเมื่อวันที่ 15 มิถุนายน 2535 ปัจจุบันอยู่เลขที่บ้าน 1174 หมู่ 4 ถนนองจะบก อ.เมือง จ.นครราชสีมา เริ่มศึกษา - ระดับประถมศึกษาปีที่ ป.1 ถึง ป.6 โรงเรียนอนุบาลนครราชสีมา จังหวัดนครราชสีมา - ระดับมัธยมศึกษาปีที่ ม.1 ถึง ม.6 โรงเรียนสุรธรรมพิทักษ์ จังหวัดนครราชสีมา - ระดับศึกษาป्रิญญาตรี วิศวกรรมบัณฑิต มหาวิทยาลัยเทคโนโลยีสุรนารี จังหวัดนครราชสีมา - ประวัติการทำงานปัจจุบันเป็นเจ้าหน้าที่ในส่วน Contractor ในโครงการระบบห้องส่งก๊าซธรรมชาติบกจากบางปะกงไปโรงไฟฟ้าพระนครใต้ (เฟสที่ 1) จังหวัดฉะเชิงเทรา และโครงการก่อสร้างโรงแยกก๊าซธรรมชาติหน่วยที่ 7 จังหวัดระยอง

